



524/3

საქართველოს სსრ მეცნიერებათა აკადემიის

ЗАСЛАГИ

том II № 7

33

СООБЩЕНИЯ

АКАДЕМИИ НАУК ГРУЗИНСКОЙ ССР

ТОМ II № 7

MITTEILUNGEN

DER AKADEMIE DER WISSENSCHAFTEN DER GEORGISCHEN SSR

BAND II Nr 7

ივნისი 1941 თბილის
TBLISSI

ЗОДАЧА—СОДЕРЖАНИЕ—INHALT

ЗОДАЧА—МАТЕМАТИКА—MATHEMATIK

Б. В. Хвададзе. О краевой задаче Пуликаре теории логарифмического потенциала для многосвязанной области. Сообщение первое	571
*д. ბ ე გ ვ ე თ დ. ფოდორიშვილი პატრიკულის მრავალზომი მასაზე მისამის შესაბამის მუნაბათ მრავალგანმავრცელ არქიტ	578
Илья Векуа. Об одном классе сингулярных интегральных уравнений с интегралом в смысле главного значения по Коши	579
*ი. ვ ე კ უ ა ხ ა. ხენაგავარიშვილ ანტონიალური განტრანსფორმაციის კონსტრუქცია	586
В. Д. Купраладзе. К теории интегральных уравнений с интегралом в смысле главного значения по Коши	587
*ვ. კ უ პ რ ა ხ ა ბ. გამიაკოვარიშვილ ჩრდილი მნიშვნელური განტრანსფორმაციის კონსტრუქციი	596
Д. Р. Нацакидзе. Приближение формулы для эллиптических интегралов второго рода	597
*ც. ვ ე გ ვ ე თ დ. მიამდებოთი ფორმულები მურავ გვარის ულისესი მიტრომალბიძის თეორიის	599
Ф. Г. Шхаладзе. К вопросу численного интегрирования обыкновенных дифференциальных уравнений	601
*თ. ც ა რ ა ა ზ. ჩრდილგანმავრცელობის ფიცენტრის მოდელით მისამის შესაბათ	603

ФЛЮИДОФИЗИКА—ПОТОКА—TEORIE DER FLUSSIGKEITEN

А. К. Ружаладзе. Изгиб поперечной силой растянутого призматического стержня	609
*ა. რ უ ჩ ა ძ დ. განტრანსფორმაციის განვითარება	616

ФИЗИКА—ФИЗИКА—PHYSIK

В. И. Мамасахлисов. Внутренняя конвергенция на L-оболочке, обусловленная магнитным излучением ядра	617
*ვ. მ ა ხ ა ხ ა ხ ი ს ი ს ე თ დ. ზენგაბი კონკრეტულ გამოწვევების მიზანის მაგნიტური გამოსხივებით	624

ГЕОФИЗИКА—ГЕОФИЗИКА—GEOPHYSIK

Б. К. Багавадзе и М. С. Абакелиашвили. К вопросу геологической интерпретации Ошпаретской гранитоизвестковой аномалии	625
*ბ. ბ ა ღ ა ვ ა ძ დ და მ. ა ბ ა კ უ ლ ი ა. ლიფარიშვილი გრავიტაციული ანომალიის გეოლოგური მტრიტრაციის სკომისათვის	630
*ვ ე რ ს კ უ რ ა მ ა ღ ა ვ ა ძ დ ს ი ს ე თ დ. სათავური ცეცხლის წინა წერილის რეზუმე ან თარგმანი.	
*Заглавие, отмеченные звездочкой, относится к рецензии или к переводу предшествующей статьи.	

*Die mit einem Stern versehenen Titel betreffen die Zusammenfassung oder Übersetzung des vorangehenden Artikels.

~~108~~

26 XI 1947 г.



ПРИЧИНА
1947 г.



Дорога სამამულია ღმი პირდღული გერმანიის წინააღმდევ მოითხოვს საბჭოთა ხალხის მოედა ძალების გაფიმებას. ტყიდები მნიშვნელობის აღმაგანებია დახმული ჩვენი ქვეყნის მცგვირება წინამდ. მცგვირებული მუშაობის წარმართვა ქვეყნის თავმაღალის განმტკიცებისაცნ, ხამსახურის ტექნიკის განვითარებისათვის ხუთის მეტება, ჩვენი ხალხის გმირების წარსელის მესწავლა და პოპულარიზაცია, განამდებრება ფამისტერი გრუ-მცგვირებამ, იარაღის სემონი დაცვა საბჭოთა მიწა-წყლის, ჩვენი ხამსახულის თავისუფლებისა—ასეთია საბჭოთა მცგვირის მარადი და სასატია მოცალევა. მცგვირება ყოველ მნიშვ უნდა გმისახურებოდეს მტერზე გამარჯვების ხაჭებ. ეს მოითხოვს მოედა სამცენოებრივი მცმელების მოიდად გამაღირებას, განხავეთურებით მისი იმ შასაწებისას, რცხვების ტექალად ექვებან ქვეყნის თავდაცვის საქმეს. საქართველოს სსრ მცგვირებათა აკადემიის მუსავები არ დაიმურნები თავის ძალების და ხა- ხეთარ სიცილინგვად იმისათვის, რომ დაანქარინო საბჭოთა ხალხისა და მოცემულ ტელეტრელი პატარინილის უმიღროებები მტერის—გერმანელი ფამისმის—მიე- მობა. მრიელი ტამინისან არის მრიელი კაციპირისის ბეჭნირებისა და მიამაგისისათვის, პალტონისა და თავისუფლების გამარჯვებისათვის!

Великая отечественная война против нацистской Германии требует напряжения всех сил советского народа. Задача огромной важности возложена на ученых нашей страны. Направить научную работу на укрепление обороноспособности страны, способствовать развитию военной техники, изучать и популяризировать героическое прошлое нашего народа, промить фашистскую лже-науку, с оружием в руках отстаивать священную советскую землю, свободу и честь нашей родины—такова высокая и почетная обязанность советского ученого. Наука как прямо, так и косвенно должна служить делу победы над врагом. Это требует исключительного усиления всей научной работы, особенно на тех ее участках, которые непосредственно соприкасаются с делом обороны страны. Работники Академии Наук Грузинской ССР не поклоняют своих сил и своей жизни для того, чтобы приблизить день уничтожения злейшего врача советского народа и всего культурного человечества—немецкого фашизма. Борьба с фашизмом является борьбой за счастье и светлое будущее человечества, за торжество культуры и свободы!





Ответственный редактор акад. Н. И. Мусхелишвили

Подписано к печати 25.10.1941.

Колич. тип. экз. в 1 печ. листе 60.000.

Объем 8 печ. л.

УЭ 41349

Авторских листов 10,5

Заказ № 639

Тираж 600

Типография Академии Наук Груз. ССР. Тбилиси, ул. А. Церетели, 7.

МАТЕМАТИКА

Б. В. ХВЕДЕЛИДЗЕ

О КРАЕВОЙ ЗАДАЧЕ ПУАНКАРЕ ТЕОРИИ ЛОГАРИФМИЧЕСКОГО
ПОТЕНЦИАЛА ДЛЯ МНОГОСВЯЗНОЙ ОБЛАСТИ

Сообщение первое

§ 1. В недавно опубликованной заметке [1] я показал, что решение краевой задачи Пуанкаре для односвязной области может быть получено проще и при меньших ограничениях, налагаемых на контур и на коэффициенты краевого условия, по сравнению с тем, как это обычно делается до сих пор, если воспользоваться одним результатом И. Н. Векуа [2].

Мы прилагаем здесь метод предыдущей заметки к решению задачи для многосвязной области, при несколько более общих краевых условиях, которые не рассматривались авторами, упомянутыми в названной заметке.

Предварительно мы покажем, что упомянутый выше результат И. Н. Векуа остается в силе, если интеграл, фигурирующий в рассмотренном им интегральном уравнении, берется вдоль нескольких непересекающихся замкнутых контуров. Для этого нам придется распространить на случай нескольких контуров результат Ф. Д. Гахова [3], касающийся решения одной задачи Римана.

§ 2. Пусть T —связная область, ограниченная простыми замкнутыми непересекающимися контурами L_0, L_1, \dots, L_m , из которых первый охватывает все остальные. Обозначим конечные односвязные области, ограниченные контурами L_j ($j=1, \dots, m$), через T_j ; под T_0 будем понимать бесконечную область, ограниченную кривой L_0 . Пусть $T' = T_0 + T_1 + \dots + T_m$; очевидно, T' —несвязная область. Через L мы будем обозначать полную границу области T ($L = L_0 + L_1 + \dots + L_m$). Положительным направлением на L будем считать то, которое оставляет область T слева. Начало координат мы будем предполагать внутри области T . Контур L_0 может отсутствовать (сводиться к бесконечно удаленной точке). В этом случае область T будет бесконечной. Относительно контуров L_j примем следующее ограничение: координаты точек этих контуров имеют производные первого порядка по дуге, которые удовлетворяют условию Hölder'a.

Наконец, следуя акад. Н. И. Мусхелишвили, введем следующий термин: будем говорить, что $\Phi(\zeta)$ кусочно-голоморфная функция, если она голоморфна на всей плоскости за исключением точек границы L ,



обращается в нуль на бесконечности (если противное не оговорено) и непрерывно продолжима на границу L изнутри и извне области T .

Рассмотрим теперь сингулярное интегральное уравнение следующего вида

$$A\varphi \equiv a(x)\varphi(x) - \int_L \frac{k(x, t)}{t-x} \varphi(t) dt = f(x), \quad (A)$$

где $a(x)$, $f(x)$, $k(x, t)$ — заданные функции, удовлетворяющие относительно обеих переменных x и t ¹ условию Hölder'a, φ — искомая функция. Интеграл надо понимать в смысле главного значения по Коши.

Предполагая, что и искомая функция $\varphi(x)$ удовлетворяет условию Hölder'a, перепишем уравнение (A) в следующем виде:

$$B\varphi \equiv a(x)\varphi(x) - \beta(x) \int_L \frac{\varphi(t)}{t-x} dt = F(x), \quad (B)$$

где

$$F(x) = f(x) + \int_L A(x, t) \varphi(t) dt, \quad A(x, t) = \frac{k(x, t) - k(x, x)}{t-x}, \quad \beta(x) = k(x, x). \quad (1)$$

В дальнейшем мы будем предполагать, что функция $A(x, t)$ удовлетворяет условию Hölder'a относительно x и непрерывна относительно x и t . Кроме того, мы будем во всем дальнейшем предполагать, что

$$a^2(x) + \pi^2 \beta^2(x) \neq 0.$$

Рассмотрим теперь кусочно-голоморфную функцию:

$$\Phi(\zeta) = \frac{1}{2\pi i} \int_L \frac{\varphi(t)}{t-\zeta} dt.$$

Тогда, принимая во внимание формулы²

$$\varphi(x) = \Phi^+(x) - \Phi^-(x),$$

$$\frac{1}{\pi i} \int_L \frac{\varphi(t)}{t-x} dt = \Phi^+(x) + \Phi^-(x), \quad (2)$$

сразу замечаем³, что решение уравнения (B), если считать в нем функцию $F(x)$ заданной, равносильно решению следующей задачи:

¹ В дальнейшем ζ всегда будет обозначать точку, лежащую вне L ; x, y, t — точки, лежащие на L .

² Знаки + и — указывают граничные значения при приближении соответствен но изнутри или извне области T к точке x границы L .

³ См. [2].

Требуется найти кусочно-голоморфную функцию $\Phi(\zeta)$, удовлетворяющую на границе L условию

$$\Phi^+(x) = a(x) \Phi^-(x) + b(x), \quad (3)$$

где

$$a(x) = \frac{a(x) + i\pi\beta(x)}{a(x) - i\pi\beta(x)}, \quad b(x) = \frac{F(x)}{a(x) - i\pi\beta(x)}, \quad (4)$$

т. е. $a(x)$ и $b(x)$ — заданные функции точки контура, удовлетворяющие условию Hölder'a, причем $a(x) \neq 0$.

Эта задача обычно называется задачей Римана; наиболее простое решение ее в явном виде (в квадратурах) дал Ф. Д. Гахов [3], для случая $m=0$.

Мы даем решение этой задачи для произвольного целого $m \geq 0$.

§ 3. Следуя Ф. Д. Гахову, найден сперва решение однородной задачи⁽¹⁾:

$$\Phi^+(x) = a(x) \Phi^-(x). \quad (3_0)$$

Введем обозначение $n_j = \frac{1}{2\pi i} [\lg a(x)]_{L_j}$, где символ $[\lg a(x)]_{L_j}$ обозначает приращение функции $\lg a(x)$ при обходе контура L_j в положительном направлении (оставляющем T слева) и положим

$$n = \sum_{j=0}^m n_j. \quad (*)$$

Ясно, что n_j, n — целые числа.

Случай 1. Предположим, что $n_j = 0, j = 0, 1, \dots, m$. Тогда, очевидно, любая ветвь $\lg a(x)$ — однозначная функция вдоль каждого контура L_j ($j = 0, 1, \dots, m$). Легко заметить⁽²⁾, что единственное решение задачи (3₀) в этом случае дает функция

$$\Phi(\zeta) = C e^{g(\zeta)},$$

где C — произвольная постоянная, а

$$g(\zeta) = \frac{1}{2\pi i} \int_L \frac{\lg a(x)}{x - \zeta} dx.$$

Случай 2. Предположим, что $n \geq 0$. Перепишем краевое условие (3₀) в следующем виде:

$$\Phi^+(x) = a_1(x) x^n \prod_{j=1}^m (x - \alpha_j)^{-n_j} \Phi^-(x), \quad (3'_0)$$

где α_j — произвольно фиксированные точки внутри контуров L_j ($j = 1, \dots, m$), $a_1(x) = a(x) x^{-n} \prod_{j=1}^m (x - \alpha_j)^{n_j}$. Легко заметить, что вдоль каждого контура

⁽¹⁾ При решении однородной задачи, от функции $\Phi(\zeta)$ требуют на бесконечности только лишь ограниченность.

⁽²⁾ См. [3].

L_j ($j=0, 1, \dots, m$) любая ветвь функций $h(x) = \lg a_i(x)$ однозначна и удовлетворяет условию Hölder'a. Зафиксируем на каждом контуре Γ ветвь этой функции и рассмотрим кусочно-голоморфную функцию:

$$\omega(\zeta) = \frac{1}{2\pi i} \int_L \frac{h(x)}{x - \zeta} dx.$$

Ясно, что решение задачи (3_0) , если оно существует, всегда представимо в виде:

$$\Phi(\zeta) = \Phi_1(\zeta) e^{i\omega(\zeta)},$$

где $\Phi_1(\zeta)$ — кусочно-голоморфная функция. Тогда $\Phi_1(\zeta)$, очевидно, должна удовлетворять следующему краевому условию:

$$\prod_{j=1}^m (x - \alpha_j)^{-n_j} \Phi_1^+(x) = x^n \Phi_1^-(x).$$

Отсюда легко заключаем, что общее решение имеет вид

$$\Phi_1(\zeta) = \begin{cases} \prod_{j=1}^m (\zeta - \alpha_j)^{-n_j} P_n(\zeta), & \zeta \in T; \\ \zeta^{-n} P_n(\zeta), & \zeta \in T', \end{cases}$$

где $P_n(z)$ — произвольный полином n -ой степени. Таким образом, в этом случае решение задачи (3_0) будет:

$$\Phi(\zeta) = \begin{cases} \prod_{j=1}^m (\zeta - \alpha_j)^{-n_j} P_n(\zeta) e^{i\omega(\zeta)}, & \zeta \in T; \\ \zeta^{-n} P_n(\zeta) e^{i\omega(\zeta)}, & \zeta \in T'. \end{cases} \quad (5)$$

Случай 3. Пусть теперь $n < 0$. Тогда, так же как и в соответствующем случае единственного контура¹, легко убедиться, что не существует отличной от нуля кусочно-голоморфной функции, удовлетворяющей задаче (3_0) .

Рассмотрим теперь неоднородную задачу $(3)^2$. Допустим сперва, что $n \equiv 0$. Будем искать решение задачи в виде

$$\Phi(\zeta) = \Phi_0(\zeta) \Phi_1(\zeta), \quad (6)$$

где

$$\Phi_0(\zeta) = \begin{cases} \prod_{j=1}^m (\zeta - \alpha_j)^{-n_j} e^{i\omega(\zeta)}, & \zeta \in T; \\ \zeta^{-n} e^{i\omega(\zeta)}, & \zeta \in T', \end{cases} \quad (7)$$

¹ См. [3].

² Во всем дальнейшем мы будем требовать, чтобы $\Phi(\infty) = 0$.

Принимая во внимание (7), на основании (6), видим, что $\Phi_0^*(\zeta)$ будет непрерывной кусочно-голоморфной функцией, имеющей на бесконечности полюс не выше $n-1$ -го порядка.

Подставляя (6) в (3) увидим, что функция $\Phi_1(\zeta)$ должна удовлетворять следующему краевому условию:

$$\Phi_1^*(x) = \Phi_1^-(x) + \frac{b(x)}{\Phi_0^*(x)}. \quad (8)$$

Умножая обе части этого равенства на $\frac{1}{2\pi i} \frac{dx}{x-\zeta}$ (ζ лежит вне контура L), интегрируя вдоль L и принимая во внимание, что $\Phi_1(\zeta)$ имеет на бесконечности полюс не выше $n-1$ -го порядка, сразу замечаем, что если задача (8) имеет решение, то оно необходимо имеет вид¹

$$\Phi_1(\zeta) = \frac{1}{2\pi i} \int_L \frac{b(x) dx}{\Phi_0^*(x)(x-\zeta)} + P_{n-1}(\zeta),$$

где $P_{n-1}(\zeta)$ — произвольный полином $n-1$ -ой степени². То, что эта функция удовлетворяет условию (8), вытекает из первой формулы (2). Таким образом, общее решение задачи (3) в этом случае имеет вид

$$\Phi(\zeta) = \frac{\Phi_0(\zeta)}{2\pi i} \int_L \frac{b(x) dx}{\Phi_0^*(x)(x-\zeta)} + \Phi_0(\zeta) P_{n-1}(\zeta). \quad (9)$$

Пусть теперь $n < 0$. Тогда, аналогично предыдущему, получим, что задача (3) имеет единственное решение

$$\Phi(\zeta) = \frac{\Phi_0(\zeta)}{2\pi i} \int_L \frac{b(x) dx}{\Phi_0^*(x)(x-\zeta)} \quad (10)$$

при необходимом и достаточном условии, что интеграл, входящий в формулу (10), имеет на бесконечности нуль не ниже $-n+1$ -го порядка, т. е. что

$$\int_L \frac{b(x) x^\lambda}{\Phi_0^*(x)} dx = 0, \quad \lambda = 0, 1, \dots, -n+1. \quad (11)$$

¹ См. [4], стр. 238.

² Если $n=0$, то $P_{n-1} \equiv 0$.



Все вышесказанное, с небольшими изменениями, распространяется на случай бесконечной области, который получается при отсутствии контура L_0 . В самом деле, обозначим теперь

$$\pi = \sum_{j=1}^m n_j. \quad (4)$$

Тогда, если $n \geq 0$, решение задачи (3 $_0$) будет

$$\Phi(\zeta) = \begin{cases} \prod_{j=1}^m (\zeta - \alpha_j)^{-n_j} P_n(\zeta) e^{i\omega(\zeta)}, & \zeta \in T; \\ P_n(\zeta) e^{i\omega(\zeta)}, & \zeta \in T', \end{cases} \quad (5)$$

где $P_n(\zeta)$ — произвольный полином n -ой степени, а

$$\omega(\zeta) = \exp \left\{ \frac{i}{2\pi i} \int_L \frac{\lg [a(t) \prod_{j=1}^m (t - \alpha_j)^{n_j}]}{t - \zeta} dt \right\},$$

Решение же задачи (3) дается формулами (9) и (10), где следует положить

$$\Phi_0(\zeta) = \begin{cases} \prod_{j=1}^m (\zeta - \alpha_j)^{-n_j} e^{i\omega(\zeta)}, & \zeta \in T; \\ e^{i\omega(\zeta)}, & \zeta \in T'. \end{cases} \quad (8')$$

§ 4. Вернемся теперь к решению уравнения

$$A\varphi = f.$$

Если предполагать, что $n = \sum_{j=0}^m \frac{1}{2\pi i} [\lg a(x)]_{L_j} \geq 0$, тогда, в силу формул (1), (4), (9) и первой формулы (2), легко получим, что сингулярное уравнение (A) эквивалентно следующему интегральному уравнению Фредгольма¹¹:

$$A^* \varphi \equiv \varphi(x) - \int_L k_n^*(x, y) \varphi(y) dy = f_n^*(x) + \frac{\beta(x) P_{n-1}(x)}{\gamma_n(x)[\alpha^2(x) + \pi^2 \beta^2(x)]}, \quad (A^*)$$

где

$$k_n^*(x, y) = \frac{1}{\alpha^2(x) + \pi^2 \beta^2(x)} \left[\alpha(x) A(x, y) + \frac{\beta(x)}{\gamma_n(x)} \int_L \frac{\gamma_n(t) A(t, y)}{t - x} dt \right], \quad (12)$$

¹¹ См. [2].

$$f_n^*(x) = \frac{1}{\alpha^2(x) + \pi^2 \beta^2(x)} \left[\alpha(x) f(x) + \frac{\beta(x)}{\gamma_n(x)} \int_L^x \frac{\gamma_n(t) f(t)}{t-x} dt \right], \quad (13)$$

$$\gamma_n(x) = \frac{x^{\frac{n}{2}} \prod_{j=1}^n (x - \alpha_j)^{\frac{n_j}{2}} e^{-\omega(x)}}{V \alpha^2(x) + \pi^2 \beta^2(x)}, \quad \omega(x) = \frac{1}{2\pi i} \int_L^x \frac{h(t)}{t-x} dt, \quad (14)$$

$$P_{n-1}(x) \equiv 0, \quad P_{n-1}(x) = \sum_{k=0}^{n-1} c_k x^k, \quad n \geq 1,$$

c_0, c_1, \dots, c_{n-1} — произвольные комплексные постоянные.

Если $n < 0$, то уравнение (A) будет, в силу (10) и (11), эквивалентно совокупности уравнений (A^*) , где $P_{n-1}(x) \equiv 0$, и дополнительных условий

$$\int_L^x \tilde{\delta}_k(x) \varphi(x) dx = \int_L^x x^k \gamma_n(x) f(x) dx, \quad k = 0, 1, \dots, -n-1, \quad (15)$$

где

$$\tilde{\delta}_k(x) = - \int_L^x t^k \gamma_n(t) A(t, x) dt.$$

В случае отсутствия контура L_0 , все предыдущее остается в силе, если и определяется формулой $(**)$ и если в формулах (12), (13), (15) вместо $\gamma_n(x)$ и $\omega(x)$ взято соответственно

$$\gamma'_n(x) = \frac{\prod_{j=1}^n (x - \alpha_j)^{\frac{n_j}{2}} e^{\omega(x)}}{V \alpha^2(x) + \pi^2 \beta^2(x)}, \quad \omega'(x) = \frac{1}{2\pi i} \int_L^x \frac{\lg [a(t) \prod_{j=1}^n (t - \alpha_j)^{n_j}]}{t-x} dt. \quad (14')$$

Легко непосредственно проверить, что функция $\gamma_n(x)$ [или $\gamma'_n(x)$] определяется с точностью до знака и не зависит от выбора точек α_j в областях T_j , а также от выбора нетривиальной функции $h(x)$.

Легко видеть, что при сделанных выше предположениях, уравнение (A^*) есть регулярное уравнение Фредгольма и что всякое непрерывное его решение удовлетворяет условию Hölder'a.

Таким образом, мы доказали следующие теоремы:

Теорема 1. Если функции $\alpha(x), h(x, y), f(x)$ удовлетворяют упомянутым выше условиям и $n \geq 0$, тогда уравнение $A\varphi = f$, для любой f , эквивалентно уравнению Фредгольма (A^*) .

Отметим, что когда $n > 0$, правая часть уравнения (A^*) содержит полином $n-1$ -ой степени $P_{n-1}(x)$ с произвольными коэффициентами; если же $n = 0$, этот полином отсутствует.



Отметим еще, что при $n=0$, однородное уравнение $A\varphi=0$ эквивалентно однородному уравнению $L_n^*\varphi=0$, а при $n>0$ — неоднородному уравнению

$$A_n^*\varphi = \frac{\beta(x) P_{n-1}(x)}{\gamma_n(x)(\alpha^2(x)+\pi^2\beta^2(x))}.$$

Теорема 2. Если функции $\alpha(x)$, $\beta(x)$, $\gamma(x)$, $f(x)$ удовлетворяют упомянутым выше условиям и $n < 0$, тогда уравнение $A\varphi=f$ эквивалентно уравнению Фредгольма (A^*), где $P_{n-1}(x) \equiv 0$ и совокупности условий (15).

В частности, однородное уравнение $A\varphi=0$ эквивалентно однородному уравнению Фредгольма $A_n^*\varphi=0$ и совокупности условий:

$$\int_L \delta_k(x) \varphi(x) dx = 0, \quad k=0, 1, \dots, -n-1.$$

Академия Наук Грузинской ССР
Тбилисский Математический Институт

(Поступило в редакцию 22.8.1941)

БАССОВАНИЕ

Б. ВХАДЕЛИДЗЕ

ЛГОВА АДОТВЕРДИ პოტენციალის გასაზღვრო აღმოჩენის შესახებ სასახლეში ავოდენის
2018 წლის მიმდევრულ არარო

რეზუმე

ილია ვეჯვაძე [2] შრომაში განხილული იქნა (A) ინტეგრალური განტოლება, როდესაც L წარმოადგენს ერთ მარტივ კონტურს. ილნინელ შრომაში მიღებულ შედეგს ჩვენ განხილოდეთ იმ შემთხვევებისათვის, როდესაც $L=L_0+L_1+\dots+L_m$, სადაც L_j ($j=0, 1, \dots, m$) არა გაღიმევთ მარტივი კონტურებია.

შემდეგ წერილში მიღებული შედეგები გამოყენებული იქნება პუნქტურის სასაზღვრო ამოცანის ამონიანისათვის.

საქართველოს სსრ მეცნიერებათა აკადემია
თბილისის მათემატიკური ინსტიტუტი

ЦИТИРОВАННАЯ ЛИТЕРАТУРА—СОТОЧНОСТЬ ლიტერატურა

1. Б. В. Хваделидзе. О краевой задаче Пуанкаре теории логарифмического потенциала. Доклады АН СССР, т. XXX, № 3, 1941.
2. И. Н. Векуа. О сингулярных линейных интегральных уравнениях, содержащих интегралы в смысле главного значения по Коши. Доклады АН СССР, т. XXVI, № 4, 1940.
3. Ф. Д. Гахов. О краевой задаче Римана. Математич. сборн., т. 2 (44), № 4, 1937.
4. Н. И. Чухелишвили. Некоторые задачи теории упругости. Издание второе, 1935.

ИЛЬЯ ВЕКУА

ОБ ОДНОМ КЛАССЕ СИНГУЛЯРНЫХ ИНТЕГРАЛЬНЫХ УРАВНЕНИЙ С ИНТЕГРАЛОМ В СМЫСЛЕ ГЛАВНОГО ЗНАЧЕНИЯ ПО КОШИ

1. В заметке [1] я предложил новый способ исследования сингулярных интегральных уравнений с интегралом в смысле главного значения по Коши в том случае, когда областью интегрирования является простой замкнутый контур. На случай, когда область интегрирования состоит из конечного числа замкнутых непересекающихся контуров, наш результат был обобщен Б. В. Хведелидзе [2].

Результаты, изложенные в вышеупомянутых заметках, дают возможность довольно просто доказать некоторые важные теоремы теории сингулярных интегральных уравнений.

2. Рассмотрим уравнение

$$A\varphi \equiv \alpha(x) \varphi(x) - \int_L \frac{k(x, t)}{t-x} \varphi(t) dt = f(x), \quad (A)$$

где L — граница многосвязной области T , ограниченной конечным числом непересекающихся простых контуров L_0, L_1, \dots, L_m , $m \geq 0$, причем L_0 содержит внутри себя все остальные; x, t — комплексные координаты точек L ; α , k и f — заданные функции, φ — искаемая функция. Интеграл надо понимать в смысле главного значения по Коши.

В частности, контур L_0 может вовсе отсутствовать.

Прежде всего условимся о некоторых терминах и обозначениях.

Уравнение

$$A'\psi \equiv \alpha(x) \psi(x) + \int_L \frac{k(t, x)}{t-x} \psi(t) dt = f(x) \quad (A')$$

назовем союзным с уравнением (A).

Однородные уравнения, соответствующие (A) и (A'), будем обозначать через (A_0) и (A'_0) .

Будем говорить, что функция $f(x)$, $x \in L$, удовлетворяет условию Hölder'a, если существуют такие положительные постоянные M и λ , $0 < \lambda \leq 1$, что для любых двух точек x' и x'' границы L имеет место неравенство

$$|f(x') - f(x'')| < M|x' - x''|^\lambda.$$

Во всем дальнейшем такие функции будем называть функциями класса H или, короче, H -функциями, что будем отмечать символом $f(x) \in H$.



Относительно контуров L_j примем следующее ограничение: координаты точек этих контуров имеют производные первого порядка по дуге, которые удовлетворяют условию Hölder'a.

Относительно функций $\alpha(x)$, $k(x, y)$ и $f(x)$ мы примем следующие ограничения: 1) $\alpha(x)$, $\beta(x) = k(x, x)$ и $f(x) \in H$, 2) $\alpha'(x) + \pi^2 \beta'(x) \neq 0$ и 3) функция

$$A(x, y) = \frac{k(x, y) - k(x, x)}{x - y}$$

удовлетворяет условию Hölder'a относительно каждой из переменных x , y .

Если функция $k(x, y)$ удовлетворяет этому последнему условию и условию $k(x, x) \in H$, мы условно будем писать: $k(x, y) \in H$.

Во всем дальнейшем мы будем рассматривать лишь решения класса H уравнений (A) и (A').

Пусть

$$n_j = \frac{1}{2\pi} \left\{ \arg \frac{\alpha(x) + i\pi\beta(x)}{\alpha(x) - i\pi\beta(x)} \right\}_{L_j}, \quad j=0, 1, \dots, m$$

и

$$n = n_0 + n_1 + \dots + n_m,$$

где $\{ \cdot \}_{L_j}$ обозначает приращение выражения в скобках, когда точка x описывает контур L_j в положительном направлении⁽¹⁾. Очевидно, n_j — целое число или нуль. При отсутствии контура L_0 надо считать $n_0 = 0$.

Число n называется индексом уравнения (A).

Рассмотрим функцию⁽²⁾

$$\gamma_n(x) = \frac{x^{\frac{n}{2}} e^{-i\pi\phi(x)} \prod_{k=1}^m (x - a_k)^{\frac{n_k}{2}}}{V \alpha'(x) + \pi^2 \beta'(x)},$$

где a_k — произвольно фиксированные точки соответственно внутри L_k ($k=1, 2, \dots, m$),

$$\omega(x) = \frac{1}{2\pi i} \int_L \frac{\lg \left[\frac{\alpha(t) + i\pi\beta(t)}{\alpha(t) - i\pi\beta(t)} t^{-n} \prod_{k=1}^m (t - a_k)^{n_k} \right]}{t - x} dt.$$

Функция $\gamma_n(x)$ определена с точностью до знака; каждая ее ветвь $\in H$ и не зависит ни от выбора точек a_k внутри L_k , ни от выбора ветви многозначной функции $\phi(x)$.

⁽¹⁾ За положительное направление мы считаем то, которое область T оставляет слева.

⁽²⁾ При отсутствии контура L_0 , $\gamma_n(x)$ имеет несколько иной вид (см. [2]).

Введем, кроме того, функции

$$k_n^*(x, y) = \alpha^*(x) A(x, y) + \frac{\beta^*(x)}{\gamma_n(x)} \int_L^y \frac{\gamma_n(t) A(t, y)}{t-x} dt,$$

$$f_n^*(x) = \alpha^*(x) f(x) + \frac{\beta^*(x)}{\gamma_n(x)} \int_L^y \frac{\gamma_n(t) f(t)}{t-x} dt,$$

где

$$\alpha^*(x) = \frac{\alpha(x)}{\alpha^2(x) + \pi^2 \beta^2(x)}, \quad \beta^*(x) = \frac{\beta(x)}{\alpha^2(x) + \pi^2 \beta^2(x)}.$$

3. Относительно уравнения (A) доказаны следующие теоремы (см. [1], [2]):

Теорема 1. Пусть $\alpha, k, f \in H$, $\alpha^2 + \pi^2 \beta^2 \neq 0$ и $n > 0$. Тогда для любой f уравнение $A\varphi = f$ эквивалентно уравнению Фредholm'a

$$A_n^*\varphi \equiv \varphi(x) - \int_L^y k_n^*(x, y) \varphi(y) dy = f_n^*(x). \quad (I)$$

В частности, уравнение $A\varphi = 0$ эквивалентно однородному уравнению $A_n^*\varphi = 0$.

Теорема 2. Пусть $\alpha, k, f \in H$, $\alpha^2 + \pi^2 \beta^2 \neq 0$ и $n > 0$. Тогда для любой f уравнение $A\varphi = f$ эквивалентно уравнению Фредholm'a

$$A_n^*\varphi \equiv \varphi(x) - \int_L^y k_n^*(x, y) \varphi(y) dy = f_n^*(x) + \frac{\beta^*(x)}{\gamma_n(x)} \sum_{k=1}^n c_k x^{k-1}, \quad (II)$$

где c_k — произвольные комплексные постоянные.

В частности, однородное уравнение $A\varphi = 0$ эквивалентно неоднородному уравнению

$$A_n^*\varphi = \frac{\beta^*(x)}{\gamma_n(x)} \sum_{k=1}^n c_k x^{k-1}. \quad (II_0)$$

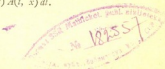
Теорема 3. Пусть $\alpha, k, f \in H$, $\alpha^2 + \pi^2 \beta^2 \neq 0$ и $n < 0$. Тогда уравнение (A) эквивалентно следующим уравнениям:

$$A_n^*\varphi \equiv \varphi(x) - \int_L^y k_n^*(x, y) \varphi(y) dy = f_n^*(x), \quad (III)$$

$$\int_L^y \tilde{c}_k(x) \varphi(x) dx = \int_L^y x^k \gamma_n(x) f(x) dx, \quad k=0, 1, \dots, -n-1, \quad (I)$$

где

$$\tilde{c}_k(x) = - \int_L^x t^k \gamma_n(t) A(t, x) dt.$$



В частности, однородное уравнение $A\varphi=0$ эквивалентно однородным уравнениям

$$A_n^*\varphi=0, \quad \int_L \tilde{\gamma}_k(x) \varphi(x) dx = 0, \quad k=0, 1, \dots, -n-1.$$

Из этих теорем вытекает, как очевидно следствие

Теорема 4. Если $\alpha, k \in H$, $\alpha^2 + \pi^2 \beta^2 \neq 0$, то число линейно независимых решений уравнений (A_0) и (A'_0) ограничено.

4. Выведем теперь необходимое и достаточное условие разрешимости уравнения (A) . Рассмотрим сперва случай $n \geq 0$. В этом случае необходимое и достаточное условие разрешимости уравнения (A) , в силу теорем 1 и 2, совпадает с таким же условием для уравнений (I) и (II) .

Пусть уравнение $A_n^*\varphi=0$ имеет p линейно независимых решений $\varphi_1, \dots, \varphi_p$. Пусть ψ_1, \dots, ψ_p — решения союзного уравнения. Тогда, согласно теореме Фредгольма, необходимое и достаточное условие разрешимости уравнения (A) примет вид

$$A_{jk}c_1 + A_{j2}c_2 + \dots + A_{jp}c_p = b_j, \quad j=1, \dots, p, \quad (2)$$

где

$$A_{jk} = \int_L \frac{\tilde{\beta}^*(x) x^{k-1} \psi_j(x)}{\gamma_n(x)} dx, \quad b_j = - \int_L f_n^* \psi_j dx = - \int_L \psi_j^* f dx,$$

причем

$$\psi_j^*(x) = \alpha^*(x) \psi_j(x) - \gamma_n(x) \int_L \frac{\tilde{\beta}^*(t) \psi_j(t)}{\gamma_n(t)(t-x)} dt.$$

Заметим, что, как легко установить на основании предыдущего, в нашем случае ($n \geq 0$) функция $\psi_j^*(x) \equiv 0$ тогда и только тогда, когда $\psi_j(x) \equiv 0$. Отсюда, очевидно, следует, что функции $\psi_j^*(x)$ ($j=1, 2, \dots, p$) линейно независимы.

Пусть q — ранг матрицы $\{A_{jk}\}$, $q \leq \min(n, p)$. Число $r = p - q$ назовем рангом уравнения (A) .

Будем считать, что детерминант $\|A_{jk}\|$ ($j, k = 1, 2, \dots, q$) отличен от нуля¹. Тогда, очевидно, необходимое и достаточное условие разрешимости системы (2) можно записать так:

$$\int_L \lambda_s(x) f(x) dx = 0, \quad s = 1, \dots, r, \quad (3)$$

где

$$\lambda_s(x) = c_{s1}\psi_1^*(x) + \dots + c_{sq}\psi_q^*(x) + \psi_{q+s}^*(x);$$

c_{sj} обозначают определенные постоянные.

Очевидно, $\lambda_s(x)$ линейно независимы.

¹ Легко проверить, что при всех возможных иных предположениях ход рассуждений остается тем же.

Пусть выполнены соотношения (3). Тогда, если определить постоянные c_1, \dots, c_q ,

$$c_j = b_j^* + A_{j1}^0 c_1 + \dots + A_{jn-q}^0 c_n, \quad j = 1, \dots, q,$$

где b_j^* и A_{jk}^0 —определенны постоянные, а c_{q+s} —произвольные постоянные, уравнение (II) примет вид

$$A_n^0 \varphi = f_n(x) + \gamma_n(x) + \sum_{s=1}^{n-q} c_{q+s} \gamma_s(x),$$

где

$$\gamma_0(x) = \frac{\beta^*(x)}{\gamma_n(x)} \sum_{j=1}^q b_j^* x^{j-1}, \quad \gamma_s(x) = \frac{\beta^*(x)}{\gamma_n(x)} \left[x^{q+s-1} + \sum_{j=1}^q A_{js}^0 x^{j-1} \right], \quad s = 1, \dots, n-q.$$

Нетрудно заметить, что функции $\gamma_s(x)$ линейно независимы.

Из предыдущего следует, что уравнение (II) и эквивалентное ему уравнение $A\varphi = f$ разрешимы и что их общее решение будет иметь вид

$$\varphi(x) = \varphi_0(x) + \sum_{k=1}^p d_k \varphi_k(x) + \sum_{s=1}^{n-q} c_{q+s} \gamma_s(x), \quad (4)$$

где d_k и c_{q+s} —произвольные постоянные, $\varphi_0(x)$ —функция, тождественно обращающаяся в нуль вместе с $f(x)$, $\varphi_k(x)$ —решение уравнения $A_n^0 \varphi = \gamma_k(x)$.

Решение однородного уравнения $A\varphi = 0$ будет

$$\varphi = \sum_{k=1}^p d_k \varphi_k(x) + \sum_{s=1}^{n-q} c_{q+s} \gamma_s(x). \quad (5)$$

Нетрудно убедиться, что функции $\varphi_k(x)$ и $\gamma_s(x)$ —линейно независимы. Таким образом, мы получили следующую важную теорему:

Теорема 5. Пусть $\alpha, k, f \in H$, $\alpha^2 + \pi^2 \beta^2 \neq 0$ и $n \geq 0$. Тогда, если ранги уравнения (A) равен нулю, то это уравнение имеет решение при любой функции f , которое дается формулой (4). Если же ранги уравнения (A) большие нуля, то это уравнение, вообще говоря, решения не имеет. Решение существует лишь в том случае, когда свободный член f удовлетворяет г соотношению (3).

Однородное уравнение $A\varphi = 0$ имеет $n+r$ линейно независимых решений.

Переходим теперь к рассмотрению случая $n < 0$. В этом случае уравнение $A\varphi = f$ эквивалентно уравнению $A_n^0 \varphi = f_n^*$ и системе (1).

Пусть ψ_1, \dots, ψ_p —полная система линейно независимых решений уравнения $A_n^0 \varphi = 0$, а χ_1, \dots, χ_p —решения союзного уравнения.

Тогда условие разрешимости уравнения (III) будет

$$\int_L^x f_n^*(x) \chi_j(x) dx = \int_L^x f(x) \chi_j(x) dx = 0, \quad (6)$$

$$\chi_j(x) = \alpha^*(x) \chi_j(x) - \gamma_n(x) \int_L^x \frac{\beta^*(t) \chi_j(t) dt}{\gamma_n(t)(t-x)}, \quad j = 1, \dots, p.$$

Пусть это условие удовлетворено. Тогда уравнение (III) разрешимо и его решение будет

$$\varphi(x) = \varphi_0(x) + \sum_{k=1}^{p'} d'_k \omega_k(x), \quad (7)$$

где $\varphi_0(x)$ тождественно обращается в нуль вместе с $f_n^*(x)$, а d'_k —произвольные постоянные.

Подставляя (7) в (1), получим:

$$B_{11}d'_1 + \cdots + B_{1p'}d'_{p'} = c_k, \quad k = 1, \dots, -n, \quad (8)$$

где

$$B_{kj} = \int_L \tilde{\omega}_k(x) \omega_j(x) dx, \quad c_k = \int_L \tilde{\omega}_k(x) f(x) dx;$$

$\tilde{\omega}_k(x)$ —известные функции.

Пусть q' —ранг матрицы $[B_{kj}]$, $q' \leq \min(-n, p')$. Тогда, для разрешимости системы (8), аналогично предыдущему, мы получим $-n-q'$ условий вида

$$\int_L \lambda'_s(x) f(x) dx = 0, \quad s = 1, \dots, -n-q', \quad (9)$$

где $\lambda'_s(x)$ будут линейными комбинациями функций $\tilde{\omega}_s(x)$.

Если разрешить систему (8) относительно постоянных $d'_1, \dots, d'_{q'}$, формула (7) примет вид

$$\varphi(x) = \varphi_0(x) + \sum_{k=1}^{p'-q'} d'_{q'+k} \omega'_k(x), \quad (7')$$

где $\varphi_0''(x) \equiv 0$ при $f(x) \equiv 0$, $\omega'_k(x)$ —определенная линейная комбинация функций $\omega_1(x), \dots, \omega_p(x)$.

Очевидно, что $\omega'_k(x)$ —линейно независимы.

Таким образом, имеем следующую теорему:

Теорема 6. Пусть $\alpha, k, f \in H$, $\alpha^2 + \pi^2 \beta^2 \neq 0$ и $n < 0$. Тогда уравнение $A\varphi = f$ только тогда имеет решение, когда f удовлетворяет соотношениям (6) и (9). В этом случае решение уравнения $A\varphi = f$ определяется формулой (7'). Так как при $f \equiv 0$ условия (6) и (9) автоматически выполняются, то однородное уравнение $A\varphi = 0$ имеет $r' = p' - q'$ линейно независимых решений $\omega'_1(x), \dots, \omega'_{r'}(x)$.

Число $r' = p' - q'$ назовем рангом уравнения $A\varphi = f$ при $n < 0$.

5. Пусть $\psi_1(x), \dots, \psi_v(x)$ —полная система линейно независимых решений уравнения (A'_0) . Тогда соотношения

$$\int_L \psi_j(x) f(x) dx = 0, \quad j = 1, \dots, v' \quad (10)$$

являются необходимым условием разрешимости уравнения $A\varphi=f$. Поэтому они должны быть следствием (3) или (6) и (9), смотря по тому $n \geq 0$ или $n < 0$.

Мы докажем ниже также достаточность этих условий. Предварительно докажем теорему.

Теорема 7. Пусть $\alpha, k \in H$, $\alpha^2 + \pi^2 \beta^2 \neq 0$, а u и u' — числа линейно независимых решений уравнений $A\varphi=0$ и $A'\varphi=0$. Тогда

$$u - u' = p, \quad (11)$$

где p — индекс уравнения (A).

Пусть n — индекс уравнения (A), тогда $-n$ будет индексом уравнения (A'). Пусть r и r' — ранги соответственно уравнений (A) и (A').

Предположим для определенности, что $n \geq 0$. Тогда, согласно теоремам 5 и 6, $u = u + r$, а $u' = r'$. Формула (11) будет доказана, если мы обнаружим, что $r' = r$.

Докажем сперва, что $r' \leq r$. Пусть $r' > r$. Тогда не все функции $\varphi_j(x)$, $j = 1, \dots, r'$, входящие в (10), линейно зависимы от функций $\lambda_j(x)$, $j = 1, \dots, r$, входящих в (3), ибо, в противном случае, функции φ_j , очевидно, оказались бы линейно зависимыми.

Но тогда можно было бы так подобрать функцию $f(x)$, чтобы имело место условие (3), но не выполнялось условие (10). Таким образом, мы пришли к противоречию, что (10) не есть следствие (3).

Следовательно,

$$r' \leq r. \quad (12)$$

Необходимым условием разрешимости уравнения $A'\varphi=f$, в силу (10), будет

$$\int_L \varphi_j(x) f(x) dx = 0, \quad j = 1, \dots, n+r, \quad (13)$$

где $\varphi_j(x)$ — полная система линейно независимых решений уравнения $A\varphi=0$. Но это условие, в силу теоремы 6, должно быть следствием условий (6) и (9). Поэтому, аналогично предыдущему, мы покажем, что число соотношений (13) $n+r \leq n+r'$ числа соотношений (6) и (9), т. е. $r \leq r'$. Сопоставляя это с (12), получим, что $r' = r$. Следовательно, $u = u + r = n + u'$. Это доказывает нашу теорему. Аналогично доказывается теорема для $n < 0$.

Докажем теперь достаточность условия (10). Для определенности опять положим, что $n \geq 0$. Тогда, в силу предыдущего, число функций λ_j и φ_j , входящих в соотношения (3) и (10), одинаково.

Мы уже видели, что ψ , суть линейные комбинации λ_j :

$$\psi_j = \sum \alpha_{jkl} \lambda_k.$$



Определитель $\|\alpha_{jk}\|$ отличен от нуля, ибо в противном случае функции ϕ_j оказались бы линейно зависимыми. Поэтому, λ_j являются также линейными комбинациями ϕ_j . Следовательно, условия (3) и (10) эквивалентны.

Таким образом доказано, что условие (10) является также достаточным условием для разрешимости уравнения $A\varphi = f$. Аналогично доказывается это предложение при $n < 0$.

Таким образом, имеем следующую теорему, аналогичную теореме Фредгольма:

Теорема 8. Пусть $a, b, f \in H$, $a^2 + \pi^2 j^2 \neq 0$. Тогда для того, чтобы уравнение $A\varphi = f$ имело решение, необходимо и достаточно, чтобы

$$\int_a^b f(x) \phi_j(x) dx = 0, \quad j = 1, \dots, \nu,$$

где $\phi_1(x), \dots, \phi_\nu(x)$ — полная система линейно независимых решений союзного уравнения $A\varphi = 0$.

Теоремы 4, 7 и 8 впервые были доказаны другим путем Нетером в его весьма важной работе [3].

Академия Наук Грузинской ССР
Тбилисский Математический Институт

(Поступило в редакцию 23.8.1941)

აკადემია

0400 30000

სიცოდულურ ინტეგრალურ განტოლებათა მიზანი კლასი 3012608
რეცეპტი

ავტორის მიერ ერთ-ერთ წინა შრომაში [1] მოცემული მეთოდით დამტკიცებულია რამდენიმე ძირითადი დებულება (A) სინგულარული განტოლების შესახებ.

აქართველოს სსრ მეცნიერებათა აკადემია
თბილისის მათემატიკური ინსტიტუტი

ЦИТИРОВАННАЯ ЛИТЕРАТУРА—СИГН. 6012608-10 ლიტ. 61561

1. И. И. Векуа. О сигнатурных линейных интегральных уравнениях... Доклады АН СССР, т. XXVI, № 4, 1940, стр. 335—338.
2. Б. В. Хваделиадзе. О краевой задаче Пуанкаре теории логарифмического потенциала для много связной области. Сообщения Академии Наук ГССР, т. II, № 7, 1941.
3. F. Noether. Über eine Klasse singulärer Integralgleichungen. Math. Ann., Bd. 82, 1921, S. 42—63.



МАТЕМАТИКА

В. Д. КУПРАДЗЕ

К ТЕОРИИ ИНТЕГРАЛЬНЫХ УРАВНЕНИЙ С ИНТЕГРАЛОМ
В СМЫСЛЕ ГЛАВНОГО ЗНАЧЕНИЯ ПО КОШИ

В этой заметке доказываются четыре теоремы, относящиеся к общей теории интегральных уравнений вида

$$K\varphi(s) \equiv a(s)\varphi(s) - \lambda \int_{\gamma} \left[\frac{b(t)}{t-s} + K(s, t) \right] \varphi(t) dt = f(s), \quad (1)$$

где γ —гладкая замкнутая кривая, s и t —комплексные аффинсы ее точек, $a(s)$, $b(s)$, $K(s, t)$, $f(s)$ —функции, заданные на γ и удовлетворяющие условию Hölder'a. Решение уравнения (1) $\varphi(s)$ ищется также в классе функций, удовлетворяющих условию Hölder'a.

Уравнение (1) встречается в ряде важных задач приложений [1, 2, 4, 6] и разработке его теории посвящено не мало работ [1, 2, 3, 4, 5, 6, 7, 8, 9, 11, 12].

Теоремы, доказываемые в этой заметке, также не являются новыми; мы все же решили опубликовать эту работу, преследуя главным образом цели, с одной стороны, систематического изложения вопроса, позволяющего лучше раскрыть связи между отдельными фактами теории, с другой—упрощение доказательств основных теорем и устранение ряда неясностей, которые встречаются в некоторых из указанных выше работ [2, 4, 5, 11]. В частности, доказательство одной теоремы, данное мною в работе [11] (теорема С), содержит ошибку (см. стр. 592—593 настоящей статьи).

Условимся в некоторых обозначениях:

Черты над оператором будем обозначать оператор, получающийся при транспозиции переменных в ядре, так что:

$$\bar{K}\bar{\varphi}(s) \equiv a(s)\bar{\varphi}(s) - \lambda \int_{\gamma} \left[\frac{b(t)}{s-t} + \bar{K}(t, s) \right] \bar{\varphi}(t) dt.$$

Обозначим далее через $\varphi_1(s)$, $\varphi_2(s)$, ..., $\varphi_k(s)$ и $\bar{\varphi}_1(s)$, $\bar{\varphi}_2(s)$, ..., $\bar{\varphi}_k(s)$ k и \bar{k} линейно независимых решений однородных уравнений:

$$K\varphi(s) = 0 \quad \text{и} \quad (2)$$

$$\bar{K}\bar{\varphi}(s) = 0. \quad (3)$$

Предположим, что

$$a(s) \equiv a^2(s) + \lambda^2 \pi^2 b^2(s) \neq 0, \quad (s \in \gamma) \quad (4)$$

и назовем индексом уравнения (1) число

$$n = \frac{1}{2\pi i} \int_{\Gamma} d \log \frac{a(s) + \lambda \pi i b(s)}{a(s) - \lambda \pi i b(s)}. \quad (5)$$

Наконец, введем еще оператор $L\phi \equiv a(s)\phi(s) - \lambda b(s) \int_{\Gamma} \frac{\phi(t)}{s-t} dt$ и пусть $\lambda_1(s), \lambda_2(s), \dots, \lambda_l(s)$ — линейно независимых решений уравнения $L\lambda_i(s) = 0, \quad i = 1, 2, \dots, l$.

Докажем теорему¹¹.

Теорема А. Если $a^2(s) + \lambda^2 \pi^2 b^2(s) \neq 0$, то k и \bar{k} конечны.

Теорема В. Необходимое и достаточное условие разрешимости уравнения (1) состоит в соблюдении \bar{k} равенства

$$\int_{\Gamma} f(s) \bar{\varphi}_i(s) ds = 0. \quad (6)$$

Теорема С.

$$k = \bar{k} = n.$$

Теорема Д (теорема Михлина). Необходимое и достаточное условие для существования линейного оператора M типа K такого, чтобы при всяком f уравнение

$$MK\varphi(s) = Mf(s) \quad (7)$$

было уравнением Fredholm'a 2-го рода эквивалентным Γ -му, состоит в том, чтобы

$$n \equiv 0. \quad (8)$$

¹¹ В моей статье [11], упомянутой выше, в которой приведены эти четыре теоремы, ссылаясь на Noether'a [5], я писал: «Все эти теоремы более или менее полно были сформулированы F. Noether'ом в 1921 г. Но доказательства, данные Noethером, неволны и пресыщены туманием».

Академик Н. И. Мусхелишвили обратил мое внимание на несправедливость подобной оценки работы Noether'a. Соглашаясь с этими мнениями, считаю необходимым заметить: в работе Noether'a, кроме ряда основных результатов, содержатся много рукописных идей, которые впоследствии легли в основу развития теории особых интегральных уравнений типа Коши. Однако, в изложении Noether'a имеются некоторые ляфеты, которые лишают работу необходимой отчетливости.

Теоремы А, В, С сформулированы Noether'ом в полном виде, теорема Д им вовсе не сформулирована, хотя в работе содержатся почти все элементы, необходимые для ее доказательства.

При тех предположениях, которые Noether делает об элементах своего уравнения, ни одно из его доказательств не является вполне строгим. В доказательстве теоремы D имеется пробел, связанный с решением одновременной задачи Hilbert'a.

В целом, статья написана не достаточно отчетливо и может, по моему мнению, вызвать у читателя недоумения.



Теоремы А и В доказаны Noether'ом для одного класса уравнений (см. стр. 592 уравнение (N)). Однако доказательство Noether'a применимо также и к более общему уравнению (1), как это видно из приводимого ниже доказательства названных теорем.

Теорема А. Составим композицию

$$LK\varphi(s) = Lf(s); \quad (9)$$

пользуясь формулой Poincare—Bertrand'a [1, 6] о переставимости двух последовательных интегралов с главными значениями в смысле Cauchy

$$\int \frac{dt}{t-s} \int \frac{K(t, \tau)}{\tau-t} d\tau = -\pi^2 K(s, s) + \int \int \frac{K(t, \tau)}{(t-s)(\tau-t)} dt,$$

будем иметь, раскрывая левую часть (9)

$$a(s) \varphi(s) - \lambda \int K^*(s, t) \varphi(t) dt = Lf(s), \quad (9)$$

где

$$K^*(s, t) = \frac{a(t) b(t) - a(s) b(s)}{t-s} - \left[a(s) K(s, t) + a(t) K(t, s) - \lambda \int \int K(\tau, s) K(\tau, t) dt \right] \\ + \lambda \int \int \frac{b^2(\tau) - (t-\tau) K(\tau, t) b(\tau) + (s-\tau) K(\tau, s) b(\tau)}{(\tau-s)(t-\tau)} d\tau.$$

Кроме того, при тех предположениях, которые были сделаны относительно $b(s)$, $K(s, t)$, можно показать [7], что ядро $K^*(s, t)$ регулярно (или квази-регулярно) с точки зрения теории Fredholm'a.

Таким образом, уравнение

$$LK\varphi(s) = 0 \quad (9^0)$$

представляет линейное регулярное (или квази-регулярное) уравнение Fredholm'a.

Поэтому уравнение

$$K\varphi(s) = 0, \quad (1^0)$$

каждое решение которого есть также решение (9⁰), может иметь только конечное число линейно независимых решений. Аналогично можно показать конечность числа k и теорема А доказана.

Теорема В. Необходимость получается сразу; пусть (1) имеет решение. Тогда имеет место система равенств

$$\int \int f(s) \bar{\varphi}_i(s) ds = \int \bar{\varphi}_i(s) K\varphi(s) ds = \int \varphi(s) \bar{K}\bar{\varphi}_i(s) ds = 0$$

и необходимость условий (6) доказана.



Переходя к доказательству достаточности, предположим, что для уравнения $L\varphi(s) = 0$ имеется r линейно независимых решений $\varphi_1, \varphi_2, \dots, \varphi_r$.

Сопряженное уравнение

$$\bar{L}\bar{\varphi} \equiv \bar{K}\bar{\varphi} = 0 \quad (10)$$

имеет также r решений $\psi_1(s), \psi_2(s), \dots, \psi_r(s)$, при этом очевидно из (10)

$$\bar{L}\bar{\varphi}_i(s) = \sum_{j=1}^k c_{ij} \bar{\varphi}_j(s).$$

Уравнение Fredholm'a (9) разрешимо; действительно, для этого необходимо и достаточно:

$$\int\limits_{\gamma} \varphi_i(s) Lf(s) ds = 0, \quad i = 1, \dots, r, \quad (11)$$

но эти равенства на самом деле имеют место, так как:

$$\int\limits_{\gamma} \varphi_i Lf ds = \int\limits_{\gamma} f(s) \bar{L}\bar{\varphi}_i(s) ds = \int\limits_{\gamma} f(s) \sum_{j=1}^k c_{ji} \bar{\varphi}_j(s) ds = \sum_{j=1}^k c_{ji} \int\limits_{\gamma} f(s) \bar{\varphi}_j(s) ds = 0.$$

Поэтому, разрешая (9) и обозначая резольвенту Fredholm'a через $\Gamma(s, t, \lambda)$, можем писать:

$$\varphi(s) = Lf(s) + \lambda \int\limits_{\gamma} \Gamma(s, t, \lambda) Lf(t) dt + \sum_{i=1}^r \alpha_i \varphi_i(s), \quad (12)$$

где α_i — произвольные постоянные. Подразумевая под $\varphi(s)$ это выражение, будем очевидно иметь

$$K\varphi(s) - f(s) = \sum_{j=1}^l c_j \lambda_j(s), \quad (13)$$

где c_j вполне определенные заданные функции f и постоянные α_i .

Чтобы их определить, умножим (13) на $\lambda_j(s) ds$, ($\lambda_j(s)$ комплексно сопряженные с $\lambda_j(s)$ функции) и проинтегрируем вдоль γ ; получим:

$$\int\limits_{\gamma} F_m(t) f(t) dt + \sum_{i=1}^r \alpha_i \beta_{im} = \sum_{j=1}^l c_j \gamma_{jm}, \quad m = 1, 2, \dots, l, \quad (14)$$

где $F_m(t)$, $m = 1, 2, \dots, l$, определенные, не зависящие от $f(t)$, функции, β_{im} , γ_{jm} — определенные постоянные, причем определитель Gram'a

$$\|\gamma_{jm}\| \neq 0.$$

Разрешая (14) относительно c_j , $j = 1, 2, \dots, l$, будем иметь:

$$c_j = \int\limits_{\gamma} q_j(t) f(t) dt + \sum_{i=1}^r \alpha_i \beta_{im}, \quad j = 1, 2, \dots, l, \quad (15)$$

где $q_j(t)$ — определенные функции.

Из (13) следует, что те и только те $\varphi(s)$ из совокупности, в которых $\alpha_i, i=1, 2, \dots, r$ определены из условий

$$\int_0^t q_j(t) f(t) dt + \sum_{i=1}^r \alpha_i v_{ji} = 0, \quad (17)$$

будут решениями уравнения (1). Наоборот, если (1) имеет решение, оно входит в совокупность (12) и имеет α -коэффициентами числа, удовлетворяющие системе (17).

Разрешимость системы (17) есть необходимое и достаточное условие разрешимости (1) и обратно.

Но необходимое и достаточное условие разрешимости системы (17) состоит в равенстве нулю характеристических определителей этой системы; это дает $l-y$ условий:

$$\int_0^t p_s(t) f(t) dt = 0, \quad s=1, 2, \dots, l-y, \quad (18)$$

где y —ранг матрицы коэффициентов системы (17), а $p_s(t)$ —определенные выражения, не зависящие от $f(t)$. Итак, условия (18) вместе с (6) являются необходимым и достаточным для разрешимости уравнения (1).

Пусть теперь $\chi(s)$ есть произвольная функция, определенная на Y и удовлетворяющая условию Hölder'a. Рассмотрим уравнение:

$$K\varphi(s) = K\chi(s).$$

Очевидно, это уравнение имеет решение

$$\varphi(s) = \chi(s);$$

следовательно, для всякого $\chi(s)$ имеем:

$$\int_0^t p_s(t) K\chi(t) dt = 0, \quad s=1, 2, \dots, l-y.$$

Отсюда

$$\int_0^t \chi(t) \bar{K}p_s(t) dt = 0$$

и вследствие произвольности $\chi(t)$

$$\bar{K}p_s(t) = 0,$$

откуда

$$p_s(t) = \sum_{i=1}^k A_{si} \bar{\varphi}_i(t), \quad s=1, 2, \dots, l-y.$$

Условия (18) принимают вид:

$$\sum_{i=1}^k A_{si} \int_0^t \bar{\varphi}_i(t) f(t) dt = 0, \quad s=1, 2, \dots, l-y.$$



Таким образом, условия (18) покрываются условиями (6) и, следовательно, отсюда вытекает достаточность условий

$$\int_{-\pi}^{+\pi} \bar{\varphi}(t) f(t) dt = 0.$$

Соединяя этот результат с доказанной выше необходимостью, имеем теорему В.

Заметим, что для уравнения, рассматриваемого Noether'ом [5]

$$K\varphi(s) \equiv a(s)\varphi(s) + \int_{-\pi}^{+\pi} K(s, t)\varphi(t) dt = f(s), \quad (N)$$

где

$$K(s, t) = \frac{b(s)}{2\pi} \operatorname{ctg} \frac{t-s}{2} + A(s, t),$$

$$a(-\pi) = a(+\pi), \quad b(-\pi) = b(+\pi), \quad a^2(s) + b^2(s) \neq 0,$$

$$-\pi \leq t \leq +\pi$$

и $\iint [A(s, t)]^2 ds dt$ существует, непосредственно получается более общая теорема:

Если имеют место условия (6), то уравнение

$$\bar{K}K\varphi = \bar{K}f$$

есть разрешенное уравнение Fredholm'a, эквивалентное уравнению Noether'a (N).

Действительно, $\bar{K}K\varphi = \bar{K}f$ есть уравнение Fredholm'a, оно разрешимо согласно (6) и (11).

Имеем¹

$$K\varphi - f = \sum_{i=1}^k c_i \bar{\varphi}_i,$$

отсюда, согласно с (6) и тождествами

$$\int_{-\pi}^{+\pi} \bar{\varphi}_j(s) K\varphi(s) ds = 0,$$

имеем:

$$\sum_{i=1}^k c_i \int_{-\pi}^{+\pi} \bar{\varphi}_i(s) \bar{\varphi}_j(s) ds = 0, \quad j = 1, 2, \dots, k.$$

¹ Сохраним старые обозначения.

Так как теперь все $\tilde{\varphi}_i(s)$, $i=1, 2, \dots, k$, вещественные функции, то по свойству детерминанта Gram'a $c_i=0$, $i=1, 2, \dots, k$ и следовательно

$$K\tilde{\varphi}(s) = f(s),$$

что и нужно. Это доказательство не применимо к уравнению (1). В моей статье [11] это обстоятельство не было замечено. Из этих рассуждений легко получить следующие выводы для уравнения (N): $K\tilde{\varphi}=0$ и $\bar{K}K\tilde{\varphi}=0$ всегда эквиваленты и $\bar{K}K\tilde{\varphi}=\bar{K}f$ разрешимо для любого f .

Теорема С. Составим союзные уравнения:

$$L_{\theta b}(s) \equiv a(s) \omega(s) + \lambda b(s) \int \frac{\omega(t)}{t-s} dt = 0, \quad (19)$$

$$\bar{L}_{\theta b}(s) \equiv a(s) \bar{\omega}(s) - \lambda \int \frac{\bar{b}(t) \bar{\omega}(t)}{t-s} dt = 0. \quad (20)$$

Karleman показал [9], что уравнение (19) приводит к следующей граничной задаче теории функций комплексного переменного:

Найти на плоскости ζ голоморфную всюду вне L функцию $F(\zeta)$, удовлетворяющую на L граничному условию

$$F_0(s) = \frac{a(s) - \lambda \pi i b(s)}{a(s) + \lambda \pi i b(s)} F_0(s). \quad (*)$$

Эта задача известна под названием задачи Riemann'a. Решение ее дано Ф. Д. Гаховым [10]. Оказывается, что при

$$n = \frac{1}{2\pi i} \int_L d\log \frac{a(s) + \lambda \pi i b(s)}{a(s) - \lambda \pi i b(s)} \equiv 0,$$

задача Riemann'a (*) имеет только нулевое решение, а при $n < 0$ имеет ровно n линейно независимых решений. С. Т. Михлин [8], а затем И. Н. Векуа [12], опираясь на эти результаты показали, что уравнение (19) имеет только нулевое решение при $n \geq 0$ и ровно $-n$ линейно независимых решений при $n < 0$.

Уравнение (20) легко сводится к уравнению (19), в котором λ заменяется на $-\lambda$, подстановкой $b(s) \bar{\omega}(s) = \tau(s)$, и поэтому оно будет иметь только нулевое решение при $n < 0$ и ровно n линейно независимых решений при $n > 0$.

Пусть $n < 0$. Рассмотрим уравнение $KL\omega(s) = 0$ (в отличие от композиции LK , которую пользовались выше). Легко убедиться, что композиция KL также регулярна и типа Fredholm'a. Это уравнение имеет $-n+k$ линейно независимых решений: $-n$ из них—решения уравнения $L\omega(s) = 0$. Остальные k решений найдутся из уравнения

$$L\omega_i(s) = \varphi_i(s), \quad i=1, 2, \dots, k.$$



По теореме В эти уравнения разрешимы и k функции $\omega_i(s)$ отсюда, будут остальными решениями уравнения $KL\omega(s)=0$. Следовательно, уравнение $KL\Phi \equiv \bar{L}\bar{K}\Phi=0$ тоже имеет $-n+k$ решений; с другой стороны это уравнение допускает только \bar{k} решений, ибо $\bar{L}\omega(s)=0$ имеет только нулевое решение; следовательно,

$$k-\bar{k}=n. \quad (23)$$

Доказательство в том случае, когда $n>0$, очевидно, легко может быть приведено к предыдущему. Оно может быть рассмотрено также самостоятельно.

Пусть

$$n \geq 0.$$

Уравнение $L\omega(s)=0$ имеет только нулевое решение, уравнение $\bar{L}\omega(s)=0$ имеет n линейно независимых решений. Уравнение $\bar{K}\bar{L}\Phi(s)=0$ есть уравнение Fredholm'a. Оно имеет $n+\bar{k}$ решений; n из них суть решения $\bar{L}\Phi=0$, а \bar{k} -решения неоднородных уравнений

$$\bar{L}\Phi=\bar{\varphi}_i, \quad i=1, 2, 3, \dots, \bar{k},$$

по теореме В эти решения существуют, они линейно независимы. С другой стороны, уравнение

$$\bar{K}\bar{L}\Phi(s) \equiv \bar{L}\bar{K}\Phi(s) \equiv LK\Phi(s)=0$$

имеет k решений; следовательно

$$k-\bar{k}=n$$

и теорема С доказана. На основании этой теоремы нетрудно доказать теорему D.

Докажем предварительно лемму Михлина [8]:

Если уравнения

$$K\varphi(s)=f(s) \text{ и } MK\varphi(s)=Mf(s),$$

из которых второе есть регулярное уравнение Fredholm'a, взаимно эквивалентны, для любого $f(s)$, то необходимо

$$\bar{k} \equiv k.$$

Пусть, по прежнему $\varphi_1, \varphi_2, \dots, \varphi_k$, k решений уравнений $K\varphi=0$ и $MK\varphi=0$, $\omega_1, \omega_2, \dots, \omega_k$, k -решений уравнения $\bar{M}\bar{K}\omega \equiv \bar{K}\bar{M}\omega=0$. $\bar{\varphi}_1, \bar{\varphi}_2, \dots, \bar{\varphi}_{\bar{k}}$, \bar{k} -решений уравнения $\bar{K}\bar{\varphi}=0$. Для разрешимости уравнения $K\varphi=f$ имеем \bar{k} необходимых и достаточных условий

$$\int f(s) \bar{\varphi}_i(s) ds = 0, \quad i=1, 2, \dots, \bar{k}. \quad (6)$$

Для разрешимости эквивалентного уравнения $MK\varphi = Mf$ имеются необходимые и достаточные условия:

$$\int \omega_i Mf \, ds = \int f \bar{M}\omega_i \, ds = \int f(s) \sum_{j=1}^k c_{ij} \bar{\varphi}_j(s) \, ds = 0, \quad i=1, 2, 3, \dots, k; \quad (24)$$

среди k функций $\bar{M}\omega_i$ должно быть \bar{k} линейно независимых, чтобы число независимых условий (6) совпадало с числом условий (24). Следовательно необходимо $\bar{k} \geq k$, что и нужно было.

Пусть теперь $n < 0$, тогда из (23) вытекает $\bar{k} \leq k$ и следовательно, по лемме, уравнение $K\varphi(s) = f(s)$ для всех $f(s)$, не может быть эквивалентно уравнению Fredholm'a вида $MK\varphi(s) = Mf(s)$.

Наоборот, если $n \geq 0$, тогда уравнение

$$L\omega(s) = 0 \quad (19)$$

имеет только тривиальное решение и уравнение $LK\varphi = Lf$ будет регулярным уравнением Fredholm'a, которое эквивалентно уравнению $K\varphi = f$, и теорема Михлина доказана.

Укажем другое простое доказательство теоремы D, которое не опирается на лемму Михлина и теорему C.

Пусть $n < 0$. Тогда уравнение

$$K^*\varphi \equiv a(s)\varphi(s) - \lambda b(s) \int \frac{\varphi(t)}{t-s} dt = 0$$

имеет только нулевое решение; следовательно, эквивалентное ему по допущению уравнение Fredholm'a $MK^*\varphi = 0$ тоже имеет только нулевое решение; поэтому, уравнение $MK^*\varphi = Mf$ разрешимо при любом f , в то время как $K^*\varphi = f$ не разрешимо для любого f . Следовательно, при $n < 0$ уравнения $K^*\varphi = f$ и $MK^*\varphi = Mf$ не могут быть эквивалентными для любых f . Отсюда легко следует необходимость условия $n > 0$ для уравнения $K\varphi = f$. Достаточность доказывается как и выше.

Академия Наук Грузинской ССР
Тбилисский Математический Институт

(Поступило в редакцию 2.9.1941)

3. ქრისტიანი

განსაკუთრებულ გულიან ინტეგრალურ პაროლებათა
თიოდისათვის

რეცეზი

წინამდებარე გამოკელვაში დამტუცუბულია ცონბილი ოთხი თეორემა. რომელნიც (1) ტიპის განტოლებათა ზოგადი თეორიის საფუძველს შეაღენენ. ეს არის თეორემები: A, B, C, D. (1) განტოლება გვხვდება მრავალ გამოყენებითი ხასიათის საკითხში და მის თეორიის მიძღვნილი აქვს არა ერთი გამოკლევა [1—12].

ჩენენ მიზანს შეაღენოს ხსენებული ოთხი თეორემის არსებულ დამტუცუბათა გამარტივება, მათი ურთიერთობან კავშირის გაშენება, ზოგიერთ განხილვა-დოკუმენტი აღნიშვნა და ზემოხსენებული შრომების ერთ ნაწილში [1, 2, 4, 6] გამარტივ ზოგიერთ ნაკლოვანებათა გასწორება.

საჭართველოს სრ მეცნიერებათა აუდიტორია
თბილისის მთემატიკური ინსტიტუტი

ЦИТИРОВАННАЯ ЛИТЕРАТУРА—ОДНОЧАСТНЫЙ СПИСОК ЛИЧНЫХ

1. Poincaré. *Leçons de Mécanique céleste*, T. III; *Theorie des Marées*.
2. Hilbert. Über eine Anwendung der Integralgleichungen auf ein Problem der Funktionsntheorie. Verh. d. III Intern. Math. Kongr. Heidelberg, 1904.
3. Kellogg. Unstetigkeiten in den linearen Integralgleichungen. Math. Ann. T. 58, 1904.
4. Villat. Sur la résolution de certaines équations intégrales. Acta Math. T. 40, 1916.
5. Noether. Über eine Klasse singulärer Integralgleichungen. Math. Ann. T. 82, 1921.
6. Bertrand. La théorie des marées et les équations intégrales. Ann. Sc. Ec. Norm. T. 40, 1923.
7. Giraud. Équations à intégrales principales, étude suivie d'une application. Ann. Sc. Ec. Norm. T. 51, F. 3, 4; T. 53, F. 1, 1936. T. 56, F. 2, 1939.
8. Michlin. Sur une certaine classe d'équations intégrales singulières. C. R. de l'Acad. URSS, V. XXIV, No 4, 1939.
9. Karleman. Sur une certaine classe d'équations intégrales singulières. Ark. för. Mat. Astr. och. Physik, 16, 1922.
10. Гахов. Линейные краевые задачи теории функций комплексного переменного. Изв. Кац. Унив., т. X, сер. 3, 1938.
11. Купрадзе. К теории интегральных уравнений с интегразом в смысле главного значения по Коши. Известия АН СССР, серия математическая, т. 5, 1941.
12. Векуа. О линейном сингулярном интегральном уравнении, содержащем интеграз в смысле главного значения по Коши. Доклады АН СССР, т. XXIV, 1940.

Д. Р. ВАШАКИДЗЕ

ПРИБЛИЖЕННЫЕ ФОРМУЛЫ ДЛЯ ЭЛЛИПТИЧЕСКИХ ИНТЕГРАЛОВ ВТОРОГО РОДА

При решении многих задач практического характера, приходится иметь дело с эллиптическими интегралами первого и второго рода, в особенности же с полными эллиптическими интегралами.

Чаще всего эти интегралы встречаются в промежуточных вычислениях, а иногда и под знаком интеграла; отсюда становится ясным необходимость получения тех или иных приближенных выражений эллиптических интегралов, в зависимости от параметров (амплитуды и модуля), входящих в рассматриваемые интегралы.

Не так давно И. С. Гельфанд [1] и Г. А. Грингберг [2] опубликовали работы, в которых приводятся приближенные формулы для вычисления эллиптических интегралов.

И. С. Гельфанд приводит для полного эллиптического интеграла второго рода приближенные формулы вида:

$$E(\alpha) = \frac{\pi}{2} \cos^2 \frac{\alpha}{2} \quad (0^\circ \leq \alpha \leq 50^\circ),$$

$$E(\alpha) = 1,035 \operatorname{cosec} \alpha \quad (53^\circ \leq \alpha \leq 83^\circ),$$

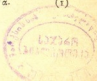
$$E(\alpha) = \operatorname{cosec} \alpha \quad (83^\circ \leq \alpha \leq 90^\circ),$$

где

$$E(\alpha) = \int_0^{\frac{\pi}{2}} V \sqrt{1 - k^2 \sin^2 x} dx, \quad k = \sin \alpha,$$

а Г. А. Грингберг для общего случая дает формулу

$$E(k, \varphi) = \int_0^{\varphi} V \sqrt{1 - k^2 \sin^2 x} dx = \sin \varphi + (\varphi - \sin \varphi) \cos^{\frac{3}{2}} \alpha. \quad (1)$$





Заметим, что формула (1) позволяет получить формулу для вычисления полного эллиптического интеграла. В самом деле, по-

лагая $\varphi = \frac{\pi}{2}$, найдем

$$E(\alpha) \approx 1 + 0,5708 \cos^{\frac{2}{3}} \alpha. \quad (2)$$

Эта формула, очевидно, превосходит формулу Гельфандса [1] не только потому, что при ее использовании основной промежуток изменения α не дробится на частные промежутки (как это сделано у Гельфандса) с тем, чтобы применить к каждому из них соответствующую выбранную приближенную формулу, но и потому, что, согласно вычислений Гринберга [2], относительная погрешность формулы (2) не превосходит $0,87\%$, в то время как относительная погрешность формул Гельфандса по вычислениям автора не превосходит 2% .

Оказывается, что формулу (2) можно уточнить, если написать

$$E(\alpha) = 1 + a \cos^{\frac{2}{3}} \alpha,$$

придать α различные значения в промежутке $\left(0, \frac{\pi}{2}\right)$, т. е. вычислить ряд значений a_i по формуле

$$a_i = \frac{E(\alpha_i) - 1}{\cos^{\frac{2}{3}} \alpha_i} \quad (i=1, 2, 3, \dots, n)$$

и положить

$$a = \frac{\sum_{i=1}^n a_i}{n}.$$

Вычисления показывают⁽¹⁾, что формулу (2) целесообразно заменить формулой

$$E(\alpha) = 1 + 0,58 \cos^{\frac{2}{3}} \alpha, \quad (3)$$

относительная погрешность которой не превосходит $0,6\%$.

Что касается общего случая, то оказывается, что при $0^\circ \leq \varphi \leq 90^\circ$ и $0^\circ \leq \alpha \leq 90^\circ$ справедливы неравенства

⁽¹⁾ Если подразделить интервал $\left(0, \frac{\pi}{2}\right)$ на 9 равных подинтервалов с помощью значений α_i :

$\alpha_1 = 10^\circ, \quad \alpha_2 = 20^\circ, \quad \alpha_3 = 30^\circ, \quad \alpha_4 = 40^\circ, \quad \alpha_5 = 50^\circ, \quad \alpha_6 = 60^\circ, \quad \alpha_7 = 70^\circ, \quad \alpha_8 = 80^\circ.$

$$\sin\varphi + (\varphi - \sin\varphi) \cos^2 x \equiv \int_0^{\pi} V \sqrt{1 - k^2 \sin^2 x} dx \equiv \sin\varphi + (\varphi - \sin\varphi) \cos x, \quad (4)$$

легко получаемые интегрированием следующих неравенств:

$$\cos x + (1 - \cos x) \cos^2 x \equiv \sqrt{1 - k^2 \sin^2 x} \leq \cos x + (1 - \cos x) \cos x,$$

и справедливости которых нетрудно удостовериться.

Так как разность крайних членов (4) изменяется в незначительных пределах¹, то можно принять

$$\int_0^{\pi} V \sqrt{1 - k^2 \sin^2 x} dx \approx \sin\varphi + (\varphi - \sin\varphi) \cos x, \quad (5)$$

или

$$\int_0^{\pi} V \sqrt{1 - k^2 \sin^2 x} dx \approx \sin\varphi + (\varphi - \sin\varphi) \cos x, \quad (6)$$

причем относительная погрешность формулы (5) не превосходит 3,5%, а формула (6) — 7%.

Но если мы используем формулу (5) в предположении, что $0^\circ \leq \varphi \leq 50^\circ$, то относительная погрешность этой формулы не будет превосходить 0,5%, в то время как относительная погрешность формулы (1) для этого же случая не превосходит 1,1%.

Таким образом, в случае $0^\circ \leq \varphi \leq 50^\circ$ формула (5) превосходит формулу Г. А. Гринберга по простоте и точности.

Академия Наук Грузинской ССР
Тбилисский Математический Институт

(Поступило в редакцию 7.7.1941)

БАТУАШВИЛИ

д. физ.-мат.

МОСКОВСКАЯ ОБЛАСТЬ
Город Красногорск
Бюро изобретений

Бюро изобретений

от Землемера и землемера инженера геодезии геодезии инженерной линии
издада и землемера сельского хозяйства (4), а также трудах Г. А. Гринберга [2] формулы (1)
записаны в виде: $0^\circ \leq \varphi \leq 50^\circ$, и в землемерах формулы (5) и
формулы (6) в землемерах геодезии сельского хозяйства (3).

Научно-исследовательский институт землемера и землемера
государственных землемерий и землемерий

¹ Эта разность не превосходит 0,1427.



ЦИТИРОВАННАЯ ЛИТЕРАТУРА—СОБОРОВСКОЕ СОБОРОВСКАЯ ЗАЩИТИЛОСЬ

1. И. С. Гельфанд. Приближенные формулы для полных эллиптических интегралов первого и второго рода. Труды и материалы Свердловского горного ин-та, вып. VI, 1940, стр. 57—63.
2. Г. А. Гриинберг. Некоторые приближенные формулы для эллиптических интегралов первого и второго рода. Прикладная математика и механика, том I, вып. 1, 1933, стр. 61—69.

МАТЕМАТИКА

Ф. Г. ШКАЛАЯ

К ВОПРОСУ ЧИСЛЕННОГО ИНТЕГРИРОВАНИЯ ОБЫКНОВЕННЫХ
ДИФЕРЕНЦИАЛЬНЫХ УРАВНЕНИЙ

1. Введение

Пусть имеется таблица значений интеграла дифференциального уравнения

$$y^{(n)} = f(x, y, y', \dots, y^{(n-1)}), \quad (1)$$

который при $x=x_0$ принимает начальные значения

$$y^{(k)} = y_0^{(k)}, \quad [k=0, 1, \dots, (n-1)]. \quad (2)$$

Допустим, что существование искомого интеграла предварительно установлено.

Ш. Е. Микеладзе [1] дает три серии формул¹ для решения поставленной выше задачи. Из этих формул получаются, как частные случаи, формулы Falkner'a [2], Волохова [3], Ветчинкина [4] и других.

Заметим, что формулы Микеладзе применяются для продолжения начальной таблицы значений $y^{(k)}(x)$, составленной каким-либо способом.

Весьма важно уметь составить начальную таблицу с достаточной степенью точности, ибо чем точнее будут подсчитаны величины, входящие в начальную таблицу, тем меньше влияние погрешностей этих величин на дальнейшие вычисления.

Для составления начальной таблицы с высокой степенью точности, на практике часто применяется способ последовательных приближений. Известные до настоящего времени формулы, кроме формулы Tollmien'a [5] для составления начальной таблицы с помощью последовательных приближений, не изучены со всей подробностью. Так, например, для этих формул не имеется общего выражения коэффициентов, нет выражений для остаточных членов, и, наконец, не дается критерий сходимости последовательных приближений.

Несколько иначе обстоит дело с формулой Tollmien'a для интегрирования дифференциального уравнения первого порядка. Tollmien хотя и не дает выражения коэффициентов формулы, зато дает выражение остаточного

¹ Эти формулы в дальнейшем будем называть формулами с коэффициентами α , β и γ .



ченна и выводит критерий сходимости последовательных приближений. Для интегрирования (1) с помощью формулы Tollmien'a необходимо преобразовать его в систему дифференциальных уравнений первого порядка.

В этой работе даны новые формулы⁽¹⁾ (6), (8) и (11) для составления исходной таблицы для интеграла дифференциального уравнения (1) и формулы (9) и (12) для продолжения этой таблицы. Данные общие выражения коэффициентов и выражения для остаточных членов вышеупомянутых формул, частными случаями которых является формула Tollmien'a. Наконец, в работе выводятся достаточные условия сходимости последовательных приближений.

2. Формула с коэффициентами α'

Предположим, что для численного решения (1) пользуемся формулой, содержащей конечные разности порядка r .

Обозначим через $Y_p^{(k)}$ приближенное значение $y^{(k)}(a+ph)$.

Предположим, что значения $Y_{-r}^{(k)}(a-rh)=Y_{-r}^{(k)}$ являются теми значениями $y^{(k)}(x)$, которые известны из начальных условий (2).

Для составления начальной таблицы необходимо иметь формулы для вычисления величин $Y_p^{(k)}=Y^{(k)}(a+ph)$, ($p=-r+1, \dots, -1, 0$).

Чтобы вывести эти формулы, представим $y^{(k)}(x)$ при помощи формулы Тейлора:

$$y^{(k)}(x) = \sum_{i=0}^{n-k-1} (x-a_0)^i \frac{y^{(k+i)}(a_0)}{\lambda!} + \frac{1}{(n-k-1)!} \int_{a_0}^x (x-\zeta)^{n-k-1} y^{(n)}(\zeta) d\zeta, \quad (3)$$

Если в этой формуле подставим $x=a-ph$, $a_0=a-(p+1)h$, $\zeta=a+th$ и $y^{(n)}(a+th)$ заменим, пользуясь интерполяционной формулой Ньютона, будем иметь

$$y^{(k)} = \sum_{i=0}^{n-k-1} \frac{h^i}{\lambda!} y^{(k+i)}_{-p-1} - (-h)^{n-k} \sum_{\lambda=0}^r \alpha'_{\lambda, p} \nabla_{a_0}^{\lambda} y^{(n)} + R, \quad (4)$$

где

$$\alpha'_{\lambda, p} = \frac{1}{\lambda! (n-k-1)!} \int_{-p-1}^{-p} (\mu+t)^{n-k-1} t^{(-\lambda)} dt, \quad (5)$$

$$R = \frac{(-1)^{n-k-1} h^{n+r+1-k}}{(r+1)! (n-k-1)!} \int_{-p-1}^{-p} (\mu+t)^{n-k-1} t^{(-r-1)} y^{(n+r+1)}(a+th) dt.$$

Здесь $t^{(-\lambda)} = t(t+1)\cdots(t+\lambda-1)$ и $\nabla_{a_0}^{\lambda} y^{(n)} = \nabla^{\lambda} y^{(n)}_{-k}$.

⁽¹⁾ Эти формулы мы называем формулами с коэффициентами α' , β' и γ' .

Обозначим через $Y_{-\mu, (v)}^{(k)}$ v -тое приближение $Y_{-\mu}^{(k)}$.

Введем также обозначение

$$F_{-\mu, (v)} = Y_{-\mu, (v)}^{(n)} = f[x - \mu h, Y_{-\mu, (v)}, Y'_{-\mu, (v)}, \dots, Y_{-\mu, (v)}^{(n-1)}].$$

Отбросив остаточный член, формулу (4) можно переписать так:

$$Y_{-\mu, (v+1)}^{(k)} = \sum_{\lambda=0}^{n-k-1} \frac{h^\lambda}{\lambda!} Y_{-\mu-1, (v)}^{(k+1)} - (-h)^{n-k} \sum_{\lambda=0}^r \alpha'_{1, \mu} \nabla_0^\lambda F_{(v)}. \quad (6)$$

Эту формулу мы будем называть формулой с коэффициентами α' . Если каким-либо способом получено для $Y^{(k)}$ нулевое приближение, удовлетворяющее специальному условию¹¹, то первое и остальные приближения получатся при помощи формулы (6).

Для получения нулевого приближения в формулу с коэффициентами α , вместо a подставим $a - (\mu + 1)h$ и r заменим через $r - 1 - \mu$.

Будем иметь:

$$Y_{-\mu, (0)}^{(k)} = \sum_{\lambda=0}^{n-k} \frac{h^\lambda}{\lambda!} Y_{-\mu-1, (0)}^{(k+1)} + h^{n-k} \sum_{\lambda=1}^{r-1-p} \nabla_{-\mu-1}^\lambda F_{(0)}, \quad (7)$$

где $\mu = r - 1, r - 2, \dots, 0$.

Если нулевое приближение, полученное этой формулой, подставим в (6), получим $Y_{-\mu, (1)}^{(k)}$. Вычислив $F_{-\mu, (1)}$ и $\nabla_0^\lambda F_{(1)}$ и воспользовавшись формулой (6) при $v = 1$, получим второе приближение и т. д. Указанный процесс продолжим до тех пор, пока два последующих приближения не совпадут в пределах требуемой точности. Вычисления показывают, что, если $n = 1, k = 0$ и $r = 3$, то (7) дает формулу Tollmien'a.

3. Формула с коэффициентами β'

В формуле (3) положим $x = a - \mu h, a_0 = a - (\mu - 1)h, \zeta = a - th$ и $y^{(n)}(a - th)$ заменим, пользуясь интерполяционной формулой Ньютона. Отбрасывая остаточный член, будем иметь:

$$Y_{-\mu+1, (v+1)}^{(k)} = Y_{-\mu, (v)}^{(k)} - \sum_{\lambda=1}^{n-k-1} \frac{(-h)^\lambda}{\lambda!} Y_{-\mu+1, (v)}^{(k+1)} - (-h)^{n-k} \sum_{\lambda=0}^r \beta'_{1, \mu} \nabla_0^\lambda F_{(v)}, \quad (8)$$

где

$$\beta'_{1, \mu} = \frac{(-1)^\mu}{\lambda! (n-k-1)!} \int_{\mu-1}^{\mu} (\mu-t)^{n-k-1} f^{(k)} dt,$$



$$R = \frac{(-h)^{n-k+r+1}}{(r+1)! (n-k-1)!} \int_{\mu-1}^{\mu} (\mu-t)^{n-k-1} t^{(r+1)} y^{(n)}(a-th) dt.$$

Здесь $t^{(k)} = t(t-1)\cdots(t-\lambda+1)$.

Формулу (8) будем называть формулой с коэффициентами β' .

Если известно исходное приближение $y^{(k)}(x)$, то при помощи формулы (8) можно получить первое и т. д. приближения $Y^{(k)}$. Предполагаем, что исходные приближения и в этом случае вычислены с помощью формулы (7). Если $n=1$, $k=0$ и $r=3$, то (8) даст формулу Tollmien'a.

4. Формулы для продолжения таблицы

В формулу (4) вместо a подставим $a+ih$ и положим $\mu=0$. Отбросив остаточный член, получим формулу, которая применяется для продолжения начальной таблицы итерированием.

Действительно, предположим, что итерированием получено окончательное приближение $Y_{i-1}^{(k)}$, которое обозначим через $\tilde{Y}_{i-1}^{(k)}$; тогда в i -той точке будем иметь:

$$Y_{i,(i+1)}^{(k)} = \sum_{\lambda=0}^{n-k-1} \frac{h^{\lambda}}{\lambda!} \tilde{Y}_{i-1}^{(k+\lambda)} - (-h)^{n-k} \sum_{\lambda=0}^r \alpha'_{\lambda,0} \nabla_i^n F_{(i)}, \quad [i=1, 2, \dots]. \quad (9)$$

Пусть $i=1$ и предположим, что исходное приближение $Y_{1,(0)}^{(k)}$ вычислено при помощи формул с коэффициентами α или $\gamma^{(1)}$, а $\tilde{Y}_0^{(k)}$ вычислено с помощью одной из формул для составления начальной таблицы. Если в (9) положим $\mu=0$, получим первое приближение $Y_{1,(1)}^{(k)}$. Вычислив далее $\nabla_i^n F_{(1)}$ с помощью формулы (9), получим второе приближение и т. д. Как только два последовательных приближения совпадут в пределах требуемой точности, мы прекратим вычисления. Это дает $\tilde{Y}_1^{(k)}$. После этого переходим к вычислению $Y_{2,(0)}^{(k)}$ с помощью формулы III. Е. Микеладзе. Легко убедиться, что $\tilde{Y}_2^{(k)}$ найдется таким же способом, как $\tilde{Y}_1^{(k)}$ и т. д.

Таким образом, мы рассмотрели вопрос продолжения начальной таблицы при помощи формул с коэффициентами α' .

Для продолжения итерированием начальной таблицы можно также применить формулу с коэффициентами β , которая переписывается так⁽²⁾:

$$Y_{i,(r+1)}^{(k)} = \tilde{Y}_{i-1}^{(k)} - \sum_{\lambda=1}^{n-k} \frac{(-h)^\lambda}{\lambda!} Y_{i,(i)}^{(k+\lambda)} - (-h)^{n-k} \sum_{\lambda=1}^r \beta_\lambda \nabla_i^n F_{(i)}. \quad (10)$$

Применение этой формулы аналогично применению формулы (9).

⁽¹⁾ См. [1], стр. 634.

⁽²⁾ См. [1], стр. 631.

5. Формулы с коэффициентами γ'

В формулу (8) вместо γ подставим $\gamma+1$. Полученную формулу сложим с формулой (6) и разделим на 2. Будем иметь:

$$\begin{aligned} Y_{-p, (r+1)}^{(k)} = & Y_{-p-1, (r)}^{(k)} + \frac{1}{2} \sum_{\lambda=1}^{n-k-1} \frac{h^\lambda}{\lambda!} [Y_{-p-1, (r)}^{(k+1)} - (-1)^k Y_{-p, (r)}^{(k+1)}] \\ & - (-h)^{n-k} \sum_{\lambda=0}^r \gamma'_{\lambda, p} \nabla_\theta^\lambda F_{(r)}, \end{aligned} \quad (11)$$

где

$$\gamma'_{\lambda, p} = \frac{\alpha'_{\lambda, p} + \beta'_{\lambda, p+1}}{2}.$$

Такова формула с коэффициентами γ' для составления начальной таблицы.

С помощью (9) и (10) можно получить формулу

$$\begin{aligned} Y_{i, (i+1)}^{(k)} = & \tilde{Y}_{i-1}^{(k)} + \frac{1}{2} \sum_{\lambda=1}^{n-k-1} \frac{h^\lambda}{\lambda!} [\tilde{Y}_{i-1}^{(k+1)} - (-1)^k Y_{i, (i)}^{(k+1)}] \\ & - (-h)^{n-k} \sum_{\lambda=0}^r \gamma'_{\lambda, i} \nabla_i^\lambda F_{(i)} \end{aligned} \quad (12)$$

для продолжения начальной таблицы.

Здесь

$$\gamma'_{\lambda, i} = \frac{\alpha'_{\lambda, i} + \beta_{\lambda, i}}{2}.$$

При $i=1$, $k=0$ и $r=3$, формулы (11) и (12) дают формулы Tollmien'a.

Продолжение таблицы с помощью формулы (12) выполняется таким же способом, как и с помощью формулы (9). При вычислении $Y_i^{(3)}$ посредством (12) не требуется знания значений $Y_i^{(2)}$ в точке с отметкой $>i$. Упомянутое свойство и относительная малость коэффициентов формулы (12) придают этой формуле преимущество по сравнению с формулами, требующими итерации.

6. Существование окончательного приближения

Ниже будет изведено достаточное условие сходимости последовательных приближений.

Для простоты рассуждений рассмотрим уравнение $y'' = f(x, y, y')$ и предположим $r=3$. Полученный при этом результат легко может быть

⁶ См. [1], стр. 631.



обобщен для дифференциального уравнения n -го порядка при любом γ и k для r .

Пусть пользуемся формулой с коэффициентами γ' . В формулах (11) и (12) конечные разности заменим согласно известной зависимости:

$$\nabla_i^k F_{(v)} = F_{i, (v)} - \binom{k}{1} F_{i-1, (v)} + \cdots + (-1)^k \binom{k}{k} F_{i-k, (v)}. \quad (13)$$

Доказательство существования окончательного приближения для $Y_{i, (v+1)}^{(k)}$ сводится к доказательству сходимости процесса итерации для системы, полученной в результате преобразований (11) и (12) с помощью (13) и замены переменных, следя соотношениям вида:

$$\begin{aligned} v_1 &= \tilde{Y}_{-2} - Y_{-2}, \quad v_2 = \tilde{Y}_{-1} - \tilde{Y}_{-2}, \quad v_3 = \tilde{Y}_0 - \tilde{Y}_{-1}, \\ v_4 &= \tilde{Y}_{-2} - Y_{-2} - \frac{h}{2} (Y_{-2} + \tilde{Y}_{-2}), \quad v_5 = \tilde{Y}_{-1} - \tilde{Y}_{-2} - \frac{h}{2} (\tilde{Y}_{-2} + \tilde{Y}_{-1}), \\ v_6 &= \tilde{Y}_0 - \tilde{Y}_{-1} - \frac{h}{2} (\tilde{Y}_{-1} + \tilde{Y}_0). \end{aligned}$$

После преобразования наша система запишется так:

$$v_j = \varphi_j(v_1, v_2, v_3, v_4, v_5, v_6), \quad (j=1, 2, \dots, 6). \quad (14)$$

Условие сходимости процесса итерации для этой системы заключается в следующем:

$$\sum_{j=1}^6 \left| \frac{\partial \varphi_j}{\partial v_l} \right| < 1, \quad (l=1, 2, \dots, 6). \quad (15)$$

Вычисления показывают, что условие (15) в нашем случае принимает вид:

$$\frac{85}{24} hM + \frac{3352}{720} h^2 M + \frac{797}{1440} h^3 M < 1, \quad (16)$$

где M —наибольшее число из $\left| \frac{\partial f}{\partial y} \right|_{\max}$ и $\left| \frac{\partial f}{\partial y'} \right|_{\max}$ в промежутке (x_{-2}, x_0) .

Аналогичные рассуждения показывают, что условие сходимости процесса для формулы (12) имеет вид:

$$\frac{9}{24} hM + \frac{194}{720} h^2 M + \frac{59}{1440} h^3 M < 1. \quad (17)$$

Здесь M обозначает наибольшее из $\left| \frac{\partial f}{\partial y} \right|_{\max}$ и $\left| \frac{\partial f}{\partial y'} \right|_{\max}$ в соответствующем промежутке.



Заметим, наконец, что хотя величина M , фигурирующая в выражении (16) или (17), нам неизвестна, однако во многих случаях практически возможно взять вместо M наибольшую из величин $\left| \frac{\partial f}{\partial y} \right|$ и $\left| \frac{\partial f}{\partial y'} \right|$, которые могут быть вычислены из таблицы.

7. Пример

Рассмотрим уравнение⁶⁾:

$$y'' = -y - 0,1 t y' - 0,1 y^2.$$

Пусть ищется интеграл этого уравнения, удовлетворяющий начальным условиям: при $t=0$, $y=1$ м, $y'=2$ м/сек.

Искомый интеграл вычислим для $0 \leq t \leq 1,1$ при помощи наших формул.

Для сравнения наших приближений с точными значениями искомого интеграла, нам пришлось разбить основной промежуток интегрирования на два: $(0; 0,4)$ и $(0,4; 1,1)$ и вывести для каждого из этих промежутков разложение y с помощью формулы Тейлора.

В интервале $(0; 0,4)$ нами был учтен член, содержащий t^8 , а в интервале $(0,4; 1,1)$ — t^{10} .

Окончательные приближения, полученные после третьей итерации, приведены ниже:

t	i	По нашим формулам			По ряду		
		y	y'	y''	y	y'	y''
0.0	-3	1.000000	2.000000	-1.400000	1.000000	2.000000	-1.400000
0.1	-2	1.192748	1.852505	-1.547852	1.192748	1.852505	-1.547853
0.2	-1	1.370028	1.690842	-1.683324	1.370029	1.690842	-1.683324
0.3	0	1.530485	1.516257	-1.806304	1.530486	1.516257	-1.806304
0.4	1	1.672890	1.330002	-1.916696	1.672891	1.330002	-1.916697
0.5	2	1.796139	1.133341	-2.014392	1.796140	1.133341	-2.014392
0.6	3	1.899255	0.927551	-2.099246	1.899255	0.927552	-2.099245
0.7	4	1.981389	0.713926	-2.171055	1.981389	0.713927	-2.171055
0.8	5	2.041823	0.493784	-2.229531	2.041823	0.493784	-2.229532
0.9	6	2.079973	0.268472	-2.274378	2.079973	0.268472	-2.274378
1.0	7	2.095391	0.039380	-2.305085	2.095392	0.039379	-2.305085
1.1	8	2.087771	-0.192056	-2.321114	2.087771	-0.192056	-2.321114

Считаю своим приятным долгом выразить глубокую благодарность Ш. Е. Микаладзе за повседневное руководство и внимание, которое он оказывал мне во время выполнения этой работы.

Академия Наук Грузинской ССР
Тбилисский Математический Институт

(Поступило в редакцию 6.8.1941)

⁶⁾ См. [6], стр. 338.



III. ცხადათა

ჩვეულების დიფერენციალური განზოღვების რიცხვითი
აზოვნის შესახებ

რეზერვი

ამ შრომაში მოცემულია (1) განტოლების აზოვნისათვის საწყისი ცხრილის შესაღები ფორმულები (6), (8) და (11), რომელთა კურძო შემთხვევას წარმოადგენს Tollmien-ის [5] ფორმულა.

მოცემულია ალნიშნულ ფორმულებში შემავალ კოეფიციენტთა და ნაშთის გამოსახვები. გარდა ამისა, გამოყვანილია ცხრილის გასაგრძელებელი ფორმულები (9) და (12), რომლებიც გამოიყენებიან იტერატორით.

მოცემულია იტერატორის პროცესის კრებადობის საჭიაროსი პირობები.

საქართველოს სსრ მეცნიერებათა აკადემია
თბილისის მათემატიკური ინსტიტუტი

ШТИРОВАННАЯ ЛИТЕРАТУРА—(05060607070) ლიტერატურა

1. III. E. Mikeladze. Ob integriruvanii differentsialnykh uravnenii raznostnym metodom. Izv. AN SSSR, seriya matem., № 5—6, 1939.
2. V. M. Falkner. A method of numerical solution of differential equations. Phil. Mag., vol. 21, № 141, 1932.
3. A. N. Volokhov. Raznostnye metody chislennogo integriruvanija obyknovennykh differentsialnykh uravnenij. Trudy TGAU, выпуск 314, 1937.
4. B. P. Vetchinkin. Metoda priближennego i chislennogo integriruvanija obyknovennykh differentsialnykh uravnenij. Trudy TGAU, выпуск III, 1935.
5. W. Tollmien. Über die Fehlerabschätzung beim Adamsschen Verfahren zur Integration gewöhnlicher Differentialgleichungen. Zeitschr. für angew. Math. und Mech. B. 18-N. 1. 1938.
6. A. N. Krylov. Lekcii o priближенных вычислениях. Izd. AN SSSR, 1933.

ТЕОРИЯ УПРУГОСТИ

А. К. РУХАДЗЕ

ИЗГИБ ПОПЕРЕЧНОЙ СИЛОЙ РАСТЯНУТОГО ПРИЗМАТИЧЕСКОГО СТЕРЖНЯ

1. Во многих задачах техники часто приходится изучать взаимное влияние двух напряженных состояний.

Если оставаться в рамках линейной теории упругости, то, в силу принципа наложения отдельных решений, возможность такого взаимного влияния а priori исключается.

Так, например, при помощи линейной теории упругости не может быть замечено сокращение длины сильно закрученного стержня и др.

Используя метод нелинейной теории упругости, изложенный в работах Мернажана [1], Зволянского и Риза [2], можно изучить взаимодействие, вызванное различными нагрузками.

В одной из своих работ П. М. Риз [3] изучает действие, вызванное растягивающей силой на изгиб стержня парой.

В настоящей заметке мы изучаем влияние, которое оказывает наличие растягивающей силы на изгиб стержня поперечной силой.

2. Для решения задачи понадобятся некоторые формулы нелинейной теории упругости; мы их приводим здесь.

Зависимость между компонентами тензоров деформации и напряжения для окончательного состояния тела в декартовых координатах x, y, z имеет вид:

$$\epsilon_{xx} = \frac{\partial u}{\partial x} - \frac{1}{2} \left[\left(\frac{\partial u}{\partial x} \right)^2 + \left(\frac{\partial v}{\partial x} \right)^2 + \left(\frac{\partial w}{\partial x} \right)^2 \right], \quad (1)$$

$$\epsilon_{xy} = \frac{1}{2} \left(\frac{\partial u}{\partial y} + \frac{\partial v}{\partial x} \right) - \frac{1}{2} \left[\frac{\partial u}{\partial x} \frac{\partial u}{\partial y} + \frac{\partial v}{\partial x} \frac{\partial v}{\partial y} + \frac{\partial w}{\partial x} \frac{\partial w}{\partial y} \right],$$

$$X_x = (\lambda + 2\mu) \epsilon_{xx} + \lambda (\epsilon_{yy} + \epsilon_{zz}) + \frac{3}{2} (\lambda + 2\mu) \epsilon_{xx}^2 + \frac{\lambda}{2} (\epsilon_{yy}^2 + \epsilon_{zz}^2) - (\lambda + 2\mu) (\epsilon_{yy} + \epsilon_{zz}) \epsilon_{xx} - 2\lambda \epsilon_{yy} \epsilon_{xz} + (3\lambda + 5\mu) (\epsilon_{yy}^2 + \epsilon_{zz}^2) + 3\lambda \epsilon_{yy}^2, \quad (2)$$

$$X_y = 2\mu \epsilon_{xy} + (\lambda + 3\mu) (\epsilon_{xx} + \epsilon_{yy}) \epsilon_{xy} + (\lambda - 2\mu) \epsilon_{xx} \epsilon_{yy} + 5\mu \epsilon_{xx} \epsilon_{yy},$$



Формулы (1) впервые были указаны Файлоном, а формулы (2) — Народицким на ханом; постоянные, входящие в эти последние, определены по гипотезе Риза — Зволянского.

3. Пусть имеем цилиндрическое тело, закрепленное одним основанием. Поместим начало координат в центре инерции этого основания, ось Oz направим параллельно образующим цилиндра, а оси $O\bar{x}$ и $O\bar{y}$ направим по главным осям инерции упомянутого основания. Будем полагать, что боковая поверхность цилиндра свободна от внешних усилий, а усилия, действующие на незакрепленное основание, статически эквивалентны совокупности растягивающей силы F , весьма большой величины, направленной по оси Oz и изгибающей силы W , приложенной к центру инерции этого основания и направленной параллельно оси $O\bar{x}$.

При указанных условиях вопрос сводится к следующей математической задаче:

Требуется найти компоненты напряжения X_x, \dots, Y_z , удовлетворяющие в области, занятой телом, однородным уравнением равновесия

$$\frac{\partial X_x}{\partial x} + \frac{\partial X_y}{\partial y} + \frac{\partial X_z}{\partial z} = 0, \quad (3)$$

• • • • •

условиям совместности и граничным условиям

$$X_x \cos \pi \bar{x} + X_y \cos \pi \bar{y} + X_z \cos \pi \bar{z} = 0, \quad (4)$$

• • • • •

на боковой поверхности, где $\cos \pi \bar{x}, \cos \pi \bar{y}$ и $\cos \pi \bar{z}$ — направляющие косинусы нормали деформированной поверхности.

Как известно, решение поставленной задачи в линейной теории упругости в смещениях имеет вид:

$$\begin{aligned} u &= -\alpha \tau \bar{x} - \tau \eta \bar{z} + \nu \left[\frac{1}{2} \sigma (l - \bar{z}) (\bar{z}^2 - \eta^2) + \frac{1}{2} I_{\eta}^2 - \frac{1}{6} \bar{z}^2 \right], \\ v &= -\alpha \tau \eta + \tau \bar{z} \bar{z} + \nu (l - \bar{z}) \alpha \bar{z} \eta, \\ w &= \alpha \bar{z} + \tau \bar{z} (\bar{z}, \eta) - \nu \left[\bar{z} \left(I_{\eta} - \frac{1}{2} \bar{z}^2 \right) + \chi (\bar{z}, \eta) + \bar{z} \eta^2 \right], \end{aligned} \quad (5)$$

где τ — крутизна, $\alpha = \frac{F}{ES}$, $\nu = \frac{W}{IE}$, I — момент инерции сечения относительно оси, проходящей через центр инерции и параллельной оси $O\bar{y}$, E — модуль Юнга.

Мы будем предполагать постоянные τ и ν малыми в классическом смысле, но относительно величины α этого предполагать не будем, а именно будем учитывать члены порядков α^2 , $\alpha\tau$ и $\alpha\nu$.

Последнее предположение физически означает изгиб стержня поперечной силой, сопровождаемый сильным растяжением.

В соответствии с этим, решение поставленной нелинейной задачи будем искать в следующем виде:

$$\begin{aligned} u &= -\alpha\sigma\zeta - \tau\eta\zeta + \nu \left[\frac{1}{2}\sigma(l-\zeta)(\xi^2 - \eta^2) + \frac{1}{2}l\zeta^2 - \frac{1}{6}\zeta^3 \right] + \alpha^2u_1 + \alpha\tau u_2 + \alpha\nu u_3, \\ v &= -\alpha\sigma\eta + \tau\xi\zeta + \nu(l-\zeta)\sigma\zeta\eta + \alpha^2v_1 + \alpha\tau v_2 + \alpha\nu v_3, \end{aligned} \quad (6)$$

$$w = \alpha\zeta + \tau\varphi(\xi, \eta) - \nu \left[\xi \left(l\zeta - \frac{1}{2}\zeta^2 \right) + \chi(\xi, \eta) + \xi\eta^2 \right] + \alpha^2w_1 + \alpha\tau w_2 + \alpha\nu w_3,$$

где $u_1, u_2, u_3, \dots, u_n$ — искомые функции, выражающие вторичные эффекты деформации; мы будем их определять как функции от ξ , η и ζ .

Пользуясь формулами преобразования для производных:

$$\frac{\partial}{\partial x} = \left(1 - \frac{\partial u}{\partial \xi} \right) \frac{\partial}{\partial \xi} - \frac{\partial v}{\partial \xi} \frac{\partial}{\partial \eta} - \frac{\partial w}{\partial \xi} \frac{\partial}{\partial \zeta}, \quad (7)$$

• • • • • • • • • •

на основании формул (2), будем иметь для компонентов деформации с указанной выше точностью

$$\begin{aligned} \epsilon_{xx} &= -\alpha\sigma + \nu\sigma(l-\zeta) \xi - \frac{3}{2}\alpha^2\sigma^2 + 3\alpha\nu\sigma^2(l-\zeta) \xi + \alpha^2 \frac{\partial u_1}{\partial \xi} + \alpha\tau \frac{\partial u_2}{\partial \xi} + \alpha\nu \frac{\partial u_3}{\partial \xi}, \\ \epsilon_{yy} &= -\alpha\sigma + \nu\sigma(l-\zeta) \eta - \frac{3}{2}\alpha^2\sigma^2 + 3\alpha\nu\sigma^2(l-\zeta) \eta + \alpha^2 \frac{\partial v_1}{\partial \eta} + \alpha\tau \frac{\partial v_2}{\partial \eta} + \alpha\nu \frac{\partial v_3}{\partial \eta}, \\ \epsilon_{zz} &= \alpha - \nu(l-\zeta) \xi - \frac{3}{2}\alpha^2 + 3\alpha\nu(l-\zeta) \xi + \alpha^2 \frac{\partial w_1}{\partial \xi} + \alpha\tau \frac{\partial w_2}{\partial \xi} + \alpha\nu \frac{\partial w_3}{\partial \xi}, \\ \epsilon_{xy} &= \frac{1}{2}\alpha^2 \left(\frac{\partial u_1}{\partial \eta} + \frac{\partial v_1}{\partial \xi} \right) + \frac{1}{2}\alpha\tau \left(\frac{\partial u_2}{\partial \eta} + \frac{\partial v_2}{\partial \xi} \right) + \frac{1}{2}\alpha\nu \left(\frac{\partial u_3}{\partial \eta} + \frac{\partial v_3}{\partial \xi} \right), \\ \epsilon_{xz} &= \frac{1}{2}\tau (\varphi'_\xi - \eta) - \frac{1}{2}\nu \left[\chi'_\xi + \frac{1}{2}\sigma(\xi^2 - \eta^2) + \eta^2 \right] + \frac{1}{2}\alpha\tau(\sigma - 2)(\varphi'_\xi - \eta) \\ &\quad - \frac{1}{2}\alpha\nu(\sigma - 2) \left[\chi'_\xi + \frac{1}{2}\sigma(\xi^2 - \eta^2) + \eta^2 \right] - \frac{1}{2}\alpha\tau(\sigma + 1)\eta - \frac{1}{4}\alpha\nu\sigma(\sigma + 1)(\xi^2 - \eta^2) \end{aligned} \quad (8)$$



$$+\frac{1}{2}\alpha\nu(\sigma+1)\left(L_{\eta}-\frac{1}{2}\zeta^2\right)+\frac{1}{2}\alpha^2\left(\frac{\partial u_1}{\partial\zeta}+\frac{\partial w_1}{\partial\bar{\zeta}}\right) \quad (8)$$

$$+\frac{1}{2}\alpha\tau\left(\frac{\partial u_2}{\partial\zeta}+\frac{\partial w_2}{\partial\bar{\zeta}}\right)+\frac{1}{2}\alpha\nu\left(\frac{\partial u_2}{\partial\zeta}+\frac{\partial w_2}{\partial\bar{\zeta}}\right),$$

$$c_{yy}=\frac{1}{2}\tau(\varphi'_y+\xi)-\frac{1}{2}\nu[\chi'_y+(\sigma+2)\xi\eta]+\frac{1}{2}\alpha\tau(\sigma-2)(\varphi'_y+\xi)$$

$$-\frac{1}{2}\alpha\nu(\sigma-2)[\chi'_y+(\sigma+2)\xi\eta]+\frac{1}{2}\alpha\tau(\sigma+1)\xi-\frac{1}{2}\alpha\nu\sigma(\sigma+1)\xi\eta$$

$$+\frac{1}{2}\alpha^2\left(\frac{\partial v_1}{\partial\zeta}+\frac{\partial w_1}{\partial\eta}\right)+\frac{1}{2}\alpha\tau\left(\frac{\partial v_2}{\partial\zeta}+\frac{\partial w_2}{\partial\eta}\right)+\frac{1}{2}\alpha\nu\left(\frac{\partial v_2}{\partial\zeta}+\frac{\partial w_2}{\partial\eta}\right),$$

соответственно с этим по формулам (2) находим:

$$X_x=\alpha^2 X'_x+\alpha\tau X''_x+\alpha\nu X'''_x, \quad Y_y=\alpha^2 Y'_y+\alpha\tau Y''_y+\alpha\nu Y'''_y, \quad X_y=\alpha X'_y+\alpha\tau X''_y+\alpha\nu X'''_y,$$

$$\begin{aligned} X_x &= \mu\tau(\varphi_{\xi}-\eta)-\nu\nu\left[\chi'_\xi+\frac{1}{2}\sigma(\xi^2-\eta^2)+\eta^2\right]-\alpha\tau\frac{3\sigma-1}{2}\mu(\varphi'_\xi-\eta) \\ &\quad -\alpha\nu\frac{3\sigma-1}{2}\mu\left[\chi'_\xi+\frac{1}{2}\sigma(\xi^2-\eta^2)+\eta^2\right]-\alpha\tau\mu(\sigma+1)\eta-\frac{1}{2}\alpha\nu\sigma(\sigma+1)\mu(\xi^2-\eta^2) \\ &\quad +\alpha\nu\mu\left(L_\xi-\frac{1}{2}\zeta^2\right)+\alpha X'_x+\alpha\tau X''_x+\alpha\nu X'''_x, \end{aligned} \quad (9)$$

$$Y_x=\mu\tau(\varphi'_y+\xi)-\nu\mu[\chi'_y+(\sigma+2)\xi\eta]$$

$$\begin{aligned} &+\alpha\tau\frac{3\sigma-1}{2}\mu(\varphi'_y+\xi)-\alpha\nu\frac{3\sigma-1}{2}\mu[\chi'_y+(\sigma+2)\xi\eta]+\alpha\tau\mu(\sigma+1)\xi \\ &-\alpha\nu\mu\sigma(\sigma+1)\xi\eta+\alpha^2 Y'_x+\alpha\tau Y''_x+\alpha\nu Y'''_x, \end{aligned}$$

$$Z_x=E\alpha-\nu B(l-\zeta)\xi+4\mu(\sigma+1)\alpha\alpha^2-8\mu(\sigma+1)\alpha\nu(l-\zeta)\xi+\alpha^2 Z'_x+\alpha\tau Z''_x+\alpha\nu Z'''_x.$$

Уравнения равновесия, на основе формул (7) и (9), принимают вид:

$$\alpha^2\left[\frac{\partial X'_x}{\partial\zeta}+\frac{\partial X''_x}{\partial\eta}+\frac{\partial X'''_x}{\partial\bar{\zeta}}\right]+\alpha\tau\left[\frac{\partial X''_x}{\partial\bar{\zeta}}+\frac{\partial X'''_x}{\partial\eta}+\frac{\partial X'''_x}{\partial\zeta}\right]=0,$$

$$+\alpha\nu\left[\frac{\partial X'''_x}{\partial\zeta}+\frac{\partial X'''_x}{\partial\eta}+\frac{\partial X'''_x}{\partial\bar{\zeta}}+\mu(1+\sigma)(l-\zeta)\right]=0,$$

$$\alpha^2\left[\frac{\partial Y'_y}{\partial\xi}+\frac{\partial Y''_y}{\partial\eta}+\frac{\partial Y'''_y}{\partial\bar{\zeta}}\right]+\alpha\tau\left[\frac{\partial Y''_y}{\partial\bar{\zeta}}+\frac{\partial Y'''_y}{\partial\eta}+\frac{\partial Y'''_y}{\partial\xi}\right]$$

$$\begin{aligned}
 & + \alpha \nu \left[\frac{\partial Y_x''}{\partial \xi} + \frac{\partial Y_y''}{\partial \eta} + \frac{\partial Y_z''}{\partial \zeta} \right] = 0, \\
 & \alpha^2 \left[\frac{\partial Z_x''}{\partial \xi} + \frac{\partial Z_y''}{\partial \eta} + \frac{\partial Z_z''}{\partial \zeta} \right] + \alpha \tau \left[\frac{\partial Z_x''}{\partial \xi} + \frac{\partial Z_y''}{\partial \eta} + \frac{\partial Z_z''}{\partial \zeta} \right] \\
 & + \alpha \nu \left[\frac{\partial Z_x''}{\partial \xi} + \frac{\partial Z_y''}{\partial \eta} + \frac{\partial Z_z''}{\partial \zeta} + (\tau^2 - 1) \xi \right] = 0.
 \end{aligned} \tag{10}$$

Границные условия (4), если учесть формулы

$$\begin{aligned}
 \cos \widehat{n, x} &= K [\cos \alpha + [\alpha \sigma - \nu \tau (l - \zeta) \xi] \cos \alpha - [\tau \zeta + \nu \tau (l - \zeta) \eta] \cos \beta], \\
 \cos \widehat{n, y} &= K [\cos \beta + [\alpha \sigma - \nu \tau (l - \zeta) \xi] \cos \beta + [\tau \zeta + \nu \tau (l - \zeta) \eta] \cos \alpha], \\
 \cos \widehat{n, z} &= K \left\{ \nu \eta \cos \alpha + \nu \left[\frac{1}{2} \tau (\xi^2 - \eta^2) - \left(E_\eta - \frac{1}{2} \nu \zeta^2 \right) \right] \cos \alpha - [\tau \xi - \nu \sigma \xi \eta] \cos \beta \right\},
 \end{aligned} \tag{11}$$

выражающие с принятой точностью направляющие косинусы нормали к деформированной поверхности через направляющие косинусы нормали к недеформированной поверхности, принимают вид:

$$\begin{aligned}
 & \alpha^2 [X_x' \cos \alpha + X_y' \cos \beta] + \alpha \tau [X_x'' \cos \alpha + X_y'' \cos \beta] + \alpha \nu [X_x''' \cos \alpha + X_y''' \cos \beta] = 0, \\
 & \alpha^2 [Y_x' \cos \alpha + Y_y' \cos \beta] + \alpha \tau [Y_x'' \cos \alpha + Y_y'' \cos \beta] + \alpha \nu [Y_x''' \cos \alpha + Y_y''' \cos \beta] = 0, \\
 & \alpha^2 [Z_x' \cos \alpha + Z_y' \cos \beta] + \alpha \tau [Z_x'' \cos \alpha + Z_y'' \cos \beta] + \alpha \nu [Z_x''' \cos \alpha + Z_y''' \cos \beta] \\
 & + \alpha \tau \mu (\sigma + 1) (\eta \cos \alpha - \xi \cos \beta) + \frac{1}{2} \alpha \nu \mu \tau (\sigma + 1) (\xi^2 - \eta^2) \cos \alpha \\
 & - \alpha \nu \mu (\sigma + 1) \left(E_\eta - \frac{1}{2} \nu \zeta^2 \right) \cos \alpha + \alpha \nu \mu \tau (\sigma + 1) \xi \eta \cos \beta = 0.
 \end{aligned} \tag{12}$$

К этим условиям следует также присоединить условия совместности, которые в нашем случае имеют вид:

$$\begin{aligned}
 & \alpha^2 \left[\Delta X_x' + \frac{1}{1+\sigma} \frac{\partial^2 T'}{\partial \xi^2} \right] + \alpha \tau \left[\Delta X_x'' + \frac{1}{1+\sigma} \frac{\partial^2 T''}{\partial \xi^2} \right] \\
 & + \alpha \tau \left[\Delta X_x''' + \frac{1}{1+\sigma} \frac{\partial^2 T'''}{\partial \xi^2} \right] + 0, \\
 & \alpha^2 \left[\Delta Y_x' + \frac{1}{1+\sigma} \frac{\partial^2 T'}{\partial \eta^2} \right] + \alpha \tau \left[\Delta Y_x'' + \frac{1}{1+\sigma} \frac{\partial^2 T''}{\partial \eta^2} \right] \\
 & + \alpha \nu \left[\Delta Y_x''' + \frac{1}{1+\sigma} \frac{\partial^2 T'''}{\partial \eta^2} \right] + 0,
 \end{aligned} \tag{13}$$

$$\begin{aligned}
 & \alpha^2 \left[\Delta Z'_x + \frac{1}{1+\sigma} \frac{\partial^2 T'}{\partial \zeta^2} \right] + \alpha\tau \left[\Delta Z'_x + \frac{1}{1+\sigma} \frac{\partial^2 T''}{\partial \zeta^2} \right] \\
 & + \alpha\tau \left[\Delta Z'''_x + \frac{1}{1+\sigma} \frac{\partial^2 T'''}{\partial \zeta^2} \right] = 0, \\
 & \alpha^2 \left[\Delta X'_y + \frac{1}{1+\sigma} \frac{\partial^2 T'}{\partial \xi \partial \eta} \right] + \alpha\tau \left[\Delta X'_y + \frac{1}{1+\sigma} \frac{\partial^2 T''}{\partial \xi \partial \eta} \right] \\
 & + \alpha\tau \left[\Delta X'''_y + \frac{1}{1+\sigma} \frac{\partial^2 T'''}{\partial \xi \partial \eta} \right] = 0, \\
 & \alpha^2 \left[\Delta X'_z + \frac{1}{1+\sigma} \frac{\partial^2 T'}{\partial \xi \partial \zeta} \right] + \alpha\tau \left[\Delta X'_z + \frac{\partial^2 T''}{\partial \xi \partial \zeta} \right] \\
 & + \alpha\tau \left[\Delta X'''_z + \frac{1}{1+\sigma} \frac{\partial^2 T'''}{\partial \xi \partial \zeta} + \mu(\sigma-2)(\sigma+1) \right] = 0, \\
 & \alpha^2 \left[\Delta Y'_z + \frac{1}{1+\sigma} \frac{\partial^2 T'}{\partial \eta \partial \zeta} \right] + \alpha\tau \left[\Delta Y'_z + \frac{1}{1+\sigma} \frac{\partial^2 T''}{\partial \eta \partial \zeta} \right] \\
 & + \alpha\tau \left[\Delta Y'''_z + \frac{1}{1+\sigma} \frac{\partial^2 T'''}{\partial \eta \partial \zeta} \right] = 0.
 \end{aligned} \tag{13}$$

Зададимся следующими напряжениями:

$$\begin{aligned}
 X_x &= \alpha\nu 2\lambda(1+\sigma)(l-\zeta)\xi + \alpha\nu\tau_{11}, \quad X_y = -\alpha\nu 2(\lambda+\mu)(1+\sigma)(l-\zeta)\eta + \alpha\nu\tau_{12}, \\
 Y_y &= \alpha\nu 2\lambda(1+\sigma)(l-\zeta)\xi + \alpha\nu\tau_{22}, \\
 Z_z &= \alpha\nu 2(\lambda+2\mu)(1+\sigma)(l-\zeta)\xi + \alpha\nu\mu(1+\sigma)^2(l-\zeta)\xi + \alpha\nu\tau_{33},
 \end{aligned} \tag{14}$$

$$\begin{aligned}
 X_x &= -\alpha\tau\mu(1+\sigma)\varphi'_\xi + \alpha\tau(1+\sigma) \left[\mu\chi'_\xi + (\lambda+2\mu)(\eta^2+\xi^2) - \frac{l}{2} |\nu\zeta\eta|^2 \right] \\
 & + \alpha\nu\mu(1+\sigma) \left(E_\eta - \frac{1}{2}\zeta^2 \right) + \alpha\nu\tau_{12}, \\
 Y_x &= -\alpha\tau\mu(1+\sigma)\varphi'_\eta + \alpha\tau(1+\sigma)[\mu\chi'_\eta + 2\mu\xi\eta] + \alpha\nu\tau_{22}
 \end{aligned}$$

$$(T = \alpha\nu 2(1+\sigma)(3\lambda+2\mu)(l-\zeta)\xi + \alpha\nu\mu(1+\sigma)^2(l-\zeta)\xi + \alpha\nu T^{(3)}).$$

Легко можно проверить, что система напряжений τ_{11} , τ_{22} , ..., τ_{33} будет удовлетворять однородным уравнениям равновесия, однородным уравнениям совместности и следующим граничным условиям:

$$\begin{aligned}
 \tau_{11} \cos \alpha + \tau_{13} \cos \beta + (l-\zeta) X_n &= 0, \\
 \tau_{31} \cos \alpha + \tau_{33} \cos \beta + (l-\zeta) Y_n &= 0, \\
 \tau_{21} \cos \alpha + \tau_{31} \cos \beta + Z_n &= 0,
 \end{aligned} \tag{15}$$



где

$$\begin{aligned} X_n &= 2(1+\sigma)[\lambda \xi \cos \alpha - (\lambda + \mu) \eta \cos \beta], \\ Y_n &= 2(1+\sigma)[\lambda \xi \cos \beta - (\lambda + \mu) \eta \cos \alpha]. \end{aligned} \quad (16)$$

Определение функций $\tau_{11}, \dots, \tau_{33}$ можно провести по методу, указанному E. Almansi [4], или аналогично тому, как это мною было сделано в работе [5].

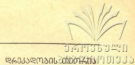
Напряжения X_x, \dots, Y_y на торцевой поверхности $\zeta = l$, вообще говоря, не будут удовлетворять требуемым условиям. Поэтому, чтобы удовлетворить этим условиям, следует к полученному решению добавить решение некоторой задачи Сен-Венана, нейтрализующее лишние напряжения на указанной торцевой поверхности.

4. В качестве примера рассмотрим случай, когда поперечное сечение S цилиндра — круг радиуса R . В этом случае, как легко проверить, будем иметь:

$$\begin{aligned} \tau_{11} &= \left[\frac{2\sigma+5}{6}\mu - 2(1+\sigma)\lambda \right] \xi(l-\zeta) - \frac{1}{R^2} \mu \left(\frac{2\sigma+5}{6} \xi^2 - \frac{2\sigma-1}{2} \eta^2 \xi \right) (l-\zeta), \\ \tau_{22} &= \left[\frac{2\sigma-1}{2}\mu - 2(1+\sigma)\lambda \right] \xi(l-\zeta) - \frac{1}{R^2} \mu \left(\frac{2\sigma-1}{6} \xi^2 - \frac{2\sigma+1}{2} \eta^2 \xi \right) (l-\zeta), \\ \tau_{33} &= -(1+\sigma) \left[\frac{2}{3}(4\sigma+9)\mu + 4\lambda\sigma \right] \xi(l-\zeta) + \frac{1}{R^2} \mu(\sigma+2)(\xi^2 + \xi\eta^2)(l-\zeta) \\ &\quad - \frac{1}{R^2} \frac{4}{3}(\sigma+1)\mu\xi(l-\zeta)^2, \\ \tau_{12} &= \left[\frac{10\sigma+13}{6}\mu + 2(1+\sigma)\lambda \right] \eta(l-\zeta) - \frac{1}{R^2} \mu \left(\frac{2\sigma+1}{2} \xi^2 \eta - \frac{2\sigma-1}{6} \eta^3 \right) (l-\zeta), \\ \tau_{13} &= \frac{1}{R^2} \mu \left[\frac{2\sigma+3}{2}(R^2 - \xi^2) + \frac{2\sigma-1}{2} \eta^2 \right] (l-\zeta)^2 \\ &\quad + \frac{1}{R^2} \mu \left(\frac{2\sigma+5}{12} \xi^3 + \frac{1}{2} \xi^2 \eta^2 - \frac{2\sigma-1}{12} \eta^4 \right) - \left[(1+\sigma)\lambda + \frac{5\mu\sigma^2 + 5\mu\sigma + 27\mu}{24} \right] \eta^2 \\ &\quad + \frac{5\mu\sigma^2 - 27\mu\sigma - 65\mu - 36\lambda}{24} \frac{\xi^2}{R^2} - \frac{5\mu\sigma^2 + \mu\sigma - 7\mu}{24}, \\ \tau_{23} &= -\frac{1}{R^2} \mu(2\sigma+1) \xi \eta (l-\zeta)^2 + \frac{11\mu\sigma^2 - 5\mu\sigma - 7\mu}{12} \xi \eta + \frac{1}{R^2} \mu \frac{(\sigma+1)}{3} (\xi^2 \eta + \xi \eta^2). \end{aligned} \quad (17)$$

Академия Наук Грузинской ССР
Тбилисский Математический Институт

(Поступило в редакцию 21.8.1941)



ა. რუხაძე

გაციმული ძლის განვითარების დაცვა

რეზემი

დრეკადობის წრფივ თეორიაში წინამერად გამოიკიცულია ძელები ცალკეული დეფორმაციების ურთიერთმოქმედება; ამიტომა, რომ დრეკადობის წრფივ თეორიაში შეუმნიკელი რჩება ისეთი ფაქტი, რომელიცაა ძელის საქმიად დაგრძელების შედეგად მისი სიგრძის დამოულება და სხვა. თუ კისარგებლებით დრეკადობის არა წრფივი თეორიის შეთქმებით, რომელიც მოცემულია მერნაბის, რიჩის და ზეოლინსკის შრომებში [1, 2, 3], შესაძლებელი ხდება შესწავლილი იქნას ძელის სხედასხევა სახის დეფორმაციის ურთიერთმოქმედება. წინამდებარე შრომებში მოცემულია ის ურთიერთმოქმედება, რომელსაც იწვევს საქმიად დიდი ძალით დაჭიმული ძელის განვითარების დაცვა.

საქართველოს სსრ მეცნიერებათა აკადემია
თბილისის მათემატიკური ინსტიტუტი

ЦИТИРОВАННАЯ ЛИТЕРАТУРА—ციტირები ლიტერატურა

1. F. Murnaghan. Finite deforizations of elastic solid. Amer. Journ. of Math. LIX, No 2, 1937.
2. Н. В. Зволинский и П. М. Риц. О законе Гука для конечных смещений. Известия АН СССР. Отделение технических наук, № 8—9, 1938.
3. П. М. Риц. Изгиб пристянутого призматического стержня. Прикладная математика и механика, т. III, вып. 3, 1939.
4. E. Almansi. Sopra la deformazione dei cilindri sollecitati lateralmente. Rend. Ac. Lincei s. 5, t. X, 1901.
5. А. К. Рухадзе. Задача изгиба тел, близких к призматическим; печатается в журнале «Прикладная математика и механика», т. 5, вып. 5, 1941.

ФИЗИКА

В. И. МАМАСАХЛИСОВ

ВНУТРЕННЯЯ КОНВЕРСИЯ НА L -ОБОЛОЧКЕ, ОБУСЛОВЛЕННАЯ
МАГНИТНЫМ ИЗЛУЧЕНИЕМ ЯДРА

Известно, что в отдельных случаях ядро может находиться в возбужденном состоянии, отличающемся от нормального на несколько единиц в угловом моменте Ih^1 , чем и объясняется, согласно Вайдзекеру [1], наличие метастабильных состояний ядра с большой продолжительностью жизни. В рассматриваемом случае переход ядра в нормальное состояние с испусканием γ -кванта сильно запрещен. Однако, может иметь место явление внутренней конверсии, т. е. ядро может избыток энергии передать какому-либо орбитальному электрону, вследствие чего из атома будет выброшен электрон с энергией $h\nu - J$, где J —энергия ионизации электрона. Уленбек и Хеб [2] вычислили коэффициент внутренней конверсии, рассматривая ядро как электрический мультиполь. Согласно их данным, вероятность перехода ядра из метастабильного состояния в основное путем внутренней конверсии сильно возрастает с уменьшением энергии кванта и увеличением порядка мультиполя. Моррисон и Данков [3] обобщили результат Уленбека и Вебса, вычислив коэффициент внутренней конверсии на K -оболочке для любого порядка мультиполя (Уленбек и Хеб ограничились рассмотрением первых пяти мультиполей). Как указывают Моррисон и Данков [3], явление внутренней конверсии может произойти также в результате взаимодействия электронов с магнитным излучением ядра, рассматриваемого как магнитный мультиполь порядка L . Они дали релятивистский подсчет коэффициента внутренней конверсии и для этого случая, ограничившись, однако, рассмотрением электронов K -оболочки.

Цель настоящей работы заключается в том, чтобы вычислить коэффициент внутренней конверсии на L -оболочке, рассматривая ядро как магнитный мультиполь.

Мы ограничиваемся случаем малых возбуждений ядер и средних или малых атомных номеров, вследствие чего мы можем рассмотреть задачу в нерелятивистском приближении.

¹ h —постоянная Планка, деленная на 2 π .



В этом случае, если пренебречь квадратом векторного потенциала, энергия взаимодействия электрона с излучением, как известно, имеет вид

$$H = \frac{e}{2\mu c} (\beta \vec{A} + \vec{A}\beta) + e\varphi,$$

где \vec{A} и φ —потенциалы; $\beta = -ih\nabla$, e —заряд электрона, μ —масса электрона, c —скорость света. Если потенциалы подчинить условию

$$\operatorname{div} \vec{A} = \varphi = 0,$$

то матричный элемент перехода электрона из начального состояния в свободное будет равен

$$H_{21} = \frac{ieh}{\mu c} \int \bar{\psi}_2 \vec{A} \nabla \psi_1 d\tau,$$

где ψ_1 и ψ_2 —волниевые функции электрона в начальном и конечном состояниях. Следует отметить, что написанное выше условие для потенциалов при рассмотрении электрического мультиполя, как показали Моррисон и Данков [3], приводит к особенности в начале координат, вследствие чего это условие заменяется другой калибровкой потенциалов. В случае магнитного мультиполя подобной трудности не имеется. Составляющие векторного потенциала магнитного поля, согласно Гаитлеру [4], равны

$$A_x = \frac{i}{2} M(B_l^{m+1} Y_l^{m+1} + C_l^{m-1} Y_l^{m-1}); A_y = \frac{i}{2i} M(B_l^{m+1} Y_l^{m+1} - C_l^{m-1} Y_l^{m-1}); A_z = M \cdot b_l^m Y_l^m;$$

$$\vec{A} = -\frac{i}{2} M B_l^{m+1} Y_l^{m+1} e^{-iz} \sin \theta + \frac{i}{2} M C_l^{m-1} Y_l^{m-1} e^{iz} \sin \theta + M b_l^m Y_l^m \cos \theta,$$

где

$$M = e^{-i\omega t} \cdot f_l(kr) \frac{m}{[l(l+1)]^{1/2}},$$

$$B_l^{m+1} = -\frac{i}{m} [(l-m)(l+m+1)]^{1/2} b_l^m,$$

$$C_l^{m-1} = -\frac{i}{m} [(l+m)(l-m+1)]^{1/2} b_l^m,$$

причем b_l^m —определяет момент мультиполя, $f_l(k) = \frac{H_{l+\frac{1}{2}}(kr)}{(kr)^{1/2}}$, где $H_{l+\frac{1}{2}}(kr)$

—функция Ханкеля первого рода, $k = \frac{\omega}{c}$. Так как излучение магнитного мультиполя, при рассмотрении задачи в нерелятивистском приближении и

при пренебрежении спином электрона, не взаимодействует с ядром. Если же есть взаимодействие, то внутренняя конверсия может произойти лишь на p -электронах L -оболочки (оболочки M , N и т. д. мы не рассматриваем). Рассмотрим сперва электрон с нулевым магнитным квантовым числом. Нормированная волновая функция, как известно, имеет вид

$$\psi_1 = \frac{1}{4V\pi} \left(\frac{Z}{a} \right)^{\frac{1}{2}} e^{\frac{Zr}{2a}} \cdot \zeta,$$

где $a = \frac{\hbar^2}{\mu c^2}$ и Z — эффективный заряд ядра, который в случае L -оболочки равен $Z = Z' - 4$, причем Z' — атомный номер рассматриваемого ядра.

Волновая функция непрерывного спектра, нормированная в шкале энергии так, чтобы в единицу времени через единицу поверхности на большом расстоянии проходил один электрон, равна

$$\bar{\psi}_1 = C_l r^l \cdot e^{-ipr} F(l+1+in, 2l'+2, 2ipr) \cdot Y_l^{-m'},$$

где

$$C_l := \left(\frac{\mu \pi p}{\hbar} \right)^{\frac{1}{2}} \frac{[\Gamma(l+1+in) \Gamma(l+1-in)]^{\frac{1}{2}}}{\Gamma(l+1) \Gamma(l+\frac{1}{2})} \cdot e^{\frac{ip}{2}} \cdot \left(\frac{p}{2} \right)^l,$$

$\rho = \frac{\sqrt{2\mu E}}{\hbar}$, $n = \frac{Z}{ap}$, l' и m' — квантовые числа электрона в свободном состоянии, причем E — энергия электрона, вырвавшегося из L -слоя, равна

$$E = \hbar \omega - \frac{Z^2 e^2}{8\pi},$$

Воспользовавшись приведенными выражениями для составляющих векторного потенциала и для волновых функций, получим

$$\begin{aligned} \int \bar{\psi}_1 \vec{d} \nabla \psi_1 d\tau &= -B_1 \frac{Z}{4a} C_l \int \varphi(r) r^2 dr \left[B_l^{m+1} \int Y_l^{m+1} Y_{l'}^{-m'} e^{-ipr} \cos \theta \sin^2 \theta d\theta d\varphi \right. \\ &\quad \left. + C_l^{m-1} \int Y_l^{m-1} Y_{l'}^{-m'} e^{ipr} \sin^2 \theta \cos \theta d\theta d\varphi + 2b_l^m \int Y_l^m Y_{l'}^{-m} \cos^2 \theta \sin \theta d\theta d\varphi \right] \\ &\quad + B_1 C_l b_l^m \int \varphi_1(r) r^2 dr \int Y_l^m Y_{l'}^{-m} \sin \theta d\theta d\varphi, \end{aligned}$$

где

$$\varphi(r) = M e^{-\frac{Z}{2a} r} r^{l+1} \cdot e^{-ipr} F(l+1+in, 2l'+2, 2ipr),$$

$$\varphi_1(r) = \frac{1}{r} \varphi(r); \quad B_1 = \frac{1}{4V\pi} \left(\frac{Z}{a} \right)^{\frac{1}{2}}.$$

Если воспользоваться известными формулами, связывающими полиномы Лежандра с различными индексами, а именно:

$$\sin \theta P_l^m(\cos \theta) = AP_{l+1}^{m+1} + BP_{l-1}^{m+1} - A'P_{l+1}^{m-1} + B'P_{l-1}^{m-1},$$

$$\cos \theta P_l^m(\cos \theta) = A'P_{l+1}^m + B'P_{l-1}^m,$$

(значения коэффициентов A , B ... B' мы не приводим, так как они в дальнейшем не понадобятся), то легко видеть, что интегралы, находящиеся в квадратных скобках в выражении матричного элемента, отличны от нуля в случае $m'=m$ и $l'=l$ или $l'=l \pm 2$. Если, однако, учесть значения коэффициентов B_l^{m+1} и C_l^{m-1} , то все выражение, заключенное в квадратные скобки, при $m'=m$ и $l'=l$ или $l'=l \pm 2$ обращается в нуль.

Поэтому мы можем написать

$$\int \vec{\phi}_2 \cdot \vec{A} \nabla \phi_1 dz = B_1 C_l b_l^m \int \varphi_1(r) r^2 dr \int Y_l^m Y_{l'}^{-m} \sin \theta d\theta d\varphi.$$

Полученное выражение отлично от нуля лишь в случае $m'=m$ и $l'=l$. Таким образом, в рассматриваемом случае разрешенными являются лишь переходы типа $1 \rightarrow l$ и $0 \rightarrow m$. Для матричного элемента рассматриваемого перехода имеем¹¹

$$H_{l,l'}^m = \frac{e\hbar i}{\mu c} B_1 C_l b_l^m \int \varphi_1(r) r^2 dr$$

или, подставив значение $\varphi_1(r)$,

$$H_{l,l'}^m = \frac{e\hbar i}{\mu c} B_1 C_l b_l^m \frac{m}{[l(l+1)]^{1/2}} e^{-i\omega t} \int e^{-ixr} r^l F(l+1+im, 2l+2, 2ipr) f_l(kr) r^2 dr,$$

где

$$\alpha = \frac{Z}{2a} + i \frac{Z}{an}.$$

Предположим, что длина волны очень велика по сравнению с размерами атомной системы, т. е. предположим $kr \ll 1$. В этом случае мы можем в интеграле ограничиться первым членом разложения $f_l(kr)$. Имеем

$$f_l(kr) = \frac{H_{l+\frac{1}{2}}(kr)}{(kr)^{1/2}} = f \cdot r^{-l-1}, \text{ где } f = (-i) \left(\frac{2}{\pi} \right)^{1/2} (2l+1)! \cdot k^{-l-1}.$$

Поэтому для квадрата матричного элемента перехода можем написать

$$|H_{l,l'}^m|^2 = \frac{(b_l^m)^2}{32\pi} \left(\frac{Z}{a} \right)^5 \frac{e^2 h^2}{\mu^2 c^2} C_l^2 \frac{m^2}{l(l+1)} |f|^2 \cdot |f_l|^2,$$

где

$$f_l = \int_0^\infty e^{-ixr} F(l+1+im, 2l+2, 2ipr) r dr.$$

¹¹ Здесь нормировка шаровых функций такова, что

$$\int Y_l^m Y_{l'}^{-m} \sin \theta d\theta d\varphi = 1.$$

Просуммировав по всем значениям m от $-l$ до $+l$, получим

$$\frac{1}{(b_l^m)^2} \sum_{-l}^{+l} |H_{l,m}^n|^2 = \frac{1}{64\pi} \left(\frac{Z}{a}\right)^5 \frac{e^2 h^2}{\mu^2 c^2} C_l^2 (l+1) |f|^2 |J_1|^2.$$

Рассмотрим теперь электроны с магнитным квантовым числом, равным ± 1 . Для волновых функций начального состояния имеем

$$\psi_t = \frac{1}{8\sqrt{\pi}} \left(\frac{Z}{a}\right)^{1/2} e^{-\frac{Z}{2a}r} (x \pm iy).$$

Легко показать, что в этом случае матричный элемент перехода отличен от нуля в случае $l'=l$ и $m'=\pm l \pm 1$, иными словами, разрешенными являются переходы типа $l \rightarrow l$ и $\pm 1 \rightarrow \pm 1$. В результате выкладок для суммы квадратов матричных элементов, относящихся к переходам $l \rightarrow l$, $l \rightarrow l+1$ и $l \rightarrow l$, $-l \rightarrow -l-1$, получим, после просуммирования по всем возможным значениям m от $-l$ до $+l$,

$$\frac{1}{(b_l^m)^2} \left(\sum_{-l}^{+l} |H_{l,l}^{m,m+1}|^2 + \sum_{-l}^{+l} |H_{l,l}^{m,m-1}|^2 \right) = \frac{1}{64\pi} \left(\frac{Z}{a}\right)^5 \frac{e^2 h^2}{\mu^2 c^2} C_l^2 [2(2l+1) - l(l+1)] |f|^2 |J_1|^2.$$

Следовательно, для суммы квадратов матричных элементов, относящихся ко всем возможным переходам, получим

$$|H|^2 = \frac{(b_l^m)^2}{32\pi} \left(\frac{Z}{a}\right)^5 \frac{e^2 h^2}{\mu^2 c^2} C_l^2 (2l+1) |f|^2 |J_1|^2,$$

Число электронов, вырванных из L-слоя в одну секунду, при нашем способе нормировки волновых функций, равно

$$N_s = \frac{2}{h^3} |H|^2 = \frac{(b_l^m)^2}{16\pi} \left(\frac{Z}{a}\right)^5 \frac{e^2}{\mu^2 c^2} C_l^2 (2l+1) |f|^2 |J_1|^2.$$

(Мы удвоили правую часть, чтобы учесть оба электрона с противоположными спинами). Разделим это выражение на число квантов, покидающих лишенное орбитальных электронов ядро, определяемое по формуле

$$N_s = \frac{(b_l^m)^2}{\pi^2 \hbar k}, \quad \left(k = \frac{e\omega}{c} \right).$$

Получим

$$\frac{N_s}{N_s} = \frac{\pi}{16} \left(\frac{Z}{a}\right)^5 \frac{e^2}{\mu^2 c^2} \hbar \omega C_l^2 (2l+1) |f|^2 |J_1|^2.$$

Подставив значение C_l^2 и воспользовавшись при этом известными формулами

$$\Gamma(l+1+im) \Gamma(l+1-m) = \frac{\pi i}{\sinh \pi \omega} \prod_{s=1}^l (s^2 + \omega^2)$$



и

$$\left[\Gamma(l+1) \Gamma\left(l + \frac{3}{2}\right) \right]^2 = \frac{[(2l+1)!]^2}{4^{l+1}} \pi,$$

получим

$$\frac{N_s}{N_q} = \frac{\pi}{16} \left(\frac{Z}{a} \right)^5 \frac{e^{\gamma q}}{\mu^2} e^{\alpha n} \frac{f^{2l+1}}{2^{2l}} \frac{\pi n}{\sinh \pi n} \prod_{s=1}^l (s^2 + n^2) \frac{4^{2l+1}(2l+1)}{[(2l+1)!]^2} |f|^2 |J_1|^2.$$

Мы имели

$$J_1 = \int_0^\infty e^{-qr} F(l+1+in, 2l+2, 2ipr) r dr.$$

Этот интеграл вычислен у Завелевича [5] (только вместо α и β , введенных Завелевичем, нужно взять $\frac{Z}{a}\alpha$ и $\frac{Z}{a}\beta$). Интеграл J_1 равен

$$J_1 = \left(\frac{a}{Z} \right)^2 \frac{(2l+1)! q(1+q)}{2 \cdot 4^{l-1} \prod_{s=1}^l (s^2 + 4q)} [(l+2)(1+q)^{l-2} e^{-4Vq} \operatorname{arctg} Vq + N_l],$$

причем для N_l имеется следующая рекуррентная формула:

$$N_{l+1} = N_l(1+q) \frac{l+3}{l+2} - \frac{(l-1)(2l+2)}{l+2} S_l; \quad N_1 = \frac{1}{1+q}; \quad N_2 = \frac{4}{3},$$

где

$$S_l = \frac{4^l \prod(s^2 + 4q)}{(l+1)(2l+1)! (1+q)}; \quad q = \frac{n^2}{4}.$$

Подставив значения J_1 и f в формулу для отношения $\frac{N_s}{N_q}$, получим, после элементарных преобразований,

$$\beta = \frac{N_s}{N_q} = 4\pi\gamma^2\alpha \frac{1}{W} \left(\frac{P'}{W} \right)^{2l} \frac{1}{1 - e^{-2\pi n'}} \frac{(2e+1)}{2^{2l}} [(2l-1)!]^2 \frac{q^3(1+q)^2}{\prod(s^2 + n'^2)} A^2,$$

где

$$A = (l+2)(1+q)^{l-2} e^{-4Vq} \operatorname{arctg} Vq + N_l,$$

W —энергия γ -кванта в единицах μc^2 , p' —импульс вырванного из L -слоя электрона в единицах μc , $\alpha = \frac{e^2}{hc} = \frac{1}{137}$ и $\gamma = Z\alpha = \frac{Z}{137}$, причем

$$p' = \sqrt{2W - \frac{1}{4}\gamma^2}, \quad n' = \frac{\gamma}{p'}, \quad q = \frac{n'^2}{4}.$$

Зная $\beta = \frac{N_e}{N_q}$, легко вычислить коэффициент внутренней конверсии α_e^L .
А именно

$$\alpha_e^L = \frac{N_e}{N_e + N_q} = \frac{\beta}{1 + \beta}.$$

В нижеследующей таблице приведены значения β для различных энергий γ -кванта и порядка мультиполя, причем положено $\gamma = 0,2$.

W	$\beta = \frac{N_e}{N_q}; \gamma = 0,2$		
	$l=1$	$l=2$	$l=3$
0,01	6,8	2300	$4 \cdot 10^5$
0,02	1,9	310	$3,9 \cdot 10^4$
0,03	0,5	50	$4,4 \cdot 10^3$
0,05	0,11	7,5	435
0,1	0,01	0,38	11
0,2	$1 \cdot 10^{-2}$	$1,8 \cdot 10^{-2}$	0,24
0,3	$3 \cdot 10^{-4}$	$3 \cdot 10^{-3}$	$3 \cdot 10^{-2}$

Эта таблица показывает, что коэффициент внутренней конверсии сильно растет с уменьшением энергии γ -кванта и возрастанием порядка мультиполя. Как показали Уленбек и Хеб [2], аналогичная зависимость коэффициента внутренней конверсии от энергии γ -кванта и порядка мультиполя имеется и при рассмотрении электрического излучения ядра. Эксперименты Русинова и Юзефовича [6] показывают, что в случае ядра брома коэффициент внутренней конверсии близок к единице, причем энергия γ -кванта порядка 50 KeV, что в единицах μeV равно 0,1. Наша таблица показывает, что в этом случае изменение углового момента ядра $\Delta l \approx 3$. При малых энергиях γ -кванта (порядка 0,02 и меньше) коэффициент внутренней конверсии должен быть близок к единице независимо от порядка мультиполя, если, конечно, считать, что внутренняя конверсия обусловлена магнитным излучением ядра.

Академия Наук Грузинской ССР
Институт физики и геофизики
Тбилиси

(Поступило в редакцию 19.7.1941)

3. მარასახლისობი

უძნავადი კონცენტრისა და L -გარსზე, გამოყვავლით ბირთვის მაჩვირული გაოპარებით

რეზუმე

შერომიში გამოთვლილია შინაგანი კონცენტრის კოეფიციენტი L -გარსზე იმ შემთხვევისათვის, როდესაც ატომმიტოვი განიხილება როგორც შაგნიტური მულტიპლილი. თუ ამ გავითვალისწინებთ ფარდობითობის თეორიის მოთხოვნილებებს და უკუაღებთ ელექტრონის სპინს, შინაგანი კონცენტრის კოეფიციენტისათვის მივიღებთ

$$\frac{N_e}{N_q} = 4\pi r^2 \alpha \left(\frac{P'}{W} \right)^{2l} \frac{1}{1 - e^{-2\pi n'}} \frac{(2l+1)}{2^{2l}} [(2l-1)!!]^2 \prod_{s=1}^{q^2(1+q)^2} A_s^2,$$

სადაც

$$A = (l+2)(1+q)^{l-2} e^{-4V\frac{\gamma}{\beta}} \arctg \frac{V\frac{\gamma}{\beta}}{1+q} + N_l.$$

N_l სიღილისათვის არსებობს შემდეგი რეკურსული ფორმულა

$$N_{l+1} = N_l(1+q) \frac{l+3}{l+2} - \frac{(l-1)(2l+3)}{l+2} S_6, \quad N_1 = \frac{1}{1+q}; \quad N_2 = \frac{4}{3},$$

სადაც

$$S_l = \frac{4^l \prod_{s=1}^l (s^2 + 4q)}{(l+1)(2l+1)! (1+q)}; \quad q = \frac{n'^2}{4}.$$

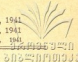
სიღილე W წარმოადგენს γ -ტენსტრის ენერგიას μc^2 ერთულებში, $\beta' = \mu c / p$ -ის ტრიონის იმპულსს μc ერთულებში, $\alpha = \frac{e^2}{hc} = \frac{1}{137}$, $\gamma = Z\alpha = \frac{Z}{137}$, ამასთანავე, $p' = \sqrt{2W - \frac{1}{4}\gamma^2}$, $n' = \frac{\gamma}{p'}$, $Z = Z' - 4$, სადაც Z' -ბირთვის ატომური ნომერია.

საქართველოს სსრ მეცნიერებათა აკადემია

ფიზიკისა და გეოფიზიკის ინსტიტუტი
თბილისი

ЦИТИРОВАННАЯ ЛИТЕРАТУРА—СПЕЦИАЛЬНЫЙ АЛМАНОХУРУКА

1. C. F. Weizsäcker. Naturwiss., 24, 813, 1936.
2. M. H. Hebb, G. E. Uhlenbeck. Physica, 5, 605, 1938.
3. S. M. Dankoff, P. Morrison. Phys. Rev., 55, 122, 1939.
4. W. Heitler. Proc. Camb. Phil. Soc., 52, 112, 1936.
5. Г. С. Завалевич. Внутренняя конверсия на L -оболочке при малых возбуждениях ядер. Журн. эксп. и теор. физики, 11, 213, 1941.
6. Л. И. Руцинов и А. А. Юзефович. Ядерная изомерия брома. Изв. АН СССР, т. IV, № 2, 320, 1940.



ГЕОФИЗИКА

Б. К. БАЛАВАДЗЕ и М. С. АБАКЕЛИА

К ВОПРОСУ ГЕОЛОГИЧЕСКОЙ ИНТЕРПРЕТАЦИИ ОМПАРЕТСКОЙ
ГРАВИТАЦИОННОЙ АНОМАЛИИ

В предварительном сообщении [1] мы наметили связь Омпаретской гравитационной аномалии с геологическим строением одноименной антиклинальной складки в Гурии. В настоящей работе дается интерпретация аномалии на основе камеральной обработки гравиметрических и геологических наблюдений 1940 г.

1. Геология Омпаретской складки. Омпарети представляет первую возвышенность со стороны Черного моря и характеризуется мелким расчлененным рельефом. Она продолжается к юго-западу и северу соответственно возвышенностям Джоджорети—Цхалцинида и Унагира—Чкуни, а к юго-востоку—водоразделом Хриалетских гор с вершиной Оходжури. Возвышенности Омпарети—Грмагеле и Унагира—Чкуни разделены широкой долиной р. Сupsа, которая течет с востока на запад и у поселка Григорети впадает в Черное море. Левыми притоками р. Сupsа в районе исследования являются речки Грмагеле и Чире. Первая вытекает из северных склонов Хриалетских гор, а вторая—из северо-западных склонов Омпаретской горы.

В долине р. Сupsа и на Колхидской низменности представлены аллювиальные напосы мощностью соответственно от 40—50 м до 150—200 м. В состав аллювия входят галечники, глины и пески в перемежевом чередовании и с резким преобладанием галечников. На возвышенной части района: в Омпарети, Грмагеле, Оходжури, Джоджорети, Цхалцинида, Унагира и Чкуни обнажаются фаунистически охарактеризованные отложения сармата и слои чауды. Чаудинские слои представлены чередованием глин, песков и галечников общей мощностью порядка 400 м. Они трансгрессивно и с резким угловым несогласием перекрывают песчано-глинистую и глинистую толщи среднего сармата и чередование глин, песчаников, мергелей, песков и конгломератов Оходжукурской свиты верхнего сармата. Общая мощность отложений верхнего и среднего сармата исчисляется К. С. Масловым [2] около 1,6 км, а В. Е. Пахомов [3] мощность только песчано-глинистой толщи нижнего отдела среднего сармата в Омпарети определяет в 900 м.



Из ближайших выходов вулканических пород следует указание на присоединенную жилу андезита на склоне горы Орметис-серы в 7 км по прямой линии к юго-востоку от с. Супса. Жила падает к северу под углом $35-40^{\circ}$, мощность ее порядка 50 м.

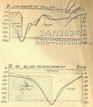
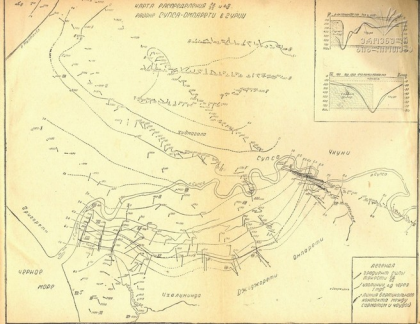
Геологические наблюдения и компасные замеры на обнаженном крыле Омпаретской складки с достоверностью устанавливают: 1) юго-восточное падение слоев песчано-глинистой и глинистой толщи среднего сармата соответственно в Омпарети и Грмагеле под углами 35 и 40° ; 2) переклипальный заворот этих слоев в Омпарети и Чкуни; 3) мелкую складчатость и дизьюнктивную дислокацию на северо-западном склоне Омпаретской горы; 4) трансгрессивное и большей частью горизонтальное залегание слоев чауды на толщах среднего и верхнего сармата. У возвышенности Унагира, на правом берегу р. Супса, слои чауды обнаруживают северо-западное падение под средними углами $35-40^{\circ}$. Северо-западное крыло складки перекрывается мощными аллювиальными наносами и не поддается непосредственным геологическим наблюдениям в области Колхидской низменности прилегающей к Омпаретской горе.

Крепческое бурение 1937—38 гг. до глубины 300—350 м в Джоджорети на части Колхидской низменности, непосредственно прилегающей к Омпаретской горе, и в долине р. Супса под наносами отметило крутые углы падения пород сармата и чауды, обнаружив наличие погребенного вертикального контакта между последними. Слои чауды выполняются (до $10-5^{\circ}$) на расстоянии около 600 м от этого вертикального контакта в сторону с. Супса, причем подстилающие их здесь породы еще не вскрыты бурением.

Погребенный вертикальный контакт между слоями чауды и сармата, повидимому, не имеет однозначной расшифровки. Мы склонны думать, что этот контакт является тектоническим (бросом), по которому могло иметь место смещение крыльев Омпаретской складки; причем наименьшая амплитуда этого смещения может достигать не менее 600—700 м.

Анализ приведенных данных позволяет высказать предположение, что в Омпарети имеется не одна, а две параллельно расположенные антиклинальные складки толщ сармата и слоев чауды. Ось сарматской складки называется между селениями Омпарети и Супса, а ось чаудинской асимметричной складки расположена на склоне Омпаретской горы, к юго-востоку от погребенного вертикального контакта, представляющего продольный сброс в присводовой части складки с опушением ее Супсинского крыла. Сарматская складка образовалась в результате ряда тектонических движений в основном до чаудинского времени и, повидимому, тогда же наметилось смещение ее крыльев. Затем в трансгрессивном море чауды накопилась мощная толща отложений, которая в свою очередь была собрана в складки уже в условиях наличия под чаудой ранее дислоцированного основания,

СХЕМА ПРОДОЛЖЕНИЯ № 149
ПОДАЧИ ВОДЫ ОДНОБОЧНО В БУРЮ



СИДОРЧЕНКО
ПОДАЧА ВОДЫ
ПОДАЧА ВОДЫ
ПОДАЧА ВОДЫ
ПОДАЧА ВОДЫ

обусловившего асимметричность чаудинской антиклинальной складки. На такой схеме строения Омпаретской складки, Супсийский участок заслуживает гораздо большего внимания и изучения глубоким структурным бурением.

По мнению В. Е. Пахомова [3], Омпаретская складка представляет асимметричную брахиантиклиналь, северное и северо-западное крыло которой почти вертикальное. По К. С. Мастову [7], в Омпарети представлено юго-восточное крыло обширной антиклинали, свод и северо-западное крыло которой расположены западнее сел. Супса под трансгрессивными осадками чауды и мощными аллювиальными наносами. Характер Омпаретской складки и направление оси имеют и другие интерпретации [6, 8, 9].

Следует указать, что периклинический заворот слоев сармата в Омпарети согласуется с изгибом в долине р. Супса антиклинальной зоны Саку-пре—Санкто—Кончкати—Гулиани—Верхние Джумати и оси синклинали Хриалети—Ормети—Майдани—Ниношили, связывающей южные антиклинали с Омпаретской и нефтеносной Гурией.

Образцы осадочных пород из Супса—Омпаретского района, а также андезито-базальты из Самебо-Накубарского массива и горы Ориетис-серы, по нашему предложению, были под микроскопом описаны проф. Г. М. Смирновым. Некоторые из них подверглись также проф. А. Г. Калашниковым (в Москве) изучению в отношении магнитных свойств с помощью крутильных весов [5].

2. Омпаретская гравитационная аномалия. На прилагаемой схеме представлено распределение градиентов силы тяжести $\frac{dg}{ds}$, измеренных с помощью гравитационного вариометра Z-40 Аскания № 691 и изолинии Ag в долине нижнего течения р. Супса. Топографическая и картографическая поправки, вычисленные для градиентов силы тяжести, преимущественно составляют соответственно $\pm(5-10)$ Е и $\pm(3-8)$ Е.

На этой схеме ярко выделяется зона аномальных градиентов силы тяжести с максимальными значениями порядка 60—80 Е и более. Она вытянута от с. Чкуни до устья р. Супса параллельно возвышенностям Омпарети—Джоджорети—Цхалтминда и вдоль р. Чире. Аномальная зона, достигающая ширины 0,8—1,0 км, нигде не прерывается, сохраняя на указанном протяжении значения аномалии одного и того же порядка. В долине р. Супса, к востоку от устья речки Грмагеле и в приморской полосе, к югу от нижнего течения речки Чире, наблюдается резкое уменьшение значений градиентов $\frac{dg}{ds}$, доходящих в среднем до 10 Е. К северу от аномальной зоны до с. Хидмагала, на правом берегу р. Супса, градиенты $\frac{dg}{ds}$,

зона до с. Хидмагала, на правом берегу р. Супса, градиенты $\frac{dg}{ds}$, посте-



пенно уменьшаясь, варьируют в пределах от 30 до 20 Е. Следует учесть, что на этих участках градиенты направлены в основном к югу и юго-востоку, а к северо-западу от с. Хидмагала наблюдаются минимальные значения градиентов силы тяжести с поворотом их направления к реке Малтаква. К северу от с. Хидмагала выделяется площадь, которая характеризуется минимальными значениями и произвольным направлением векторов $\frac{\partial g}{\partial s}$.

Значения Δg вычислены относительно точки II-о, расположенной в центре с. Супса. Величины Δg достигают порядка +8,0 mgal в аномальной зоне, а к северу от нее наблюдаются отрицательные значения порядка 1,5 mgal. Средний градиент изменения Δg в аномальной зоне составляет 4–5 mgal, а на других участках +1,5 mgal на 1 км в среднем.

При этом следует отметить, что район вариометрической съемки лежит между маятниковыми пунктами Поти (–39 mgal), Ланчхути (–45), Махарадзе (–9), Кобулети (+5)¹. Средний гравитационный градиент с юга на север между пунктами Кобулети–Поти и Махарадзе–Ланчхути соответственно составляет 1,2 и 1,8 mgal на 1 км. Укажем также, что аномалия силы тяжести в Батуми достигает +37 mgal [4].

3. Интерпретация аномалии. Отмеченный в геологической части вертикальный контакт представляет границу раздела двух сред (чауды и сармат), отличающихся друг от друга в отношении плотностей. Этот контакт перекрывается аллювиальными наносами мощностью порядка 50 м в долине р. Супса и в долине подошвы возникновений Омпарети–Джоджорети.

Средние значения плотностей пород сармата, чауды и аллювиальных наносов соответственно составляют: 2,3–2,4, 1,9–2,0 и 1,6. В толщах сармата и чауды, в отличие от аллювиальных наносов, замечается постоянство плотностей. Эти породы обнаруживают также различные магнитные свойства.

На исследованном буровыми скважинами участке Омпарети–Джоджорети максимальные значения $\frac{\partial g}{\partial s}$ приурочены к зоне вертикального контакта между слоями чауды и сармата, которые составляют избыточную плотность 0,3–0,4. Восточное и южное направления векторов градиентов соответственно в долине р. Супса и в Джоджорети, повидимому, указывают на переклинальный заворот слоев сармата, отмечаемый и непосредственными геологическими наблюдениями.

Изолинии максимальных значений Δg также хорошо вырисовывают зону вертикального контакта на изученном буровыми скважинами участке и прослеживают ее в западном направлении к берегам Черного моря.

¹ Аномалии даны в редукции Фаз.

Является ли погребенный вертикальный контакт тектонический («бровь») или трансгрессивным прилеганием слоев чауды к толще сарматы,— решить не представляется возможным только гравиметрическими измерениями. Но, с другой стороны, этот контакт представляет хорошую маркирующую поверхность для приложения гравиметрического метода разведки к Супсинскому нефтяному месторождению. И если представится возможность установить соотношение между осью антиклинальной складки и поверхностью этого вертикального контакта, то прослеживанием последней на исследованном еще бурением участке можно будет судить о вероятном направлении оси сарматской складки.

Предположения о наличии свода и северо-западного крыла Омпаретской складки толщи сарматы западнее сел. Супса (К. С. Маслов) и о брахиантиклинальном строении этой складки (В. Е. Пахомов) не находят своего отражения в распределении векторов $\frac{\partial g}{\partial s}$.

Вдоль профилей XI, XIII, VII, VIII, IX, XII, XVI и XVII (см. схему) построены наблюденные кривые U_{av} градиента силы тяжести. Последние, обладая одним резко выраженным минимумом, напоминают теоретическую кривую для случая вертикального уступа. Количественная интерпретация наблюденных кривых вдоль профилей XI, XIII, VII и VIII проведена по методу сравнения на основе разрезов буровых скважин, а по остальным—ввиду отсутствия геологических данных—расшифровка предположительная. Для примера на схеме приводятся два соответствующих разреза (профили VIII и XVI).

Глубина залегания толщи сарматы под аллювием и слоями чауды в аномальной зоне, к югу от поверхности вертикального контакта, варьирует от 50 до 180 м. На северной стороне контакта общая глубина аллювия и слоев чауды—порядка 600—750 м. Следует добавить, что разрезы по профилям XI и XIII в долине р. Супса к востоку от с. Супса, составленные по гравиметрическим и геологическим данным, характеризуются ступенчатым контактом между слоями чауды и сарматы.

Таким образом, наличие погребенного вертикального контакта между слоями чауды и сарматы (см. схему), отмеченного крептуальным бурением 1937—38 гг. между Унагира и Джоджорети, подтверждается гравиметрической съемкой 1940 года и прослеживается ею в западном направлении до устья р. Супса. Исследование этого контакта другими геофизическими методами и бурением в приморской полосе представляет нам весьма целесообразным.

Академия Наук Грузинской ССР
Институт физики и геофизики
Тбилиси

(Поступило в редакцию 21.5.1941)



პ. გალავაძი და მ. აბაკეშია

ომფასითის გრავიტაციული ანომიალია აღმოჩენილ და შესწავლილ იქნა 1940 წელს სსრკ მეცნიერებათა აკადემიის საქართველოს ფილიალის გეოფიზიკური ინსტიტუტის გრავიმეტრიული ექსპედიციის მიერ სუფსა-ომიერარეთის ნავობითან რაოდში მდ. სუფსის შესართავთან. ანომიალია დაკავშირებულია ომფასითის ანტიკლინირ ნაოჭთან, რომელიც შესდგება სარმატისა და ჩიუდის დანალექი ქანებისაგან. ჩიუდა ტრამსგრესიულად და კუთხური უთანხმობით არის განლაგებული სარმატში. აღსანიშნავია სარმატისა და ჩიუდის შრეებს შორის ვერტუფალური კონტაქტი, რომელიც დაფარულია შეღაერი ალუვიონური ნალექებით. ეს კონტაქტი ტექტონიკური ხასიათისა უნდა იყოს (ნასლედები). ომფასითში შეიძლება დაკუშება სარმატის წყებებისა და ჩიუდის შრეების ორი პარალელურიად განლაგებული ანტიკლინირ ნაოჭების არსებობა.

სიმიზის ძალის ანომიალიური გრავიმეტრის ზოლი მიმიმართება სოფ. ჩენენიდან მდ. სუფსის შესართავამდე ჯერ ომფასით-ჯოჯერე-წყალწმინდის შალლობის პარალელურიად, შემდეგ კი მდ. ჩირეს გასწორივ. ანომიალის ზოლი დაახლოებით $0,8-1,0 \text{ cm}$ სიგანისაა და $\frac{\partial g}{\partial s}$ -ის მაქსიმალური შინავნელობები $60-80 E$ ალტიტება. აგ-ს შინავნელობები ამ ზოლში აღწევს $8,5 \text{ mgal}$, ხოლო გრავიტაციული გრავიმეტრი— $4-5 \text{ mgal}$ 1 კმ-ზე. ეს ანომიალია მოთავსებულია საქანიან პენეტრებს შორის: ფოთში (-39 mgal), ლანჩხუთში (-45), მახარაძესა (-9) და ქობულეთში ($+5$).

ომფასითის გრავიტაციული ანომიალის გამომწვევ შიზხად შეიძლება დაკაბახლოთ ვერტუფალური კონტაქტი ორ, ფინიკურიად ერთმანეთისაგან განსხვავებულ, გარემოთა შორის (ზოლდა—სარმატი), რომელთა კარბი სიმეკრივე $0,3-0,4$ უდირს. გრავიმეტრიული შონაცემების მიხედვით ალუვიონისა და ჩიუდის შრეების სილიმე კონტაქტის სამხრეთ მხარეზე იცულება 50 -დან 180 მეტრამდე, ხოლო მის ჩრდილოეთ მხარეზე აღწევს $600-750$ მეტრს. ამისთან გრავიტაცია, გრავიმეტრიული აგვაგმიზმ მოგეცა ჩიუდა-სარმატის ნალექების ამ ვერტუფალური კონტაქტის გაცვლება დასაკლებოთ მდ. სუფსის შესართავამდე, რაც შემოწმებას მოითხოვს სხვა გეოფიზიკური მეთოდებთა და კრედიტურის ბურღვით.

ЦИТИРОВАННАЯ ЛИТЕРАТУРА—~~СОФІОДОВО~~ ~~СОФІОДОВО~~ ~~ПОСІДІЛІОДІ~~

1. Б. К. Балавадзе и М. С. Абакелиа. Омпаретская гравитационная аномалия и опыт ее интерпретации. Сообщения Груз. Фил. АН СССР, т. I, № 8, 1940.
 2. К. С. Маслов. О миоцене Гурии. Известия АН СССР, Сер. геологическая, № 5, 1937.
 3. В. Е. Пахомов. К геологии Сунса-Омпаретского района (рукописный отчет за 1927—1938 гг.).
 4. М. С. Абакелиа. Гравитационные карты Грузинской ССР. Изв. Груз. Индустр. Ин-та. Книга № 11, 1939.
 5. А. Г. Калашникова. Отчет об измерениях магнитных констант горных пород из Гурии. Рукопись в Институте физики и геофизики АН Груз. ССР, 1941.
 6. С. Н. Михайловский. Геологические исследования в северной части нефтяных месторождений Гурии. Изв. Геол. Комитета, № 9, 1928.
 7. К. С. Маслов. О глубоком разведочном бурении в Омпарети. Нефтяное Хозяйство, № 9, 1939.
 8. С. И. Ильин. Материалы по геологии нефтяных месторождений Гурии. Труды НГРИ, серия А, выш. 70, 1935.
 9. Сборник материалов по вопросу о нефтяных месторождениях Гурии. Изд. ВСНХ Грузии, 1927.
-

ПЕТРОГРАФИЯ

Н. Ф. ТАТРИШВИЛИ

НЕОИНТРУЗИИ ВЕРХНЕЙ РАЧИ

Первой работой по геологии Верхней Рачи является работа С. Г. Симоновича [7], в которой все осадочные породы южного склона Главного хребта отнесены к основным палеозойским сланцам, отмечены оруденелые жилы кварца и минеральные источники. В 1909 году появляется более детальная работа Г. М. Смирнова [8]. Последний, как и С. Г. Симонович, относит осадочные породы района к палеозою; им же дается краткое описание древних гранитов. Позднее, в 1916 г., в отчете С. Ф. Маливкина [6] указываются оруденелые кварцевые жилы преувеличенной мощности в верховых р. Чешуры, на основании чего начинается разведка месторождения частными предпринимателями.

В 1927 г. вышла работа Л. К. Конюшевского [2], в которой автор дает впервые схематическую геологическую карту района и описание рудных месторождений.

Затем выходят систематические работы И. Г. Кузнецова [3, 4, 5], лежащие в основе наших современных знаний геологии местности; в работе 1933 г. им дается краткое петрографическое описание неоинтрузий и отмечается связь рудных проявлений с описанными неоинтрузиями [5].

В связи с открытием в Раче мышьякового, молибденового и вольфрамового оруденения, начинаются детальные геолого-съемочные работы, результаты которых находятся в рукописном виде. Напечатаны только статьи Н. А. Хрущева [10] и Г. И. Харашвили [9]; последний дает геолого-петрографическое описание Каробского месторождения и условия его формирования, причем автором целиком использовано выше петрографическое описание пород из неопубликованного отчета, приводимого им в списке литературы.

Геологический обзор. В строении Верхней Рачи принимают участие как кристаллические, так и осадочные породы. Кристаллические породы, аналогично другим частям Главного хребта, слагают осевую часть его. С юга полоса кристаллических пород окаймляется зоной глинистых сланцев лейаса, в свою очередь сменяющихся свитой мергелей и известняков.

В полосе сильных разрывов и нарушений большое распространение имеют молодые магматические породы (неоинтрузии), представленные,

главным образом, жильными дашитами и альбитофирами. Данные породы секут не только древние граниты и сланцы лейаса, но и зону надвига, оставаясь при этом без признаков катаклаза. Они моложе той фазы альпийской складчатости, во время которой кристаллический субстрат был надвинут на мезозойские осадки. К этим молодым кислым магматическим породам приурочено рудообразование редких металлов.

Среди вышеупомянутых пород, которые являются представителями одной и той же магмы, все же можно уследить некоторую последовательность. На южном склоне хребта Кароби с простиранием СВ 45° дайка дашита сечет альбитофир. Породы эти являются не только результатом кристаллизации из одной магмы, но они, вероятно, являются представителями одной и той же группы пород — дашитов. Но выделить их в особую группу и назвать альбитофирами нам пришлось лишь по той причине, что полевошпатовые вкрапленники этих пород принадлежали исключительно или преимущественно к альбитам. Некоторое исключение представляли альбитофиры Кароби, состав полевошпатовых вкрапленников которых варьирует от альбита до андезина.

Альбитофиры юфи Хрелието. Альбитофиры Хрелието образуют линзообразное пластовое тело. Представлены серо-белыми плотными трещиноватыми породами с рыжеватым оттенком, в трещинах которых отложилась гидроокись железа, чем и обусловлен ее ражий цвет. Этим рыжим цветом, несколько более крупным зерном, содержанием кварца в основной массе, а не во вкрапленниках отличаются альбитофиры Хрелието от других альбитофиров изученного района.

Структура их порфировая, голокристаллическая, с крупнозернистой основной массой. Состоит она частью из изометрических, частью из лейстовидных кристаллов кислого плагиоклаза, иногда расположенных радиально-лучисто, с максимальным углом погасания в зоне РМ 15° , что соответствует плагиоклазу № 0, зерен кварца, редких чешуек мусковита. Из акцессорных минералов имеется апатит в виде тонких призмочек и рудный минерал. Основная масса очень богата постмагматическими кварцем, расположенным в виде жилочек и гнейд. Обилие постмагматического кварца часто мешает распознаванию магматического кварца.

Вкрапленники, находясь почти в одинаковом количестве с основной массой, представлены исключительно плагиоклазом, спорадически попадаются вкрапленники кварца, вернее агрегаты зерен кварца, быть может, постмагматического,

Плагиоклаз образует призматические кристаллы с двойниковой штриховкой по альбитовому и карасбалдовому заносям. Как правило, они свежи, иногда слегка пелитизированы, еще реже — серпинтизированы. Представлены они альбитом от № 0 до № 12.

Альбитофиры юфи Рехеба. Альбитофиры Рехеба, как и Хрелието, представляют линзообразное пластовое тело.

Порода плотная, мелкозернистая, светло-серого цвета.

Структура ее порфировая, голокристаллическая. Основная масса состоит частью из изометрических зерен, частью из микромитов плагиоклаза с максимальным углом погасания из зоны РМ (среднее из пяти шкафов) 14° , что соответствует плагиоклазу

№ 5, чешуйки хлорита с низкими лавандово-синими цветами интерференции, идущими от края зерна.

Вкраепленники, количество которых уступает основной массе, представлены плагиоклазом и кварцем, величина их сильно варьирует.

Плагиоклаз (альбит №№ 5, 6, 12) образует довольно крупные призматические кристаллы с двойниковой штриховкой, нацело, иногда частично серпентинизированные и эпилитизированные.

Кварц всегда — с закрученными и заубренными краями и углами, со включениями основной массы, некоторые зерна его имеют весьма причудливую форму, вследствие магматической ресорбции.

Из темношеточных компонентов в виде вкраепленников встречаются полимиктовые псевдоморфозы хлорита призматического габбитуса.

Трудно сказать, за счет какого минерала образовался хлорит; в пользу роговой обманки говорят призматическая форма. В виде вторичных минералов, за счет вкраепленников плагиоклаза, паряду с серпентитом и эпилитом встречаются кальцит и шоизит.

Альбитофиры хребта Дамба, правого склона реки Дамбарулы и озера № 2213 м. В названных местах имеются небольшие выходы светло-серой, почти белой с бурьими пятнами, плотной породы.

Структура их порфировая, голокристаллическая. Основная масса состоит из кварца и частично серпентинизированного плагиоклаза. Вкраепленники представлены крупными, иногда нацело кальцитизированными, кристаллами плагиоклаза, реже кристаллами кварца с сильно закрученными и заубренными краями и углами и чешуйками биотита, нацело замещенного мусковитом, рудным минералом и кальцитом.

Ввиду сильного изменения вкраепленников плагиоклаза, точное измерение их не удалось. Показатель преломления некоторых небольших остатков говорит о присоединении их к альбиту.

Альбитофиры Караби. Породы этой жилы представлены плотными голубовато-серыми порфировыми разностями, обогащенными ширитом.

Структура их порфировая, голокристаллическая. Основная масса состоит из изометрических зерен кварца, плагиоклаза и чешуй хлорита.

В виде аксессорных минералов встречаются короткостолбчатый апатит, широкий и рудный минерал, ширит. Структура основной массы сотовая. Вкраепленники, количество которых всегда уступает основной массе, представлены плагиоклазом, кварцем и полимиктами псевдоморфозами хлорита в форме табличек, узких призмочек и остроугольных ромбов с усечеными острыми углами (шестигранник). Форма псевдоморфоз говорит о бывшем присутствии роговой обманки, которая в своем виде не обнаружена. Не обнаружены и свежий биотит, — только таблитчатая форма и небольшие остатки констатируют его бывшее присутствие. Плагиоклаз чаще призматический, иногда таблитчатый, сильно серпентинизированный, состав которых от штифа к штифу сильно варьирует от № 5 до № 35. Кварц встречается спорадически. Из десяти шлифов он встречен в двух, и то в виде единичных вкраепленников округлой формы. Нигде в альбитофирах района не удалось обнаружить присутствие калиевого полевого шпата.

Альбитофиры верховьев р. Чечиура. Помимо вышеописанных альбитофиров, в верховых р. Чечиура среди древних гранитов имеется лайка плотной светло-серой, почти белой породы, на фоне которой выделяются иголочки роговой обманки. Порода почти не отличима от альбитофиров района, если не принять во внимание несколько причудливый характер расположения роговых обманок.



Структура породы порфировая, голокристаллическая; основная масса зерен кварца, плагиоклаза и роговой обманки.

Вкрапленники представлены сильно серпентинизированными кристаллами плагиоклаза из ряда альбит-и анортитовой роговой обманкой с нормальным пласкоронизмом и с углом угасания $\text{cnp}=16-18^{\circ}$.

Дациты Кароби. По простираннию дайка тянется на 120 м, имея при этом среднюю мощность 10 м, максимальную—23 м. Дациты представляют одну из последних фаз постнадвиговой кислой интрузии, с которыми на Главном Кавказском хребте связан целый ряд рудных месторождений. В СЗ направлении, там, где дайка переходит в сланцы лейаса, она разветвляется и быстро выклинивается.

Дациты Кароби представлены светло-серыми, иногда белыми среднезернистыми породами, на светлом фоне которых резко выступают темно-коричневые гексагональные таблитчатые чешуйки биотита и блестящие чешуйки молибденита.

Эндоконтактные явления не наблюдаются. Зальбанды жилы почти ничем не отличаются от центральных частей дайки.

Экзоконтактные явления в гранитах выражены в перекристаллизации кварца и биотита в твердом состоянии; для сланцев лейаса—в появлении стяжений пигментирующего вещества и слюды, в результате чего появляются пятнистые сланцы.

Дациты Кароби характеризуются наличием большого количества постмагматического кварца, который является рудоносным. Кварц этот всегда прошит молибденитовой пылью и чешуйчатым молибденатом.

По преобладающему во вкрапленниках цветному компоненту дациты Кароби относятся к биотитовым дацитам.

Структура их порфировая, при голокристаллической основной массе. Основная масса состоит, главным образом, из кислого плагиоклаза, кварца, кали-шапана и биотита.

Из акцессорных минералов имеются призмочки апатита, циркон и рудный минерал. Величина зерен составных компонентов основной массы изменчива.

Биотит основной массы частично хлоритизирован, плагиоклаз же серпентинизирован и пелитизирован.

Вкрапленники, количество которых уступает основной массе, представлены плагиоклазом, кварцем и биотитом. Плагиоклаз образует таблитчатые, реже призматические кристаллы с двойниковой штриховкой и с зональным строением.

Большинство из вкрапленников плагиоклаза—микротиновые, часто слегка мутные, вследствие небольшой пелитизации и серпентинизации. Содержание аморфита в плагиоклазах никогда не превышает 40%, и колеблется в небольших пределах: 26—34%.

Биотит почти всегда свежий, встречается в виде призматических чешуек, иногда гексагональных табличек темно-коричневого цвета, со скромной абсорбцией $\text{pg}=\text{pm} < \text{pr}$; $\text{pg}=\text{pr}=0,045$. Наряду с совершенно свежим биотитом встречается (правда, очень редко) и полные псевдоморфозы хлорита, форма которых напоминает на мыль—то есть имеет ли мы дело с полными псевдоморфозами хлорита по роговой обманке.

Кварц образует шестиугольные разрезы с ровным угасанием, иногда с закрученными углами и краями, с внедрением основной массы, вследствие магматической растворимости.



Помимо магматического кварца, в дайках Кароби встречаются магматический кварц, мелкозернистый с торцевой структурой. Расположен он в виде жилочек и червеобразных обрзований. Со вторичным кварцем связано рудообразование, появление его обязано остаточной части дифференциата дацитовой магмы.

Процесс вторичного окварцевания не охватывает полностью всю дайку, а лишь только ее более или менее центральную часть, залыбанды дайки и частично вмещающую породу.

Судя по наличию вторичного кварца, дациты Кароби можно разделить на две группы: 1) неизмененный дацит без постмагматического кварца, и 2) окварцеванный дацит.

Судя по избыточной кремнистоте, кристаллизовавшейся в форме кварца, дациты без постмагматического кварца можно назвать кварцевыми дацитами, интродаситами или фанеродаситами по Д. С. Белинкину [1].

Дациты Киртишио. На северном склоне хребта Кароби, на левом берегу р. Чвешура, у самого конца ледника Киртишио, обнажается кислая молодая интрузия в виде неправильного тела, вытянутого в широтном направлении, с полого падающими краями, уходящими под древний гранит, площадью в 1 кв. км. Вмещающей породой является древний гранит, который под действием вышеупомянутой неонитруции ороговикован. Ороговикование выражено в появлении торцевого вторичного кварца и вторичного мелкочешуйчатого биотита. Экзоконтактные явления выражены тоже довольно резко, о чем речь будет ниже.

Породы упомянуть интрузии представлены дацитом, но далеко не однородным по составу и структуре. Центральная часть интрузии представлена крупнозернистым розовато-белым фанеродаситом [1].

Структура пород центральной части порфировая, но ввиду того, что вкрапленники преобладают над основной массой и иногда соприкасаются между собою непосредственно, макроскопически создается впечатление равномерно зернистой структуры. Состав их соответствует нормальному составу фанеродасита.

Кварц присутствует как в основной массе, так и во вкрапленниках. Близко от центра наблюдается уплотнение породы, изменение цвета, именуто потемнение, вероятно, за счет темноцветного компонента, который здесь свежее, чем в центральной части, уменьшение количества вкрапленников, благодаря чему резче выражена порфировая структура, и что самое главное, уменьшение количества кварца среди вкрапленников. Периферия массива характеризуется наличием пород с резко выраженным порфировым строением темно-серого цвета с разоватым оттенком. Величина зерна сильно уменьшается, уменьшается, вернее совершенно исчезает, и кварц, как во вкрапленниках, так и в основной массе.



Кали-шпат, встречающийся в большом количестве в основной массе интрузии, здесь отсутствует.

Несмотря на нестабильность состава, основность плагиоклаза как центральной части, так и периферии—постоянна. Не встречаются плагиоклазы выше № 40—42.

В силу того, что породы интрузии Киртишо не однородны, микроскопическое описание приведено в каждом случае отдельно.

Центральная часть. Породы центральной части интрузии довольно сильно изменены гидротермальными процессами, воздействие которых выражалось в серпентинизации и в пелитизации плагиоклаза и хлоритизации биотита. Гидротермальные процессы связаны с рудообразованием, которое приурочено именно к центральной части неонинтрузии Киртишо.

Структура их порфировая, голокристаллическая. Основная масса состоит из изометрических зерен кислого плагиоклаза, зерен кварца, кали-шпата и чешуек биотита. Из акцессорных минералов имеется апатит, пироксен и рудный минерал.

Кали-шпат основной массы—свежий, водопроницаемый, в противоположность плагиоклазу, который нацело замещен серпентитом и испутно выделившимся кальцитом, блогит тоже сильно изменен, превращен, главным образом, в хорлит.

Вкраепленники, количество которых преобладает над основной массой, представлены плагиоклазом, кварцем и биотитом.

Плагиоклаз образует крупные, сильно серпентинизированные таблитчатые кристаллы с двойниковой штрихованкой, преимущественно по альбитовому закону и почти всегда с западальной структурой. Содержание альбита не превышает 40—42%.

Вкраепленники кварца имеют таблитчатую форму, всегда с сильно закругленными краями и углами и с глубокими внедрениями основной массы, вследствие магматической ресорбции. Наряду со включениями жидкости, наблюдаются также включения основной массы. Блогит почти всегда хлоритизирован, в трещинах наблюдаются отложения эпилита и кальцита; встречается в виде гексагональных, реже призматических табличек темно-коричневого цвета с нормальными изохроизмами: пг—темно-коричневый, пр—соломенно-желтый; пг—пр=0,045. Обнаружены и такие чешуйки, которые совершенно обесцвечены и переполнены иголочки сагинита, табличками апатита и зернами широкона.

Встречаются образцы, где менее сильно выражено воздействие гидротермальных процессов, чем у вышеописанных образцов. В таких разностях плагиоклаз свежий, микротинтовый.

Примежуточная часть. Породы этой части свежие, плотные, серого цвета с розовым оттенком и наглаз—с большим содержанием темноцветного компонента. Быть может, такое впечатление связано с тем, что здесь темноцветный компонент мало изменен.

Структура порфировая, полю-кристаллическая. Основная масса с несколько меньшим верном, чем основная масса пород центральной части, состоит частью из изометрических зерен кислого плагиоклаза, частью же из микролитов плагиоклаза с максимальным углом погасания в зоне РМ равным 12°, что соответствует плагиоклазу № 12, зерни кварца, кали-шпата и чешуек биотита. Блогит основной массы частично хлоритизирован, плагиоклаз же пелитализирован, только кали-шпат непрежнему свежий, водопроницаемый. Из акцессорных минералов встречаются таблитчатый апатит, пироксен и рудный минерал, пирит, сфalerит и галенит. Вкраепленники, находящиеся почти в одинаково-

вом количестве с основной массой, представлены таблитчатым плагиоклазом [Fe₂₊Al₂Si₂O₁₀] и ковой штриховкой и с зональной структурой из ряда андезина, часто микротинового характера, и биотита.

Биотит вкрапленников почти всегда свежий, темно-коричневого цвета, со склоном к аборции $\text{Fe}^{2+}/\text{Fe}^{3+}$. Трещины его иногда выполнены кальцитом и эвандитом. Наряду со свежими чешуйками биотита, встречаются полные псевдоморфозы хлорита в формах остроугольных ромбов с усечениями острыми углами, вследствие чего мы склонны считать их за псевдоморфозы по роговой обманке.

Красная часть и зона эндоконтакта. Породы плотные, мелковернистые, темно-коричневого цвета, который обусловлен присутствием большого количества биотита как в основной массе, так и среди вкрапленников. Часто они содержат небольшие ксенолиты вмещающего их древнего гранита; иногда количество ксенолитов настолько возрастает, что получаются брекчиевидные породы из обломков древнего гранита, скементированного дайком.

Как видно из предыдущей главы, породы краевой зоны характеризуются в минералогическом отношении отсутствием кварца (магматического) и кали-штата, зато они обогащаются мелкочешуйчатым биотитом и постмагматическим кварцем.

Ввиду некоторой разнородности краевой зоны, ее можно разделить на две части: 1) зона без ксенолитов вмещающей породы и 2) зона с ксенолитами последней.

Дациты водоразделов между Бокос-цхали, Бубас-цхали, Бубас-цхали Тбилиси и между последней и р. Чанчахи. На фоне темно-серых и черных аспидных сланцев на высотах 3000—3200 метров к югу недалеко от надвиговой линии обнажаются пластовые жилы мощностью 10—15 м, привлекающие внимание уже издали своим рыжевато-желтым цветом.

Микроскопически структура их порфировая, поликристаллическая. Основная масса состоит из кварца и полевых шапок, преимущественно плагиоклазов, зерен рудного минерала и слюды.

Вкрапленники представлены нацило серпентинизированными и кальцитизированными кристаллами плагиоклаза, чешуйками биотита, заполненными мусковитом и лимонитом, и зернами кварца круглой формы.

Вся основная масса породы окрашена полными окислами железа, тем и обусловлен ее рыжевато-желтый цвет. Судя по структуре и составу, порода одной из этих жил была названа И. Г. Кузнецовым [4]—дацитом.

Порода похожа на дацит Киртишю, отличается только сильной разрушенностью почти всех составных компонентов и не обнаруживает никаких следов каталаза. Это дает нам право предполагать, что рассмотренные породы сформировались после надвига гранитов Главного Кавказского хребта на мезозойские осадки.

В заключение отметим, что наряду с вышеописанными выходами альбитофиров в исследованном районе имеются еще несколько зафиксированных нами жил, например, на водоразделе Хрелието к северу одно-



именной вершиной, в верховьях ущелья реки Зопхитура и в районе Эдена, описание которых здесь не приводится ввиду того, что они вполне аналогичны описанными альбинофирмами.

Академия Наук Грузинской ССР

Институт геологии и минералогии

Тбилиси

(Поступило в редакцию 14.8.1941)

20040300000000000000

Б. ТАТРИШВИЛИ

ЧИСТ-ЛУКС 60000000000000000000

რეზუმე

კაცისიონის მთავარი ქედის ძლიერი დარღვევების ზონაში დიდად გავრცელებულია ახალგაზრდა მიმღები ქინები (ნეონიტუზიევები), რომლებიც წარმოდგენილი არიან დაუტებით და ალბიტოფიტებით. აღნიშნული ქინები, გარდა თეორიული ინტერესისა, საყრდენებოა აგრძოვე იმით, რომ მათთან გენერიკული არიან დაკავშირებული მოვლა რიგი საბაზოები სასარგებლონია.

სკარტების სარ შეკრიტებათა აკადემიის
გეოლოგიისა და მინერალოგიის მისტიტუტი
მიმღებია

ЦИТИРОВАННАЯ ЛИТЕРАТУРА—ЛИСТОВОЛУЧКА 40000000000000000000

1. Д. С. Белянкин. Неограниты и кварцевые дациты с золотника Дых-су в Центральном Кавказе. Изв. Петрогр. Политех. Инст., т. XXIII, 1915.
2. Л. К. Конюшевский. Месторождение сурьмяных, мышьяковых и медных руд в бассейне р. Часиуры. Журн. «Минеральное Сырье», № 10, Москва, 1932.
3. И. Г. Кузицов. Рудные месторождения верхнего течения Риона. Изв. Глав. Геол.-развед. Управления, I, вып. 20, 1931.
4. И. Г. Кузицов. Геологическое строение района курорта Шома (бассейн Чаччахи в Центральном Кавказе). Труды Всесоюз. Геол.-развед. Объединения ВСНХ СССР, вып. 151, 1932.
5. И. Г. Кузицов. Геологическое строение и полезные ископаемые бассейна Часиуры в Центральном Кавказе. Материалы ЦНИГРИ, Региональная геология и гидрогеология. Сборник 1, 1933.
6. С. Ф. Маяцкий. Отчет о состоянии и деятельности Геол. Комитета в 1916 г. Изв. Геол. Комитета, т. 36, № 1, 1917.
7. С. Г. Симонович. Геологические наблюдения в бассейне верхнего течения реки Риона. Материалы геологии Кавказа. Серия I, книга 9, 1879.
8. Г. М. Смирнов. Геологическое описание части Рачинского уезда Кутаисской губ. Материалы геологии Кавказа. Серия III, книга 9, 1909.
9. Г. И. Харашвили. Геолого-петрографический очерк Каробского месторождения и условия его формирования. Известия АН СССР. Серия геологическая, 1939.
10. Н. А. Хрушев. Каробское месторождение мозабиденита в Западной Грузии. Журн. «Редкие Металлы», № 1, 1933.

ПЕТРОГРАФИЯ

Г. М. ЗАРИЛЗЕ

КИСЛЫЕ ЖИЛЬНЫЕ ПОРОДЫ РАЙОНА СЕЛЕНИЙ РИХМЕЛУРИ
И ЦИПЛАКАКИ (УШЕЛЬЕ РЕКИ ЦХЕНИС-ЦХАЛИ)
В НИЖНЕЙ СВАНЕТИИ

О наличии интрузивных пород в Нижней Сванетии нельзя встретить указаний ни в старой, ни в новой литературе, если не считать недавно вышедшей статьи А. Д. Ершова [2]; на приложенной к этой работе схематической геологической карте приводится часть геологической карты, составленной в 1937 году геологами П. Д. Гамкрелидзе, К. И. Чичинадзе и мною [1], с обнаруженными мною в этой части жильными породами.

Летом 1940 г. в Нижней Сванетии мною были встречены еще несколько выходов жильных пород. Главная их масса сосредоточена в русле р. Цхенис-Цхали, на протяжении от сел. Рихмелури до сел. Циплакаки (зафиксировано 22 выхода). Размеры этих жил небольшие. Самые крупные из них (3—4 жилы) имеют мощность 40—50 м, мощность же остальных жил часто не превышает 5—10 м.

Все эти жилы залегают в песчано-сланцевой свите верхнего лейаса, на основании чего можно говорить о послелейасовом их возрасте. На имеющиеся породы они никаких контактовых воздействий не оказывают. Изучение имеющих песчаников под микроскопом показало, что они состоят из обломков кварца, плагиоклаза, иногда сильно разрушенного, а иногда свежего, с простыми и полисинтетическими двойниками, чешуек мусковита и хлорита. Кроме того, в шлифе содержится 1—2 зерна микроклинпирита древних гранитов. Перечисленные минералы сконцентрированы известково-глинистой массой.

Жильные породы рассматриваемого района представлены двумя группами: кислыми и основными. Кислые породы представлены кварцевыми порфиритами и альбитизированными кварцевыми порфиритами (альбит-фирами), а основные породы — авгитовыми порфиритами, роговообманковыми порфиритами, плагиоклавовыми порфиритами и диабазами.

Внедрение первой группы пород, повидимому, произошло во время предкелловейской орогенетической фазы (в батское время, по А. И. Джанелидзе), затем, под действием гидротермальных растворов, часть этих



жил подвергалась превращению — альбитизации плагиоклаза и хлоритизации темноцветных компонентов (роговой обманки и биотита).

Кварцевые порфириты. Породы, слагающие эти жилы — светло-серые, полнокристаллические, с серой основной массой и с порфировыми вкрапленниками белого плагиоклаза, кварца и темноцветного минерала.

Под микроскопом структура порфировая, полнокристаллическая. Основная масса состоит преимущественно из изометрических зерен кварца, плагиоклаза, зерен рудного минерала, пластинок хлорита, более крупных, чем вся остальная масса, кристаллов апатита и роговой обманки. Плагиоклаз основной массы мутный, довольно сильно пелитизированный, количество его преобладает над всеми компонентами. Присутствие кали-шпата в основной массе остается под сомнением. Кали-шпат, исследованный в порошке иммерсионным методом, повидимому, принадлежит к антипертиту вкрапленников. Размеры зерен основной массы колеблются от 0,005 мм² до 0,003 мм².

Вкрапленники представлены плагиоклазом, кварцем, роговой обманкой, полными псевдоморфозами радиально-лучистых агрегатов прецита по плагиоклазу и хлориту по роговой обманке и биотиту. (Микрофотографию кварцевого порфирита см. на рис. 1, Ник.+).

Плагиоклаз образует крупные, полисинтетические двойниковые по альбитовому и каралебадскому законам, часто зональные кристаллы с антипертитовыми вростками. Результаты измерения плагиоклазовых двойников по Федоровскому методу следующие:

№ № образцов	661	661	665	669	691
G 8	27°	67° ^a	66°	64°	28°
P 6	85°	52° ^b	43°	48°	82°
zV 9	85° ₍₁₎	82° ₍₂₎	84° ₍₃₎	85° ₍₄₎	90° ₍₅₎
Дв. зак.	+ (010)	[001]	[001]	[001]	+ (010)
№ Р1	46	45	52	49	48

Антипертит представлен трудно различимыми, очень тонкими, неравномерно распределенными, червеобразными прорастаниями. Он не характерен для всех вкрапленников плагиоклаза и приурочен преимущественно к крупным индивидам. Наряду с крупными вкрапленниками плагиоклаза, наблюдаются и более мелкие, слегка серпентизированные и эпидотизированные его кристаллы. Степень разрушения обоих поколений плагиоклазов одинакова. Размер 7,18 мм²^c.

^a Обозначения G и P предложены В. Н. Лодочниковым для координат двойниковых образований (см. [4]).

^b Обозначения (1) и (2) под цифрами величины углов между оптическими осями указывают на то, что измерения производились соответственно по одному и по двум выходам оптических осей.

^c Размер вкрапленников всегда дается максимальный, так как в шлифах наблюдаются все промежуточные размеры от крупных кристаллов до основной массы.

Роговая обманка представлена крупными кристаллами, с нормальным плеохроизмом в зеленых тонах, с углом погасания $\text{csg} = 21^\circ$ и с $2V = -76^\circ, -72^\circ, -80^\circ$; среднее $2V = -76^\circ$, что соответствует обыкновенной роговой обманке. Как правило, она слегка хлоритизирована, причем хлоритизация почти всегда начинается с периморфии, но встречаются и нацело хлоритизированные кристаллы. Быть может, незначительная часть хлорита, преимущественно полные псевдоморфозы его, образована за счет биотита. Наряду с хлоритизацией роговой обманки, наблюдается и эпидотизация. Эпидот образует пятна и прожилки. Размер роговой обманки $0,68 \text{ mm}^2$.

Кварц всегда с ровным угасанием, с резорбированными краями, со включением основной массы. Размер $3,20 \text{ mm}^2$.

Для химической характеристики кварцевых порфиритов ниже дается анализ образца № 661, произведенный химиком О. Ф. Размадзе в петрохимической лаборатории кафедры минералогии и петрографии Тбилисского Государственного Университета им. Сталина.

SiO_2	64,66	1,078	1,078	71,82	MnO	0,16	0,002	
TiO_2	0,18	0,003	0,003	0,20	SO_3	0,46	0,006	
Al_2O_3	15,84	0,155	0,155	10,33	P_2O_5	0,01	—	
Fe_2O_3	2,58	0,016			K_2O	2,53	0,027	0,027 1,79
FeO	2,23	0,031	0,063	4,19	Na_2O	4,55	0,073	0,173 4,86
CaO	4,31	0,077	0,077	5,14	p.p.p.	1,38		
MgO	1,05	0,025	0,025	1,67	Влаги	0,22	0,089	
Сумма							100,166/3	1,501 100,006/3

Магматические формулы и коэффициенты. По Левинсон-Лессингу: $1,37 \overline{\text{RO}} \cdot \text{R}_2\text{O}_3 \cdot 6,30 \text{ SiO}_2$, $\text{R}_2\text{O}: \text{RO} = 1:1,35$, $a = 2,88$. По Озану: $S = 72,02$, $a = 7$, $c = 4$, $f = 9$, $n = 7,31$.

Альбитизированные кварцевые порфириты. Породы эти представлены жилами различной величины, самый большой их выход расположен в 0,25 км выше села. Рилемури, жила обнажается на левом берегу р. Цхенишхали и переходит на правый ее берег. Здесь, ввиду плохой обнаженности, жила не прослеживается, но судя по азимуту падения песчано-сланцевой свиты у шоссе ($\text{NW} 320^\circ \angle 65^\circ$), и принимая во внимание контур жилы, нужно полагать, что в этом месте она пересекает осадочные образования, подымаясь по склону на некоторое расстояние. Затем загибает на север, где принимает, в основном, согласное с осадочными породами залегание. Схема залегания этой жилы дана на рис. 2.



Рис. 1.

Остальные же выходы альбитизированных кварцевых порфириотов образуют частью согласные, частью несогласные жилы, имеющие небольшие размеры.

Породы, слагающие эти жилы, состоят из серой мелкозернистой основной массы и порфиритовых вкраплеников белого, розового и желто-ватого полевого шпата, кварца, количество которого варьирует, и темно-цветного минерала. Иногда в породе включены темные мелкозернистые шлировые образования, описание которых дается ниже.

Под микроскопом альбитизированные кварцевые порфириты имеют порфировую поликристаллическую структуру с мелкозернистой ($0,003 \text{ mm}^3$) основной массой, причем величина зерен в различных образцах изменчива и достигает $0,01 \text{ mm}^3$, состоит она, главным образом, из изометрических зерен полевого шпата, кварца, чешуек мусковита и кальцита.

Из аксессорных минералов всегда присутствуют апатит, пирокан и рудный минерал. По данным иммерсионного метода, в основной массе кали-шпат не содержится.

Порфировые вкраплениники, количество которых уступают количеству основной массы, представлены плагиоклазом, кварцем и псевдоморфозами хлорита с кальцитом по роговой обманке, иногда по биотиту.

Плагиоклаз представлен крупными сдвоиникованными, призматическими, всегда альбитизированными кристаллами. Наряду с альбитом за счет плагиоклаза образуется кальцит и эпидот, а иногда выделяется избыточная кремнекислота в виде кварца. В некоторых случаях процесс превращения протекает зонально; в таких кристаллах мы имеем незагрязненную краевую зону альбита и центральную зону эпидота или кальцита (шл. № 3). В отдельных шлифах хорошо можно наблюдать магматическую коррозию плагиоклаза. Результаты измерения плагиоклазов на столике Федорова сведены в нижеследующую таблицу:

№ образцов	3	3	3	13	14	605	618	644	672	675
G	78°	74°	76°	73°	73°	70°	86°	17°	77°	70°
P	85°	90°	88°	90°	85°	75°	13°	90°	90°	90°
zV	84°(3)	—	86°(3)	90°(3)	86°(3)	80°(3)	86°(3)	90°(4)	—	—
Dв. зак.	[001]	[001]	[001]	[001]	[001]	[001]	[+001]	(010)	[001]	[001]
№ Pl	4	0	0	0	3	7	10	4	0	0

Размер зерен плагиоклаза $13,27 \text{ mm}^3$.

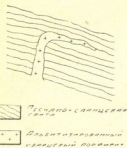


Рис. 2.



Хлорит образует псевдоморфозы, главным образом, по роговой обманке, реже по биотиту; неизмененные остатки того или другого темно-цветного компонента ни в одном шлифе обнаружить не удалось. Их былое содержание удается установить по формам псевдоморфоз. Наряду с хлоритизацией биотита наблюдается обесцвечивание его с образованием мусковита (см. микрофотографию рис. 3, Ник.+).

Показатель преломления хлорита, образованного за счет роговой обманки, $n_{D}^{20} = 1,626$ (шл. 3), что соответствует ришиолиту [3].

Хлорит замещает роговую обманку полностью или же, как правило, центральная часть ее зерен кальцитизирована, а краевая хлоритизирована (см. микрофотографию рис. 4, Ник. ||) с выделением магнетита, а иногда и кварца.

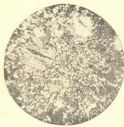


Рис. 3.



Рис. 4.

Хлорит в некоторых шлифах встречается также в виде линзочек или отдельных скоплений (шл. 2). В хлоритах, образованных по биотиту, имеются жилочки кальцита, расположенные по трещинам спайности (рис. 3). Некоторые из них образуют раздувы; в таких случаях они оставляют впечатление линзочек. Размер зерен $3,98 \text{ mm}^3$.

Кварц представлен кристаллами, имеющими округленные и зазубренные края, всегда с ровным угасанием и со включением основной массы. Иногда он разорван (рис. 5), отдельные части его повернуты относительно друг друга на некоторый угол.

Нередко вокруг корролированного кварца имеется мелкозернистый агрегат кварцевых зернышек (рис. 5), которые, повидимому, образованы в конце магматической коррозии, когда наступила такая температура, при которой



Рис. 5.



далее расплавление—еще не полностью расплавленных зернышек прекратилось.

В некоторых образцах (№№ 2, 655, 657) кварц содержится только в основной массе. Величина вкраплеников кварца 3,53 мм².

Для химической характеристики ниже дается анализ Рыбхмелурского альбитизированного кварцевого порфирита, образца № 605, произведенный в Геохимической лаборатории московского геологоразведочного института им. Орджоникидзе химиками Васильевой и Хованским.

SiO ₂	61,20%	1,020	1,020	69,10	SO ₃	следы			
TiO ₂	0,69%	0,009	0,009	0,61	P ₂ O ₅	0,25%	0,001	0,021	1,42
Al ₂ O ₃	15,26%	0,150	0,150	10,16	K ₂ O	2,02%	0,021	0,071	4,81
Fe ₂ O ₃	2,04%	0,013		4,17	Na ₂ O	4,40%	0,071		
FeO	2,68%	0,038	0,063	5,90	п.п.п.	4,74%			
CaO	4,84%	0,087	0,087	3,67	Влаги	0,20%		1,476	100,00%
MgO	2,16%	0,054	0,054	0,026	Сумма	100,61%			
MnO	0,13%	0,001	0,001						

Магматические формулы и коэффициенты. По Левинсон-Лессингу: 1,67 R₂O-R₂O₃, 6,26 SiO₃, R₂O:RO=1:1,95, n=2,68. По Олану: S=69,71, a=6, c=4, f=10, n=7,72.

Шлиры. Как было указано, иногда в кварцевых порфиритах наблюдаются включения темных мелкозернистых образований (шлиры). Попадаются и такие участки, где количество их настолько увеличивается, что порода приобретает как бы брекчийевидный облик (обр. 6₃, 16₃). Составляет из кварца, плагиоклаза, обесцвеченного биотита, полных псевдоморфов хлорита, иногда вместе с кальцитом, частью в виде призматических пластинок, частью в виде ксеноморфных выделений, зажатых между кристаллами плагиоклаза, довольно большого количества длинных призматических кристаллов апатита, рудного минерала и циркона.

Плагиоклаз образует кристаллы различной величины и формы, с показателем преломления значительно выше, чем у кварца. Он всегда частично или полностью заменен серцитом и кальцитом. Местами сочетание его с хлоритом дает участки с ойттовой структурой. Мелкие призматические разности плагиоклаза часто образуют пойкилитические включения в кварце, причем контуры как кристаллов плагиоклаза, так и кварца стушеваны (расплывчаты), вследствие сильного разрушения.

Кварц почти всегда ксеноморфен, встречается в виде различной величины и формы зерен, иногда с оплавленными и зазубренными краями. Часто в него включены: плагиоклаз, обесцвеченный биотит, хлорит и апатит.

Хлорит, как уже отмечено выше, дает то илиоморфные призматические пластинки, то ксеноморфные участки, последние зажаты между

кристаллами плагиоклаза, повидимому, являются результатом замещения интерсертальной массы.

Судя по структуре если не всей породы, то некоторых ее участков, надо думать, что описанные нами ксенолиты позаимствованы из диабазовых жил, имеющих в нашем районе широкое распространение.

Характер кварца в шлифе не ясен, но судя по тому, что диабазы данного района содержат вторичный кварц, кварц ксенолитов нужно считать также вторичным.

Сравнение химических анализов и магматических формул говорит за большую близость альбитизированных и неальбитизированных кварцевых порфириров. Более или менее чувствительно преобладание кремнекислоты в образце № 661 (на 3,46%), повидимому, вызванного большим содержанием кварца в данном штуфе.

Как явствует из описания, альбитизированные кварцевые порфириты являются измененными кварцевыми порфиритами. Под действием гидротермальных растворов происходит превращение одних минералов в другие, в более стойкие при новых условиях. Одни жилы кварцевых порфиритов изменились незначительно, другие больше, а некоторые из них изменились настолько сильно, что отдельные первичные минералы совершенно исчезли.

Причиной столь различного изменения жил кварцевых порфиритов на сравнительно небольшой площади их распространения, повидимому, является развитие благоприятных трещин, для циркуляции гидротермальных растворов, поблизости с теми жилами, которые изменины в большей степени.

Как в альбитизированных, так и не в альбитизированных кварцевых порфиритах, биотит, как менее стойкий минерал, под действием гидротермальных растворов перешел в хлорит и мусковит. Кроме того, за счет разрушения плагиоклаза образовались серпентин и эпидот, а также выделилась избыточная кремнекислота, в виде кварца. В альбитизированных кварцевых порфиритах не осталось ни одной неизмененной роговой обманки. Хлорит замещает роговую обманку целиком, или же, как правило, центральная ее часть кальцитизирована, а краевая хлоритизирована (см. рис. 4).

Академия Наук Грузинской ССР
Институт геологии и минералогии
Тбилиси

(Поступило в редакцию 14.8.1941)



შ. ზარიძე

სოჭ. ჩოხატაურისა და წილაპირაკის ასიონის (მდ. ცხენის შეღის) შეავავი ძარღლის მანიშვილი გიორგი გიორგის ძე

რეზემე

ქვემო-სეანეთში ინტრუზიული ქანების არსებობის შესახებ არაფერი იყო ცნობილი. 1937 წლის საზაფხულო მუშაობისას [1] და შემდეგ 1940 წელს ჩემ მიერ ჩატარებული გამოკვლეულის შედეგად, აღმოჩენილი იქნა მთელი რიგი მევე და ფურქ ინტრუზიული სხეულები. მევე ინტრუზიული ქანები ზედ ლევასის ქვიშა-ფიქლების წყებაზი ქვემინან სხვადასხვა ზომის ძარღვებს. წირმოლებებისას არიან ქარცინი პორფირიტისა და ალბიტიზიტებული ქარცინი პორფირიტით (ალბიტოფირით); უკანასკნელი პოსტკველებისას (პიდრო-ცერმალური) პროცესების ზეგავლენით სახეშეცელილ ალბიტიზიტებულ და ქლორიტიზიტებულ გრარცინ პორფირიტს წარმოადგენს.

ორნიშნული ქანები წარმოშობილი უნდა იყენენ გალოფერის წინა დროს არაგენერიკულ ფაზაში, რომელსაც აყალ. ა. ჯანელიძის აზრით აღვი-დი ჰქონდა ბათურ საუკუნეში.

საქართველოს სსრ მუკრიტებათა აკადემია ცოლოვისა და მინერალოგის ინსტიტუტი
თბილისი

ЦИТИРОВАННАЯ ЛИТЕРАТУРА—ЦИТИРУЕМОЕ ВЪДОХОДНОЕ ПОСТАНОВЛЕНИЕ

- П. Д. Гамкрелидзе, Г. М. Заридзе и К. И. Чичинадзе. Отчет Абхазской геолого-поисковой партии Закавказского отделения союзгеометрразведки. Фонды закредметразведки. Тбилиси, 1937.
- А. Ф. Ершов. Рудоносность Верхней Рачи и Саатети. Журн. «Советская Геология» № 8, 1940.
- Е. Ларсен и Г. Берман. Определение прозрачных минералов под микроскопом, стр. 288, 1937.
- В. Н. Лодочников. Несколько замечаний по поводу применения микроскопического метода Е. С. Федорова. Зап. Всеросс. мин. общ., ч. 69, № 2—3, 1940.

БОТАНИКА

Д. И. СОСНОВСКИЙ

НЕКОТОРЫЕ НОВИНКИ КАВКАЗСКОЙ ФЛОРЫ

I. Дополнения к познанию кавказских ирисов

Ирисы являются замечательным украшением кавказской флоры. Видовое и внутривидовое разнообразие представителей рода на Кавказе чрезвычайно велико и до сих пор еще до конца не исчерпано. Не проходит почти года, чтобы не появлялось в печати описание новых видов, разновидностей или гибридных форм рода.

Столетие прошло с сравнениями для того, чтобы убедиться, насколько расширились наши представления о видовом и внутривидовом богатстве наших ирисов за последние сорок лет. Так, к 1899 г. во «Флоре Кавказа» В. И. Линского [1] приводится всего лишь 18 видов, а с разновидностями—19 форм этого рода. В 1909 г. в «Определителе растений Кавказа и Крыма» [2] А. Фомина и Ю. Воронова их насчитывалось 21 вид и 25 форм. В первом издании «Флоры Кавказа» [3] А. А. Гросгейма в 1928 г. упоминается уже 32 вида и 42 формы. Наконец, во втором издании той же «Флоры» [4] в 1940 г. насчитывается, правда, несколько меньшее число видов—30, зато общее число кавказских форм рода возросло до 52 и, помимо того, приводятся еще три гибридные формы.

Таким образом, по сравнению с 1899 г. общее число видов возрасло почти в два раза, а общее число форм даже почти в три раза.

Посреди кавказских представителей рода насчитываются некоторые виды, характеризующиеся исключительным внутривидовым разнообразием, как напр. *Iris Camillae* A. Grossh.—одно из красивейших растений кавказской флоры полупустынь Восточного Закавказья, представленного 15-ю разновидностями и *I. elegantissima* D. Sosn., в пределах которого установлено пока 8 форм¹. Значительным разнообразием отличаются также виды *Iris acutiloba* C. A. M. (15 форм), *lycotis* G. Wotou., *lineolata* A. Grossh. и *Schelkovnikovii* Fom. (по 4 формы).

¹ Самостоятельность этого вида, установленного нами в 1915 г., до настоящего времени продолжает для нас оставаться несомненной, несмотря на попытку С. Г. Тамамшян [5] рассматривать этот вид, как синоним *Iris iberica* Hoffm. Этую же точку зрения полностью разделяет с нами и А. А. Гросгейм, во втором издании своей «Флоры Кавказа», подчинивший все разновидности *Iris iberica*, описанные С. Г. Тамамшян, виду *I. elegantissima* D. Sosn.



Еще далеко не полностью исчерпано внутривидовое разнообразие *Iris pumila* L. и *I. iberica* Hoffm. Последний из указанных видов таит в себе еще очень много пока не выявленных кавказскими систематиками форм, а также, повидимому, легко образует гибриды с близкими видами. Описание двух форм, имеющих связь с этим видом, предлагается ниже вниманию читателя.

Iris iberica Hoffm. var. *robusta* D. Sosn. var. n.

Planta robusta caule florifero ad 28 cm alto (sine flore), folia valde glauca late-linearia ad 25 cm longa. Perigonii phylla subrotunda, macula centrali obovata atro-brunneo-violacea, ceterum cremeo ob macula et punctula rubro-brunnescentia confluentia numerosa quasi reticulata, subtus pallida basi violacea. Phylla interna subrotunda pallidissime lilacina obscure nervosa, inter nervos punctulis rubidis minutissimis. Stigma lobis basi atro-vinosus, ceterum cremeis punctulis rubido-brunnescentibus conspersum. Floret aprilis.

Georgia. Distr. Bortschalo, prope urb. Schulaveri. In sectione caucasica Instituti Botanici Tbilisiensis colitur.

A typō statura robustiore, perigonii phyllis externis brevioribus subrotundis intensius coloratis, internis cremeis, stigmatis lobis pallidioribus brunneo punctulatis sat bene difert.

Растение более мощное, чем типичная форма; цветочный стебель 28 см выс. (без цветка), листья весьма сизые, широко-линейные, до 25 см дл. Наружные листочки околоцветника почти округлые в центре с бархатистым очень темным коричневато-фиолетовым пятном обратно-яйцевидной формы, весь листочек по кремовому фону с красновато-коричневатым сливющимися пятнышками и точечками, образующими подобие густой сетки, с нижней стороны бледные, у основания фиолетовые; внутренние листочки околоцветника почти округлые очень бледно-сиреневые с точайшими более темными петвящимися жилками, последние к основанию становятся более темными, коричневато-красноватыми; в промежутках между жилками появляются мельчайшие красноватые точечки. Лопасти рыльца у основания темно-вишневого цвета, в остальном по кремовому фону с рисунком, образованным красновато-коричневатыми точками. Цветет в апреле.

Грузия. Борчало. В окр. г. Шулавери. Культивируется на Отделе живой кавказской флоры Ботанического Института. Цветет в апреле.

Описываемое нами растение изучается нами в живом состоянии уже с 1929 года. По целому ряду признаков оно сходно с *I. iberica* Hoffm., от которого, однако, отличается более высоким ростом, более короткими, почти округлыми и более интенсивно окрашенными наружными листочками околоцветника с более крупным пятном. Внутренние листочки околоцветника кремовые (как у *I. elegantissima* D. Sosn.); лопасти рыльца более



бледно-окрашенные с красновато-коричневыми точками. Помимо этого наша форма заставляет значительно позднее типичной формы, период цветения тоже более продолжительный и растягивается в среднем до трех дней. Все эти качества представляют большую ценность для садовода, даже большую, чем особенности типичной формы.

Типичная форма *I. iberica* до настоящего времени была находима исключительно в окрестностях Тбилиси (ущелье р. Веры, Григориополь, г. Махата, Ботанический Сад, между ст. Саганлуг и Кумиси)¹¹. К сожалению, одно время этот ирис подвергался усиленному выкапыванию, корневища его сбывались различным садовым заведениям, поэтому он становился все более и более редким и в настоящее время во многих пунктах своего прежнего произрастания почти исчез.

Грузинский ирис, очевидно, образует одну таксономическую группу, с одной стороны, с более восточным видом — *Iris Camillae* Grossh., с другой с более южными видами: *I. elegantissima* D. Sosn. и *I. lycotis* G. Woron. Предки *Iris iberica* могли проникнуть в Восточную Грузию во время одного из ксеротермических периодов вместе с целым рядом представителей ксерофитных обитателей Передней Азии.

×Iris sinistra D. Sosn. sp. hybr. n.

(*×Iris huegelii* × *Iris iberica*)

Rhizoma horizontale, caule florifero ad 20 cm alto, unifloro, basi tantum folioso. Folia radicalia glauca linearia arcuata acuta caule subdupo breviora, lamina ad 8 cm longa. Spatha membranacea subinflata basi viridi-lutescens parte superiore pallidissime livida ad 6 cm longa, foliolis acutissimis lanceolatis. Perigonii phylla externa late elliptica ad 5,5 cm longa, 3 cm lata apice vix angustata obtusa, integra, basi late cuneata, in unguem non angustata, basi macula vinosa instructa, versus apicem macula altera ovata, apicem versus acutata atroviolacea donata; apice cum nervis atroviolaceis et punctulis inter se confluentibus maculam quasi tertiam formantibus, ceterum crema nervis sat crassis atroviolaceis praesertim dichotomicis margines phyllorum attingentibus praetereaque maculis permultis notata; perigonii phylla interna erecta apice reclinata rotundato-obovata apice rotundata versus basin in unguem exiguum atroviolaceum sensim cuneato-angustata, pallide lilacina nervis reticulatis dichotomice ramosis atroviolaceis et punctulis minutissimus rubido-violaceis notata. Stigma convexum atro-violaceum acute carinatum lacinis inaequalibus

¹¹ На одном из своих докладов в 1921 г. Н. А. Троицкий отмечал, что он находил *I. iberica* возле железнодорожной станции Сандар, а также к востоку от с. Люксембурги против с. Кочуло и высказывал предположение о том, что это растение распространено по всей гряде холмов, тянущейся от Сандара до Люксембурги. Изучение растения с последнего местонахождения обнаружило, что оно относится к var. *gibba* np.



triangularibus; stamina filamentis atro-violaceis, anthera crenata oblonga, apicem aequantia.

Tbilisi in sectione caucasica Instituti Botanici Tbilisiensis anno 1939 a J. Mulkidzhaniano reperta est.

Корневище горизонтальное; цветущий стебель вместе с цветком 20 см выс., лишь при основании олиственный; прикорневые листья сизые, линейные, дуговидные, остроконечные, раза в два короче стебля, пластинка их до 8 см дл., крыло перепончатое, слегка волутое, внизу зеленовато-желтоватое, в верхней части очень бледно багровое, до 6 см дл. с очень острыми листочками; наружные листочки оконцветника широко-эллиптические до 5,5 см дл. при 3 см шир., на верхушке слегка суженные, тупые, цельнокрайние, к основанию широко-клиновидные, не суженные в ноготок, при основании с размытым пятном интенсивного цвета, неподалеку от верхушки находится второе резко очерченное бархатистое очень темно-фиолетовое пятно яйцевидной формы, к верхушке довольно сильно заостряющееся, наконец, у самой верхушки листочка, благодаря тесному соприкосновению темно-фиолетовых жилок и мелких точек, образуется подобие сильно размытого третьего пятна; в остальном листочки по очень бледному кремовому фону с довольно толстыми темно-фиолетовыми, обычно вильчато-ветвящимися жилками, большей частью доходящими до края листочка, и, кроме того, с не очень обильными точками того же цвета; при основании в своей средней части листочки усеяны довольно обильными очень темно-фиолетовыми волосками, не доходящими на среднее пятно, края листочек заворочены вниз. Внутренние листочки оконцветника вверх стоячие, внутрь согнутые округло обратно-яйцевидные, на верхушке закругленные, к основанию постепенно клиновидно-суженные в подобие очень короткого темно-фиолетового ноготка, по бледному грязно-серевому фону с сетью тонких вильчато-ветвящихся жилок и, помимо того, в средней части с более красновато-фиолетовыми мельчайшими точечками. Трубочка венчика 3,5 см дл., почти равна завязи. Рыльце выпуклое темно-фиолетовое, по средине с довольно острым килем, лопасти его неравнобокие, треугольные с тонкими темно-фиолетовыми жилками; тычинки с темно-фиолетовыми нитями, почти равными кремовому продлогонитому пыльнику.

Собрano на Отделе живой кавказской флоры ТБИИ в апреле 1940 года Я. Мулкиджаняном.

Растение производит впечатление гибрида между *Iris lineolata* (Trautv.) Grossh. и *I. iberica* Hoffm. Форма наружных листочков оконцветника — средняя между таковой у *Iris lineolata*, более широкая и тупая, чем у данного вида и *Iris iberica*. Внутренние листочки оконцветника и рыльца устроены по типу *I. iberica*. Очевидно, в данном случае мы имеем дело со спонтанным гибридом, возникшим на Отделе, где издавна культивируются оба вышеупомянутые вида, которые возможно признать за родителей *I. sinistra*.

В текущем 1941 г. описанное нами растение вторично расцвело. Имя нового вида вновь был проверен на живом экземпляре.

Данную форму желательно размножить вегетативным путем и ввести ее в садово-лесную культуру.

II. Новый вид *Lactuca* из Армении

Lactuca Takhtadzhianii D. Sosn. sp. n.

§ 5. *Mulgedioideae* Boiss. **Cyanaceae* Boiss. Fl. Or. III (1875) 804.

Perennis, glaberrima, rhizomate ascendentem ramoso. Caules et rhizomatis ramis enascentes numerosi 13—36 cm alti, superne rarius a medio thyrsideo-ramosi, ramis divaricatis. Folia saepius omnia rosularia (rarius ad caulis basin folia nonnulla adsunt), sessilia glaucescentia, carnosula, subcordiacea integra obovata v. oblongo-obovata 5,5—12,0 cm longa maxima latitudine laminac in tertiam partem superiore sita 3,0—4 cm, acuta, acuminata, margine remota et inaequilater acute acuminato-dentata dentibus rectis v. subrecurvis nervis subtus valde prominentibus; folia caulina si adsunt pauca sensim decrescentia sublanceolata, floralia valde diminuta acuminato-protracta acuta basi subcordato-auriculata caulem amplexentia, floralia subulata v. squamiformia minutissima. Capitula numerosa florifera obconico-cylindrica parva 0,9—1,0 cm longa, 3—4 mm lata fructifera aperta hemisphaerica obconica, involucrum polyphyllum phyllis imbricatis ab externis breviter linearibus ad intima lanceolato-linearia statim aucta, omnia obtusiuscula; flores cyanei. Achaenia compressa oblongo-obovata nigra apice rostro brevissima viridi apice in discum depresso-cylindricum dilatatum transeuntem instructa, omnia longitudinaliter elevato-striata minutissime tuberculata 3 mm longa, pappo albo achenium subaequante setis barbellatis.

Арmenia. Daralagëz. Inter p.p. Khachik et Akhura, in declivibus argillosis siccis in consortio *Serratulae coriaceae*. 6.VIII.40. Leg. A. Takhtadzhian.

Specimina authentica in Herbario Instituti Botanici Filiationis Armenicae Academiae Scientiarum URSS conservantur.

Species distinctissima ab omnibus g. *Lactucae* speciebus caucasicis adhuc cognitis eximie diversa.

Голое многолетнее растение с восходящим ветвистым корневищем. Стебли, возникающие из разветвлений корневища, многочисленные, 13—36 см выс. (в среднем 18,1 см) в верхней части, реже от середины, циклонидно ветвистые с расходящимися ветвями. Листья его большей частью все прикорневые (реже при основании стебля помещается несколько стеблевых листьев), сидячие, сизоватые, слегка мясистые, чуть кожистые, простые, обратно-яйцевидные или продолговато-обратно-яйцевидные, к основанию



постепенно суженные с наибольшей шириной в верхней трети, длиной 5,5—12,0 (в среднем 7,5) см, наибольшая ширина 3,0—4 (в среднем 3,6) см, острые, остроконечные, по краю неравномерно отдалено остроконечно-зубчатые с прямыми или слегка загнутыми зубцами, перья с нижней стороны листа резко выступающие; стеблевые листья (если они имеются) немногочисленные, постепенно уменьшающиеся, почти ланцетные, верхние весьма уменьшенные, остроконечно вытянутые, острые, при основании сердцевидные со стеблехватывающими ушками, при соцветиях шиловидные или чешуйчатые, очень мелкие. Цветки голубые; корзинки многочисленные, во время цветения обратно-конические цилиндрические, во время плодоношения открытые; полуциркульно-обратно-конические; обертка многолистная с черепичатыми листочками, от наружных коротко-линейных до внутренних ланцетно-линейных сразу увеличивающиеся, все туповатые. Семянки сплюснутые, продолговато-обратно-яйцевидные, на верхушке оттянутые в очень короткий зеленый носик, расширяющийся в приплоснутый диск, все с продольными возвышающимися полосками, очень мелко бугорчатые (смотреть под бинокуляром), 3 мм дл., летучка белая, почти равная семянке с чуть бородчатыми щетинками.

Армянская ССР. Даралагез. Между с. Хачик и Ахуря, на сухих глинистых склонах в зарослях *Serratula coriacea*. 6.VIII.40. Собр. А. Тахтаджян.

Очень своеобразный вид, хорошо отличающийся от всех до сих пор известных кавказских видов р. *Lactuca*.

Аутентичный экземпляр хранится в гербарии Отдела систематики Ботанического Института Ариянского Филиала АН СССР в г. Ереване.

Описываемый здесь вид впервые был собран А. Л. Тахтаджяном с того же местонахождения еще в 1938 году, но всего лишь в одном единственном экземпляре, к тому же лишенном зрелых плодов; поэтому, он был отнесен нами к р. *Lactuca* лишь провизорно. В 1940 г. А. Л. Тахтаджян собрал весьма обширный материал, по которому и составлено настоящее описание.

Благодаря весьма короткому носику семянок, данный вид приходится относить к секции *Mulgedioideae* Boiss. в группу с голубыми цветками. В этой группе, однако, наш вид занимает совершенно обособленное положение, и мы затруднялись сравнить *L. Takhtadzhiani* с каким-либо известным видом группы *Mulgedioideae*.

Весьма характерным является весь облик нашего растения с его плотными толстоватыми сизоватыми листьями, как бы свидетельствующий об галофитном образе жизни данного вида.

Академия Наук Грузинской ССР
Тбилисский Ботанический Институт

(Поступило в редакцию 2.8.1941)



Рис. 1. *Laeliosa Takhtadzhianii* D. Sosn. Облик всего растения. 1—отцвистая коронка; 2—отдельный цветок; 3—зрелая семянка; 4—стеблевой лист.
(Рис. П. Г. Ратишвили).



д. ботаник

Четвиги Абхазии и Кабардино-Балкарии в 20-е годы

Научный

I. *Луковицы* *Красные* с *зелеными* *листьями* *и* *цветами*

Согласно описанию Борисова-Алабяна *Красные* *листья* *зеленые* *и* *цветы* *красные* *и* *зеленые*. *Листья* *широкие*, *линейные*, *с* *острым* *кончиком*, *изогнутые*, *с* *зубчатым* *краем*, *с* *широкими* *острорежущими* *зубчиками*, *с* *острым* *нижним* *краем*.

Согласно описанию *Iris Camillae* A. Grossh., *Iris elegantissima* D. Sosn. и *Iris Iycatis* G. Woron. *Листья* *широкие*, *линейные*, *с* *острым* *кончиком*, *изогнутые*, *с* *широкими* *острорежущими* *зубчиками*, *с* *острым* *нижним* *краем*.

Согласно описанию *I. iberica*-*var. robusta* D. Sosn.-*и* *J. f. tenuior* D. Sosn. *Листья* *широкие*, *линейные*, *с* *острым* *кончиком*, *изогнутые*, *с* *широкими* *острорежущими* *зубчиками*, *с* *острым* *нижним* *краем*.

Возможно, что *I. iberica*-*var. robusta* и *I. tenuior* D. Sosn. являются синонимами. Вид *I. iberica* был описан в 1929 году.

Iris sinuata D. Sosn.-*и* *I. sibirica*-*var. sinuata* D. Sosn. *Листья* *широкие*, *линейные*, *с* *острым* *кончиком*, *изогнутые*, *с* *широкими* *острорежущими* *зубчиками*, *с* *острым* *нижним* *краем*. *Листья* *широкие*, *линейные*, *с* *острым* *кончиком*, *изогнутые*, *с* *широкими* *острорежущими* *зубчиками*, *с* *острым* *нижним* *краем*.

Согласно описанию *I. sinuata* D. Sosn. *Листья* *широкие*, *линейные*, *с* *острым* *кончиком*, *изогнутые*, *с* *широкими* *острорежущими* *зубчиками*, *с* *острым* *нижним* *краем*.

II. *Lactuca*-*и* *семена* *и* *листья* *и* *цветы*

Согласно описанию Борисова-Алабяна *Листья* *широкие*, *линейные*, *с* *острым* *кончиком*, *изогнутые*, *с* *широкими* *острорежущими* *зубчиками*, *с* *острым* *нижним* *краем*. *Листья* *широкие*, *линейные*, *с* *острым* *кончиком*, *изогнутые*, *с* *широкими* *острорежущими* *зубчиками*, *с* *острым* *нижним* *краем*. *Листья* *широкие*, *линейные*, *с* *острым* *кончиком*, *изогнутые*, *с* *широкими* *острорежущими* *зубчиками*, *с* *острым* *нижним* *краем*.

Согласно описанию *Lactuca* *Takhtadzhianii* D. Sosn. *Листья* *широкие*, *линейные*, *с* *острым* *кончиком*, *изогнутые*, *с* *широкими* *острорежущими* *зубчиками*, *с* *острым* *нижним* *краем*.

ПРИМЕРЫ ЛИТЕРАТУРЫ—20-е годы

1. В. И. Линский. Флора Кавказа. Тр. Тифл. Бот. Сада, вып. IV. СПБ. 1899.
2. А. Фомин и Ю. Воронов. Определитель растений Кавказа и Крыма, том I. Тифлис, 1909.
3. А. А. Гросгейм. Флора Кавказа, том I. Тифлис, 1928.
4. А. А. Гросгейм. Флора Кавказа. Изд. 2, том II. Баку, 1940.
5. S. Tamanischian. Über einige Pflanzen aus der Umgebung von Eriwan.—Fedde's Repertorium XXXVIII.

ЗООЛОГИЯ

Д. Н. КОВАХИДЗЕ

ОСНОВНЫЕ ТИПЫ БИОЦЕНОЗОВ ЦЕНТРАЛЬНОЙ ЧАСТИ
КОЛХИДСКОЙ НИЗМЕННОСТИ

Одновременно с широко проводимыми осушительными работами (поднятие рельефа путем кольматажа, проведение системы открытой дренажной сети, ликвидация причин активного заболачивания), значительно нарушен прежний колорит центральной части Колхидской низменности. В связи с этим постепенно исчезают прежние биоценозы Колхида, характерные по своим крайним условиям обитания, которые допускали существование, в основном, лишь немногих, узко-приспособленных растительных и животных форм. Происходящие в настоящее время глубокие изменения влекут за собой соответствующую диференциацию арены жизни и обуславливают расчленение прежних и создание новых типов биоценозов.

Все основные типы биоценозов центральной части Колхидской низменности в настоящее время условно можно уложить в три серии: I серия—нетронутые осушением биоценозы (с двумя основными типами биоценозов—колхидских лесов и открытых травянистых болот); II серия—биоценозы переходного периода, осушаемые (в основном кольматируемые и дренируемые массивы); III серия—биоценозы осушенных массивов (с культурными насаждениями и посевами)¹.

Для иллюстрации различий между основными современными типами биоценозов центральной части Колхидской низменности и для их характеристики, приведем некоторые результаты наших исследований, проведенных в продолжение 1938—1940 гг.

Вместе с происходящими при осушении количественными и качественными изменениями основного фактора ландшафта заболоченной части Колхида—водного баланса, соответственно изменяется и почвенной покров. Например, если нетронутые осушением биоценозы развиты на торфяно-болотной (открытые травянистые болота), аллювиально-болотных и иловато-болотных (колхидские леса) почвах, то для почв биоценозов переходного периода характерна значительная пестрота: в одних случаях (при кольматаже) развиваются кольматационные налосы различного состава

¹ Здесь мы не рассматриваем биоценозов так называемой «морской трясины», ибо они занимают только незначительную территорию по прибрежной зоне.



СОГЛАСОВАНО

и мощности, а в других (при дренировке) почва приводится в ~~весьма~~^{некоторую} степень болотность путем постепенной ликвидации влияния избыточной увлажненности. Биоценозы же нового типа (осушенный массив) развиваются на песчаных и супесчаных почвах.

Естественно, дифференциация водного режима и почвенного покрова обусловливает соответствующую реакцию со стороны растительных компонентов, которые, находясь в соответствии с определенными условиями, значительно разнятся по отдельным сериям биоценозов.

Густота покрова растительности на единицу площади⁹ дает для биоценозов I серии такие цифровые соотношения: молиниевый травостой—966 экз., ольховый лес—5603 экз.; для биоценоза II серии (компактируемого массива)—788 экз. и для биоценозов III серии (осушенного массива)—9200 экз. Нетронутые осушением биоценозы, в зависимости от водного баланса и почвенных условий, показывают различную густоту покрова. В процессе осушения при резко меняющихся условиях среды, растительный покров обедняется и, наоборот, на осушенных уже массивах густота покрова увеличивается. Следовательно, отдельные биоценозы характеризуются различными, резко выраженными количественными показателями растительности.

По качественному составу растительности получены также достаточ-но характерные показатели. Для биоценозов I серии имеем: для молиниевого травостоя—32 вида, ольхового леса—52 вида; для биоценоза II серии (компактируемого массива)—28 видов; для биоценоза III серии (осушенного массива)—80 видов. В процессе осушения наблюдается значительное качественное обеднение, а в дальнейшем, уже после осушения, развивается более богатый растительный комплекс биоценоз, т. е. наблюдается определенное своеобразие качественной структуры отдельных биоценозов.

Для ясного установления отличий по растительным компонентам в сериях биоценозов Колхиды, укажем также и показатели доминирования. Так, в биоценозах I серии доминируют: в молиниевом травостое—*Molinia littoralis* Host., *Rhynchospora caucasica* Pall., *R. alba* L. и др.; в ольховом лесу—*Carex gracilis* Curt., *Sparganium neglectum* Beeby, *Juncus effusus* L. и др.; в биоценозе II серии (компактируемый массив)—*Phragmites communis* T., *Cladium mariscus* (L.) R. Br., *Carex gracilis* Curt. и др.; в биоценозе III серии (осушенный массив)—*Agrostis capillaris* L., *Paspalum digitaria* Poir., *Vulpia myuros* Gmel. и др. Следовательно, отдельные биоценозы Колхиды отличаются соответствующими доминантами при определенных сопутствующих и слагающих эти биоценозы комплексах видов.

Существующая дифференциация растительных компонентов, а также водного режима и почвенного покрова, несомненно, вызывает соответствую-

⁹ Под единицей площади подразумевается количество растений в экз. на площади 3 м². Густота учитывалась только для естественно-заросших травостоев.



шую реакцию и со стороны слагающих биоценозы животных компонентов, либо в наземных биоценозах Колхида, как показали наши исследования, имеется тесная связь и зависимость между животными и растительными компонентами¹.

Соотношения суммарных количественных показателей животных компонентов показывают:² для биоценозов I серии—молиниевого травостоя—8970 экз., ольхового леса—11960 экз.; для биоценозов II серии (кольматируемого массива)—3444 экз.; для биоценозов III серии (осушеннего массива)—20845 экз. Следовательно, изменения обилия учетных групп животных совпадают с изменениями густоты покрова травостоя. Вместе с этим каждый биоценоз обладает также и определенной, характерной для него, количественной структурой животных компонентов.

Еще более своеобразно качественное распределение учетных групп животных по отдельным биоценозам. В биоценозах I серии зарегистрированы: в молиниевом травостое 171 вид и в ольховом лесу 275 видов; в биоценозе второй серии (кольматируемый массив)—131 вид; в биоценозе III серии (осушенный массив)—408 видов. Таким образом, с уменьшением общего баланса растительности в биоценозе кольматируемого массива уменьшается не только суммарное количество животных в экземплярах, но также и число видов, а в биоценозе осушенного массива, наоборот, наблюдается неуклонный качественно-количественный рост животных группировок.

Укажем также отличия по доминирующим группам животных по отдельным биоценозам. В биоценозах I серии, в молиниевом травостое, доминировали пауки, стафилины, жужелицы и др., в ольховом лесу—мокрицы, пауки, стафилины, жужелицы и др.; в биоценозе II серии (кольматируемый массив)—перепончатокрылые, пидадомы, моллюски и др.; в биоценозе III серии (осушенный массив)—цикадовые, настоящие полужесткокрылые, пауки, перепончатокрылые и др. Помимо доминирующих групп наблюдается характерное распределение по территории и приуроченность к определенным биоценозам также и не доминирующих групп. Для примера достаточно указать, что если в биоценозах I серии (особенно в ольховом лесу по р. Пичере) группа пиявок встречалась в значительном количестве, то в следующих стадиях развития биоценозов (кольматируемые и осушенные массивы) она совершенно исчезает. Особо следует отметить,

¹ См. нашу работу «О некоторых соотношениях растительных компонентов в Колхиде и отдельных групп насекомых» в «Сообщ. АН ГССР», т. II, № 4, 1941 г.

² Под суммарным количественным показателем подразумевается количество животных в экз., пойманных в 30 пробах (30 м² по биопсометру и в 288 м² обкосенной растительности) по каждому биоценозу. В это количество входит лишь беспозвоночные животные: пиявки, моллюски, патки, сепионосцы, клаещики, многооножки, мокрицы и большое количество групп насекомых (кузнечиковые, сирфидовые, саранчевые, блоховые, цикадомые, настоящие полужесткокрылые, жужелицы, стафилины, жуки-листоеды, долгоносики, двукрылые, чешуекрылые и некоторые другие).

что если биоценозы I серии слагаются из животных, в основном из насекомых, сравнительно большую историю появления на данной местности, то биоценозы III серии насыщены видами, сравнительно недавно мигрировавшими из соседних районов (Алжарии, Абхазии и Западной Грузии). Из сказанного вытекает, что основные типы биоценозов характеризуются определенной и своеобразной структурой животных группировок.

Следует отметить, что проведенные здесь границы биоценозов не всегда выражены резко, наблюдаются и естественные переходы между ними с определенными качественно-количественными отступлениями.

В заключение укажем, что современный биоценологический облик центральной части Колхидаской низменности значительно дифференцирован и условно его можно рассматривать как слагающиеся в основном из трех серий биоценозов. Биоценозы I серии (колхидские леса, открытые травянистые болота) в процессе осушения, изменяясь, соответственно переходят во II серию, серию биоценоза переходного типа. При быстро проводимых осушительных мероприятиях на значительной территории Колхида, биоценозы II серии переходят в наиболее совершенную, III серию, серию биоценоза осушенного типа (с культурными насаждениями и посевами). Следовательно, уже активным воздействием человека обусловлен скачок в развитии биоценозов Колхида.

Теперешние биоценозы, условно относимые нами к III серии, являются лишь исходными и в дальнейшем будут подвержены еще большим изменениям, подчиненным уже регулировке человека.

Академия Наук Грузинской ССР

Зоологический Институт

Тбилиси

(Поступило в редакцию 28.5.1941)

Чтото есть то

ე. კობახილე

ქმრის განვითარების დაზღვრების პიროვნების
მინისტრის ტიტული

რეზერვ

1938—1940 წწ. განმავლობაში ჩატარებული ბიოცენოლოგიური გამოკურევების საფუძველზე დეტალური გამოყენების დასკენი, რომ კოლხეთის ცენტრალური დაბლობი ამჟამად საგრძნობლად არის დიდებრენცირებული და პირობით სიმ სურიად გაიყოფა. I სერია—ამონტობით ხელუხლებული ბიოცენოზები



(ბიოცენოსების ორი ძირითადი ტიპით—კოლხიდის ტყეებისა და ლიმანულა-ხეული ჭაობებისა); II სერია—გარდამავალი ტიპის ბიოცენოსები (ძირითადი კოლმატიკული და დრენირებული მისივები); III სერია—ამოშტრალი მასივების ბიოცენოსები (კულტურული მცენარეულობის დანარგავებითა და ნათე-სებით).

I სერიის ბიოცენოსები (კოლხიდის ტყეების, ღიაბალახეული ჭაობების) აჭოშტრაბის პროცესში იცვლებიან, შედარებით ღარიბდებიან მცენარეულობისა და ცხოველების როგორც ხარისხობრივი ისევე რაოდენობრივი მაჩვენებლების მხრივ და გადადიან II სერიაში—გარდამავალი ტიპის ბიოცენოსებისა. კოლხიდის დიდ ტერიტორიაზე წარმოებული ამოსაშრობი ლონისძიებების სწრაფად გატარებასთან ერთად II სერიის ბიოცენოსები გადადიან უფრო სრულქმნილ, III სერიაში—ამოშტრალი ტიპის ბიოცენოსებისა (კულტურული მცენარეულობის დანარგავებითა და ნათესებით). მაშასადამე, დამიანის აქტიური ზემოქმედებით უკეთ კამაბილურულია გარეული ნახტომი კოლხიდის ბიოცენოსების განვითარებაში.

III სერიისადმი პროცესით მიეუთენილი ახლანდელი ბიოცენოსები ითვ-ლებიან მხოლოდ გამოსავალ ბიოცენოსებად და შემდეგ კადეც უფრო მეტად შეიცვლებიან, მხოლოდ იმ განსხვავებით, რომ ისინი დაეჭვემდებარებიან აღა-მიანის მარეგულირებელ მოქმედებას.

რაჭა-როველის სარ შეკრიუბათა აკადემია
ზოოლოგიის იმსტიტუტი
თბილისი



ФИЗИОЛОГИЯ

Акад. И. БЕРИТАШВИЛИ (БЕРИТОВ)

ОБ АВТОМАТИЧЕСКОЙ РИТМИЧЕСКОЙ ДЕЯТЕЛЬНОСТИ ЦЕНТРАЛЬНОЙ НЕРВНОЙ СИСТЕМЫ¹

По новейшим исследованиям, все отделы центральной нервной системы—большой мозг, промежуточный мозг, средний мозг, мозжечок, продолговатый мозг, спинной мозг—все время показывают ритмическую деятельность независимо от внешних раздражений, т. е. все отделы ц. н. с. способны возбуждаться без воздействия каких-либо внешних импульсов, способны, как говорят, возбуждаться спонтанно (Gerard и сотр., [1, 2, 3, 4]; Bremer, [5, 6]; Spiegel, [7]).

Автоматическая ритмическая деятельность ц. н. с. в определенных случаях проявляется на периферии в виде периодических движений рабочих органов. Таковы, например, периодическая деятельность дыхательного центра в продолговатом мозгу и периодическая деятельность спинно-мозговых первичных центров, производящих фазные движения конечностей. Автоматическая деятельность ц. н. с. в большинстве случаев не проявляется на периферии в виде движений в рабочих органах. Такая автоматическая деятельность свойственна всем вообще нервным центрам. Очевидно, во время такой ритмической деятельности двигательные нейроны, непосредственно оканчивающиеся в мышцах, не вовлекаются в действие. Она, повидимому, всецело ограничивается промежуточными нейронами, вернее их комплексами, образующими первичные центры, координирующие аппараты.

Автоматическая ритмическая деятельность первичных центров узнается по спонтанной электрической активности. Первичные центры все время разряжаются электрическими волнами двойкого рода: медленные волны или медленные бистоки с продолжительностью в несколько сотых секунд по разному ритму до 30 в секунду и быстрые волны—быстрые бистоки с продолжительностью в несколько тысячных секунды, то же по разному ритму от 30 до 100 и выше, до нескольких сот в секунду. Эти быстрые волны в одних случаях протекают на фоне медленных, иначе говоря, накладываются на последние, а в других появляются независимо от них и без них.

¹ Доведено на Общем Собрании Академии Наук Грузинской ССР 31.8.1941.



Ряд исследователей, как Шпигель, Жерара и сотрудниками ^{ЦКИПУРИДЗЕ} считают, что автоматическая ритмическая деятельность каждого отдела мозга отличается по характеру и по течению продуцируемых им быстрых биотоков, а именно, по высоте отдельных колебаний и по ритму их, а также по длительности и течению медленных биотоков или по присутствию и отсутствию их. Это же было замечено нами совместно с сотрудником Цкипурдзе в разных отделах головного мозга лягушки (Беритов и Цкипурдзе, [8]).

Характерная разница в автоматической ритмической деятельности мозга наблюдается также в разных участках одного и того же отдела мозга. Так, например, по нашим наблюдениям совместно с Цкипурдзе, электрическая активность продолговатого мозга лягушки в области входления слухового нерва значительно сильнее, чем на один миллиметр выше и ниже этого участка. В разных архитектонических участках коры большого мозга человека ритмическая деятельность также не одинакова. Например, по Рубину [9], ритм медленных волн, так наз. альфа-волны в затылочных долях несколько выше, чем в лобных. Этот ритм в лобных долях значительно более изменчив, чем в затылочных. Период затишья в отношении альфа-волни наступает не одновременно в разных отделах мозга. По нашим опытам, произведенным совместно с нашими сотрудниками Брегадзе и Цкипурдзе [10] на кошках, разные доли коры большого мозга продуцируют биотоки разного характера. Эти биотоки отличаются по ритму медленных так наз. альфа-волни и по амплитуде быстрых волн, так наз. бета-волни. Разрушение или удаление какого-либо большого участка и даже целой доли из коры большого мозга не влияет по существу на характер биотоков оставшихся исповрежденных долей большого мозга.

Далее, совместно с Брегадзе и Цкипурдзе мы нашли, что при локальном отравлении таким активным веществом, как эзерин или ацетилхолин, какого-либо одного участка коры мозга кошки, электрическая активность сильно нарастает только в отравленном участке коры. В других участках электрическая активность не меняется вовсе или меняется очень слабо в результате распространения импульсов возбуждения из отравленного участка. Точно также при локальном отравлении кокцином какого-либо одного участка мозга возбудимость понижается, электрическая активность исчезает только в отравленной участке. Из всего этого следует, что спонтанная электрическая активность данного участка мозга более или менее точно выражает его собственную автоматическую ритмическую деятельность.

Автоматический характер электрической активности головного мозга при отсутствии внешних раздражений доказывается различными путями. Известно, например, что она наблюдается в мозгу на таких источенных или наркотизированных препаратах лягушки и кошки, на которых периферин-

ческие раздражения не вызывают рефлекторных реакций. По данным Бремера, в коре большого мозга кошки электрическая активность наблюдается при исключении всякой импульсации со стороны чувствующих органов, рецепторов; например, после перерезки ствола мозга позади промежуточного мозга, а также зрительных путей впереди промежуточного мозга (Bremmer, [5, 6]). Также в среднем мозгу кошки, по данным Дубнера и Жерарда (в сегменте geniculatum lateralis), электрическая активность наблюдается при исключении всякого рода приводящих нервных импульсов, например, после перерезки зрительных нервов и всего ствола мозга позади четверохолмия, а также после одновременного удаления зрительных и теменных долей головного мозга. По нашим наблюдениям, на обрезанной голове лягушки все отделы головного мозга обнаруживают по существу такую же электрическую ритмическую деятельность, как в целом животном.

По Жерарду и Юнгу [1], автоматическая ритмическая деятельность сохраняется в головном мозгу лягушки даже в том случае, если он вынут из черепа. Она также наблюдалась в небольшом изолированном участке его. Так, по данным Либета и Жерарда [2], спонтанные биотоки отводятся от небольшого участка обонятельной доли лягушки весом около 0,1 мг. На основании этих наблюдений следует заключить, что спонтанная электрическая активность отделов головного мозга обусловливается ритмическим самовозбуждением внутримозговых, промежуточных клеток мозга. Самовозбуждение характерно для живой возбудимой системы вообще. Но, безусловно, оно в большей мере свойственно внутримозговым нервным клеткам, чем всем остальным нервным элементам. Иначе говоря, изохронное расщепление значительной части возбудимой системы клетки, дающее начало распространяющему процессу возбуждения, возникает в нервной клетке само собою под влиянием тех физико-химических условий, какие имеются внутри и снаружи нервных клеток. Из клеток возбуждение распространяется по нервным волокнам, активируя тем самым, с одной стороны, другие нервные клетки, а с другой дендритное сплетение, образующее нейропиль. Мы находим, что возбуждение нервных клеток и нервных волокон проявляется в быстрых колебаниях электрического потенциала высокого ритма, а активное состояние нейропиля — в медленных колебаниях низкого ритма.

Периферические раздражения определенным образом действуют на автоматическую ритмическую деятельность мозга, а значит и на спонтанную электрическую активность мозга. Но на автоматическую деятельность данного центра влияет по преимуществу раздражение того рецептора, который связан с ним непосредственно. Так, по нашим исследованиям совместно с Цкпуридзе, у лягушки на автоматическую ритмическую



деятельность среднего мозга, там, где первично оканчивается зрительный нерв. Сильное влияние раздражение глаза освещением или затемнением его, а также движением предметов в поле зрения лягушки. На ритмическую деятельность передней части продолговатого мозга, где первично заканчивается слуховой нерв, сильно влияют звуки. На автоматическую деятельность плечевого отдела спинного мозга, где оканчиваются чувствительные нервы от кожи передней конечности, сильнее действует раздражение кожи передней конечности (Беритов и Цкипуридзе, [8]). В этих опытах на лягушке влияние периферических импульсов выражалось в усилении существующей автоматической ритмической деятельности. Это усиление проявляется в учащении и усилении быстрых биотоков. Одновременно могут усиливаться и участиться также медленные биотоки. Так бывает, например, в среднем мозгу лягушки (Беритов и Цкипуридзе, [8]). Но известно, по данным ряда исследователей, что в определенных случаях под влиянием внешних раздражений учащение быстрых биотоков может сопровождаться ослаблением и даже исчезновением медленных биотоков. Так бывает в больших полушариях мозга млекопитающих и человека (Бергер, [19] и др.). То же наблюдали наши сотрудники Дзидзишили, Бакурадзе и Гедеванишвили при изучении электрической активности головного мозга людей и животных.

Ритмическая деятельность данного отдела мозга зависит от рецептора не только в том случае, когда рецептор раздражается от внешних воздействий. Само присутствие рецептора и сохранность нормальных связей между мозгом и рецептором играют существенную роль в ритмической деятельности. Так, например, совместно с Цкипуридзе мы выяснили, что у лягушки после разрушения одного лабиринта, т. е. внутреннего уха, на одной стороне, сильно ослабевает спонтанная электрическая активность на той же стороне продолговатого мозга, т. е. она здесь значительно слабее, чем на другой стороне, причем эта разница наблюдается при полном отсутствии звуков (Беритов и Цкипуридзе, [8]).

Зрительный рецептор сам по себе также оказывает сильное благоприятствующее влияние на ритмическую деятельность определенных отделов мозга, ибо по нашим наблюдениям у лягушки перерезка зрительного нерва сопровождается ослаблением спонтанной электрической активности в противоположном холмике среднего мозга (Беритов и Цкипуридзе, [8]). Кроме того, известно, что зрительный нерв производит ритмическую импульсацию, когда глаз находится в полной темноте, когда глаз не может раздражаться. Это, например, мы наблюдали совместно с Цкипуридзе на зрительном нерве лягушки. Значит, ритмическое возбуждение зрительного нерва обусловливается спонтанным возбуждением сетчатки под влиянием тех физико-химических условий, какие имеются все время внутри глаза.



Это спонтанное возбуждение сетчатки, конечно, со своей стороны все время действует возбуждающе на средний мозг.

В опытах совместно с Цкипуридзе на лягушках мы также заметили, что задне-корешковые чувствительные нервы, будучи связаны с кожными и мышечными рецепторами, все время производят спонтанное возбуждение очень высокого ритма. Малейшее раздражение их усиливает эту ритмику в соответствующем чувствительном нерве и через него также в соответствующем сегменте мозга. Значит, активное состояние кожных и мышечных рецепторов также имеет место не только при внешних раздражениях, но и спонтанно, под влиянием внутренних физико-химических изменений.

Из вышеизложенного ясно видно, что рецепторы самовозбуждаются все время, возникновение при этом импульса посыпается все время в ц. н. с., усиливаясь лишь моментами под влиянием внешних адекватных раздражений.

Усиление ритмической деятельности ц. н. с., проявляющееся под влиянием внешних раздражений, может сопровождаться наступлением движений. Но это не обязательно. Звуки, например, действуют на ритмическую деятельность продолговатого мозга очень сильно без всяких внешних движений. Легкое кожное раздражение, например, прикосновение, может вызвать усиление ритмической деятельности спинного мозга без двигательных рефлекторных реакций (Беритов и Цкипуридзе, [8]).

Особенности ритмической деятельности того или другого нервного комплекса определяются, во-первых, физиологическими особенностями клеточных элементов данного комплекса, во-вторых, структурой его, а именно связями между его клеточными элементами, развитием нейропилия и связями нейропилия с клеточными элементами и, в-третьих, связями данного нервного комплекса с другими комплексами мозга.

Значение физиологического состояния клеточных элементов в ритмической деятельности хорошо выявляются при его изменениях в сторону ухудшения или улучшения. Автоматическая ритмическая деятельность в головном мозгу ухудшается, когда препарат отмирает, при этом ритм биотоков уменьшается, амплитуда падает. То же бывает при искусственной задержке кровообращения в мозгу путем перевязки сосудов. Так, в коре большого мозга кошки после остановки кровообращения сначала исчезают быстрые волны, а потом через 20" исчезает вся электрическая активность. Причем последняя исчезает раньше всего в высших отделах головного мозга (Jasper, [12]). Но характерно, что по нашим наблюдениям на лягушке автоматическая деятельность еще существует некоторое время после того, как рефлексы перестали вызываться. Небольшое, повышение содержания калия в крови — на 20—50%, вызывает, наряду с повышением рефлекторной деятельности, усиление электрической активности в среднем мозгу кошки. Повышение содержания кальция, наоборот, понижает и



то и другое. На электрическую активность мозга действуют химические факторы (Dubner и Gerard, [4]). Эти факты указывают, что автоматическая ритмическая деятельность или «спонтанное» изохронное расщепление гамматонических клеток центральной нервной системы находится в определенной зависимости от функционального состояния мозга, иначе говоря, от интенсивности основного обмена веществ. При этом чем лучше условия для восстановления возбудимой системы после возбуждения, тем интенсивнее обмен веществ внутри клеток, тем чаще происходит «самоизвестно» возбуждение возбудимой системы, тем интенсивнее каждое такое возбуждение.

Значение структуры первых элементов в производстве ритмической деятельности хорошо выявляется в разном характере этой деятельности в разных отделах мозга и в разных участках одного и того же отдела мозга. Когда в каком-либо звене данного нервного комплекса возникает возбуждение «самоизвестно» или под влиянием внешних раздражений, то это возбуждение вращается некоторое время по всем первым кругам данного комплекса и в то же время активирует дендритное сплетение, образующее нейропил. От организации нервных кругов и соответствующего нейропиля, от всей истории развития их, зависит как долго и как быстро, а также в каком порядке будут разряжаться импульсы из разных нервных кругов и каковы будут интенсивность и длительность активного состояния нейропиля. Но, конечно, как длительность, так и частота и порядок этих процессов в каждом первом комплексе, могут сильно меняться под влиянием изменения физико-химических условий внутренней среды.

Значение первых связей с другими нервными комплексами для автоматической ритмической работы нервных комплексов также доказывается определенного рода наблюдениями. Благодаря взаимодействию, осуществляющему через первые связи, ритмическая деятельность данного нервного комплекса усложняется и даже может видоизмениться под влиянием первых импульсов, притекающих из других комплексов.

Так, например, в отношении электрической активности коры большого мозга известно, что она в каждом отделе ее определенным образом зависит от влияний из других отделов мозга. Известно, что медленные волны коры большого мозга, альфа-волны в симметричных участках обоих полушарий, более или менее совпадают по времени. У людей такая полная синхронизация в лобных долях выражена сильнее, чем в затылочных. В лобных долях почти 100 процентов альфа-волны наступают одновременно, в то время как в затылочных долях — только 50—80% (Hugger, [14]). Эти синхронные альфа-волны начинаются совершенно одновременно. Поэтому можно думать, что автоматическая деятельность двух симметричных участков управляет из одного общего для них автомати-

ческого центра, каким, по мнению Бергера [11], Корниоллера [12] является промежуточный мозг. Зависимость спонтанной электрической активности коры мозга от промежуточного мозга доказана специальными опытами Леви и Гаямона [15], Форбса и Морисона [16]. Эти авторы показали, что та спонтанная электрическая активность коры мозга, какая проявляется во время наркоза, исчезает после перерезки нервных путей, восходящих от промежуточного мозга в кору и вновь возникает во время раздражения этих путей.

Однако, взаимодействие между симметричными участками обоих полушарий большого мозга по ассоциативным нервным связям, которое объединяет эти два полушария, также должно играть определенную роль в возникновении и синхронизации альфа-волн. Определенные наблюдения прямо указывают на это. Так, например, на основании исследований Куртица [18], известно, что даже при глубоком наркозе раздражение одного участка в одном полушарии вызывает изменение электрической активности в симметричном участке другого полушария. Или, например, по Хюггеру [14], при повреждениях (опухолях) в передней части мозолистого тела, через которое проходят эти ассоциативные нервные связи, исчезает синхронизация альфа-волн в лобных долях.

Определенное взаимодействие существует также между различными участками одного полушария. Известно, что в разных участках одного и того же полушария альфа-волны наступают большей частью более или менее одновременно. Особенно большой процент совпадания альфа-волн бывает между затылочными и теменных долями. Процент совпадания меньше между затылочными и лобными долями. Но здесь в пределах одного полушария не бывает полной синхронизации. Альфа-волны затылочных долей начинаются всегда раньше, чем соответствующие им альфа-волны других долей. Это обстоятельство приводит к предположению, что автоматическая ритмическая деятельность затылочных долей коры мозга у человека является ведущей, доминирующей, и что она подчиняет себе в некоторой мере ритмическую деятельность других отделов коры мозга по принципу относительной координации.

Всякое патологическое состояние того или другого отдела или участка мозга, чем бы оно не было вызвано: механическим повреждением мозга или отравлением токсинами, т. е. бактериальными ядами, или даже всяким более или менее значительным понижением функции или, наоборот, всяким более или менее значительным понижением функции — во всех этих случаях патологическое состояние находит свое определенное отражение в изменениях нормы автоматической ритмической деятельности данного отдела или участка мозга и в ее отношении к внешним раздражениям. Сообразно меняется и электрическая активность



данного мозга: меняется ритм медленных и быстрых волн, их ~~периодичность~~^{частота}, их интенсивность и продолжительность.

Поэтому, путем изучения электрической активности заболевшего мозга можно установить характер и степень заболевания, точно определить место заболевания, первичный очаг и пределы распространения патологического состояния в мозгу.

Колебания электрического потенциала того или другого участка мозга чисто физически распространяются, проводятся через нервную ткань и другие близлежащие ткани. Поэтому их можно отвести в аппарат, который регистрирует изменения потенциала, например, в осциллограф катодных лучей, не только непосредственно от мозга, но и от костей и кожных покровов. Например, электрические волны, возникаемые в затылочных долях головного мозга человека, можно отвести от кожной поверхности затылочной части черепа, электрические волны лобных долей мозга от кожной поверхности лба и т. д. Но так как электродвигательная сила этих волн очень мала (в пределах от нескольких микровольт, т. е. миллионных вольта, до нескольких десятков или сотен микровольт), то для регистрации приходится предварительно усиливать эти волны. Для катодного осциллографа нужно усилить отводимые биотоки мозга в полмиллиона раз и больше, для шестиншлейфового осциллографа — до 50.000 раз. Эти усилители тока строятся по типу усилителя радио-вольн в радио-приемниках; усилиению подвергаются волны сравнительно низкой частоты от 1 до 2.000 в 1", ибо физиологическая активность живых тканей не дает разрядов выше этой частоты.

Желая оказать определенную помощь Красной Армии в деле обороны отечества, мы решили перестроить нашу осциллографическую исследовательскую работу на обслуживание военно-лечебных учреждений. Мы решили выработать методику исследования электрической активности головного мозга человека и животных путем отведения биотоков от кожной поверхности черепа и затем изучить нормальную и патологическую деятельность мозга человека и животных в целях установления типов электрической активности того или другого отдела мозга и ее изменения при заболеваниях мозга. С этой целью мы зарегистрировали нормальную электрическую активность мозга наших сотрудников и ряда больных, приводимых из разных больниц с патологическими изменениями в головном мозгу.

Кроме того, у животных, у кошек и собак, искусственно вызывали заболевание того или другого отдела мозга, и потом следили, как меняется его электрическая активность. С этой же целью мы удаляли или разрушали тот или другой участок коры большого мозга; затем вызывали механическое повреждение определенного отдела мозга путем операционного введения твердого предмета внутрь черепа. Во всех этих случаях мы следили, как и где меняется электрическая активность головного мозга.



Аналогичная исследовательская работа производилась в последние годы последних лет как у нас в Союзе, так и за границей. Но в общем результаты исследования были еще очень незначительны и имели небольшое практическое значение. Поэтому нам придется не мало поработать, чтобы можно было сразу и точно определить по изменениям электрической активности характер и местоположение заболеваний мозга. Но уже в настоящее время мы располагаем такими результатами, что смело можем применить выработанную нами осциллографическую методику для диагностики заболеваний мозга человека.

Академия Наук Грузинской ССР
Институт физиологии
имени акад. И. С. Бериташвили
Тбилиси

(Поступило в редакцию 18.9.1941)

ОБЗОРЫ

Доктор. ВЛ. АНДРИАШВИЛИ

СОДЕРЖАНИЕ: ВОКРОУНОВА НИКОЛАЕВНА АЗГУРОВА ТШАДИ АДИАШВИЛИ
МРЧАВЕЛИШВИЛИ ТИАНА

(Изобретенное в СССР устройство для измерения артериального давления и пульса 31.8.1941)

РЕДАКЦИЯ

Преобразовательного устройства Соколова с титулом до генерального инженера и инженера-изобретателя в Грузии. Это изобретение было сделано в 1941 году. Оно представляет собой преобразовательное устройство для измерения артериального давления и пульса. Устройство состоит из измерительного блока, генератора и индикатора. Измерительный блок содержит мембранный датчик, который преобразует колебание давления в электрический сигнал. Генератор вырабатывает постоянный ток, который используется для питания измерительного блока. Индикатор отображает измеренные параметры на экране. Устройство имеет высокую точность измерения и широкий диапазон измерения.

Описание изобретенного устройства: Оно представляет собой преобразовательное устройство для измерения артериального давления и пульса. Устройство состоит из измерительного блока, генератора и индикатора. Измерительный блок содержит мембранный датчик, который преобразует колебание давления в электрический сигнал. Генератор вырабатывает постоянный ток, который используется для питания измерительного блока. Индикатор отображает измеренные параметры на экране. Устройство имеет высокую точность измерения и широкий диапазон измерения.

Составлено в СССР в 1941 году

Доктор. ВЛ. АНДРИАШВИЛИ

Физиологический институт

Тбилиси



ПИТИРОВАННАЯ ЛИТЕРАТУРА—СОБОРОВАЩЕ ОБОЗРЕНИЕ ПОСЛЕДНИХ ГОДОВ

1. R. W. Gerard a. J. Z. Young. Proc. Roy. Soc. B, vol. 122, p. 343, 1937.
2. B. Libet a. R. W. Gerard. Proc. Soc. Expt. Biol. a. Med., vol. 38, p. 886, 1938.
3. B. Libet a. R. W. Gerard. J. Neurophysiol., vol. 2, p. 153, 1939.
4. H. H. Dubner a. R. W. Gerard. J. Neurophysiol., vol. 2, 142, 1939.
5. Fr. Bremer. G. R. Soc. Biol., t. 127, p. 388, 1938.
6. Fr. Bremer. C. R. Soc. Biol., t. 128, p. 1235, 1935.
7. E. A. Spiegel. Am. J. Physiol., vol. 118, p. 569, 1937.
8. И. Беритов и Л. Цинцурдзе. Характеристика электрической активности разных отделов мозга лягушки. Готовится к печати. 1941.
9. M. A. Rubin. J. Neurophysiol., vol. 1, p. 313, 1938.
10. И. Беритов, А. Брегадзе и Л. Цинцурдзе. О биотоках большого мозга кошки. Готовится к печати. 1941.
11. H. Berger. Arch. Psychiat. Nervenkr., Bd. 87, S. 527, 1939; Journ. Psychol. Neurol., Bd. 40, S. 160, 1930.
12. H. H. Jasper. Annual Review of Physiol., vol. III, p. 377, 1941.
13. E. v. Holst. Pflüg. Arch., Bd. 237, S. 655, 1938.
14. H. Hugger. Pflüg. Arch., Bd. 244, S. 309, 1941.
15. F. H. Lewy a. G. D. Gammon. J. Neurophysiol., vol. 3, p. 385, 1940.
16. A. Forbes a. B. R. Morison. J. Neurophysiol., vol. 2, p. 112, 1939.
17. A. E. Kornmüller. Die bioelectr. Erscheinungen d. Hirnrindfelder etc. Leipzig, 1937.
18. H. J. Curtis. J. Neurophysiol., vol. 3, p. 407, 1940.
19. H. J. Curtis. J. Neurophysiol., vol. 3, p. 414, 1940.



ციფრული განვითარების

რ. 6201280

30 გებადური გზით ცხების დაზღვლების განვითარება კონტროლიზაცია

ცნების შემუშავების გაერტყელებულ ექსპერიმენტალურ მეთოდები ცნების დაუცულება ცალმხრივად შეისწავლება, შეისწავლება მხოლოდ ერთი გზა—გზა „ძელიდან ზევით“, ე. ი. კონტროლული მასალით ან მისი განშეოვალებით ცნებისაცნებ; ხოლო ამის საწინააღმდეგო გზა—გზა „ზევიდან ძელით“, ე. ი. ცნების შემუშავების კერძალური გზა (ცნების შემუშავება ზოგადი ცნების დაფუნიციალური უზრუნ კოწრო, კონტროლი ცნებისაცნებ გადასვლით) ყველა მიმღების ვარებები აჩვება. მიგრამ ცხოვრებაში, განსაკუთრებული სისკოლო პირობებში, ცნებათა უზრისეულესობას ბავშვი იძებს სწორედ ამ უკანასკნელი, ვერბალური, გზით („ძელიდან ძელით“). ამიტომ ჩვენ მოგვამინა, რომ ცნებათა შემუშავების ამ უკანასკნელი გზის ექსპერიმენტალური გამჟღება არ არის მოლებული როგორც თეორიულ, ისე პრაქტიკულ-პრაგმატიკული.

მეთოდი

1) ტრანსპორტის სახეების ცნებები

ექსპერიმენტატორი სიტყვებით—„მე გასწავლი ახლა შენ უცხო სიტყვებს, რომელიც შეი არასოდეს არ გავიგონია“—ამღეც ც. პ-ს ა (სასკოლო ასაკის ბავშვებს) ამიმწურავ განსაზღვრას ცნება „უარჩენლის“, რომელიც პირობითად აღნიშნებს ადამიანის მიერ გაუთვალისწილებულ საშუალებებს.

მის შემდეგ, რაც ც. პ. შესძლებს განსაზღვრის სწორ გამეორებას, მას ეძლევა ორი სახეობითი ცნების განსაზღვრა: „ვისპესი“—სატრანსპორტო საშუალებები, რომელიც მხოლოდ ცოცხალი ძალის საშუალებით მოძრაობს, და „მატპესი“—სატრანსპორტო საშუალებები, რომელიც მხოლოდ არაცოტალი ძალის საშუალებით მოძრაობს. ორივე განსაზღვრაში უახლოესი გენუსის სახით გამოიყენება პირველი (გვაროვნული) ცნება „ფარჩენდი“. მაგალითად, „ვისპესი ეწოდება ისეთ ფარჩენდს, რომელიც ცოცხალი ძალის საშუალებით მოძრაობს“.

მის შემდეგ, რაც ც. პ.-ში რამოდენიმეჯერ გაიმეორა სამიერ ცნების განსაზღვრა, მას ეძლევა „ვისპესის“ და „მატპესის“ ქვეცნებათა განსაზღვრა:

„ფარბონი“ ეწოდება ისეთ „ვისპესის“, რომელიც მოძრაობს მხოლოდ დამიანის კუნთური ძალის საშუალებით.

¹ ც. პ.—შემოყვებით „ცდის პირი“

43. „მოამზე“, ტ. II, № 7.



„სემისეტი“ ეწოდება ისეთ „ვისპესს“, რომელიც მოძრაობს ქუთათებული ცხოველის ძალის საშუალებით.

„რუდოს“ ეწოდება ისეთ „მატპესს“, რომელიც მოძრაობს მხოლოდ ბუნების ძალის საშუალებით.

„დიკშერი“ ეწოდება ისეთ „მატპესს“, რომელიც მოძრაობს მხოლოდ მანქანის ძალის საშუალებით.

ყოველ ცნებაზე ექსპერიმენტატორი დიდხანს ჩერდება.

მის შემდეგ, რაც კ. პ.-მა შეითვისა ახალ ცნებათა მთელი მინიატურული სიტუაცია (ე. ი. შეიდივე ცნება), გადაღვიარო ცდის შემდეგ ერტყებზე, რომლის მიზანს ახალშეთვისებულ ცნებათა ფსიქოლოგიური ბუნების გაშეუქება შეადგენს.

ეს ერტყები, ძირითადში, შემდეგ მომენტებს შეიცავენ: 1) ახალ ცნებათა გამოყენება ექსპერიმენტატორის საუბარში; 2) ამოცანები, რომლებიც არყოფენ შეიძიდებ ახალ ცნებას შორის არსებულ ლოგიკურ მიმართებათა გაგების ბაზების მიერ; 3) ახალ ცნებათა კონკრეტ შეგაღითხების (საგნების) დასახელება (შენ ვინახავ იღესმე დიკშერი?—შეგალითად, რას პერია დიკშერი?); 4) ახალ ცნებათა გამოყენება ექსპერიმენტატორის მიერ მოწოდებულ კონკრეტ საგანთა სურათების დასახელებისთვის (უზრუნი, ეტუ, აფტო, ველოსიპედი, იალქნიანი ნავი, ტა-კი) და სხვ.

2) აღ ამითან შორის დამოკიდებულებითა მიმართებითი ცნებები

რამდენადაც პირველ შეთოლში შეუძიებელულ ცნებებს შედარებით კონკრეტული მნიშვნელობა აქვთ (მათი შენახრის კონკრეტ საგნებში პოვებს თვისი გამსახიერებას), ჩენ მორიგ შეთოლიც გამოიყენეთ; ამ შეთოლში იმავე ხერხებით, რაც შემოთალწერილ მეთოდში, კ. პ.-ს. ეძლევა შიმირაჟებათა ნახევრად ასტრიადტული ცნებები, რომილებიც გამოხატავენ იდამილანთა შორის დამოკიდებულების სხვადასხვა სახეს [1].

ამ შეთოლში გამოიწვეულია პირველი შეთოლის ყველა ეტაპი.

ექსპერიმენტი ჩატარებული იყო 1935/36 სამისწავლო წელს, იპილისის მე-3, ყოფილ საცდელ, სრულ საშუალო სკოლის მოწაფუებშე დაწყებული ე. წ. „ნორჯგუფიდან“ და მე-10 კლასით დამთავრებული.

იმავე კატეგორიის კ. პ.-შე (იმავე სკოლის იმავე კლასების მოსწავ-დებშე), იმავე დროს ცდა ჩატარებული იყო ცნების შემუშავების ჩეკულება—რიცხვითი მეთოდით, ე. ი. იმავე ცნებების შემუშავება ხდებოდა „ქვევიდან შევით“ დაწყებული კონკრეტულ მასალის (მაგ., ტრანსპორტის სურათების) დაჯგუფებით და მისი განწიგვადოებით და გათავებული ზოგადი ცნების შემუშავებით [1].

ამრიგად, ჩეკ გვაქეს შესაძლებლობა შევადაროთ ერთმანეთს ცნების შემუშავების ეს ორი გზა—ერტყალური გზა („შევიდან ქვევით“) და გზა კონკრეტი, თვალსაჩინო მასალიდან ზოგადი ცნებისაკენ (გზა „ქვევიდან შევით“).

¹ ამცნებათა შენარჩუნ შესახებ ის. [1].



ვერბალური გზით ("ჰევიდან") მიღებულ ცნებათა დაუცლება

კონკრეტური მასალის გარეშე, მოღლოდ დეფინიციის გზით მიწოდებულ ახალ ცნებათა დაუცლების განვითარებაში, ჩემი მასალის მიხედვით, გასარ ჩემი შემძევი ძირითადი ეტაპებია.

1. პირველი საფეხური. მიღებულ სიტყვიერი დეფინიციიდან ბავშვი სრულიად კერ გეტულობს ახალი ცნების მნიშვნელობას, სრულიად კერ წარმოდგენია, რა კონკრეტ სიგნებს შეიძლება ეხმოდეს ეს ცნება, თუმცა ყოველი იდლე დეფინიციიდან მისთვის საცემით ნაცნობია და გასაგებია.

2. მეორე საფეხური. თავიდავნე დახსლობით სწორად გეტულობს მოწოდებული ცნების აზრს და ისცე იმდენად ბუნდოვანი, გაურკვეველი, დიფუზიური და ლაბილური იდეის სახით, რომ ამ გავების შინაარსის ფექსაცია ცნობიერებაში ბავშვს უკირს, იგი კერ იყენებს მას გონიერი თვერაციებში და ძალიან მაღლ სულაც „დაკარგეს“. მიღებული „ცოდნა“ გაქრება ისე, რომ ბავშვი ისევ სრულიად კერ წარმოიდგენს ახალი ცნების მნიშვნელობას. ამირივალ, ცნების ეს გავება თითქოს მომენტანური, წარმავალი პროცესის ხასიათს ატარებს.

3. მესამე საფეხური. დეფინიციის მიღებისთანავე ბავშვი სპონტანურ ადგენტის „მაგალითს“—კონკრეტ საგანს, რომ გასაგებად გახდოს თავისთვის ამ დეფინიციის მნიშვნელობა, მას თითქოს წყვრია მიღებული „განკუნძულება“ აზრის გათვალისწინება: გაგება მისთვის კონკრეტი საგნის წარმოდგენის ნიშანებს.

მაგრამ წარმოიდგენს თუ არა ბავშვი რაიმე კონკრეტ საგანს (შესაცერს თუ შეუცემულს) „ცნება“ მაშინთვე მეტოდი ამ კონკრეტი საგნის მნიშვნელობას და დამახილებული მნიშვნელობის მის ცნების დეფინიციის სახით, მაგრამ ეს ნიშანი, კონკრეტი საგნის წარმოდგენის გარეშე, კერ კერ და სრულებას ცნების რეპრეზენტანტის როლს: ამ საცემურზე მდგომარეობების ძალუმს, სხევისი დახმარებით, კონკრეტი საგნიდან გამოყოფილ კუთხის ნიშანი და დაცეცულოს მას, მაგრამ უსაგნოთ, მხოლოდ ცერტიფიციალური გნიოთ მოწოდებული ნიშანი.

მართლაც, ამ საცემურზე ახალი ცნების მნიშვნელობა იმდენად არა მყარია, ლაბილურია და იმდენად არაა გარეუცდო, რომ გონიერი იყენების შესრულებისას, ცნების მნიშვნელობა მეღამ განიცდის და ასებით ცვლილებებს—ბავშვი ერთ და იმავე ცნებაში ყოველ მომენტში სხვა მნიშვნელობას გულისხმობს, ისე რომ ცდის ბოლოსათვის ახალ ცნებათა მნიშვნელობა



ერევანის სახელმწიფო უნივერსიტეტი

ბის სრული აღრევა ხდება. არის შემთხვევები, რომ პირველივებ ჰქონის აღმართობის შესრულებისას, პირველად შემუშავებული არა შეარი ბენდოვანი „იდეა“ იკვლება და ღებულობს სხვა, შედატებით უფრო თეალსაჩინო ნიშნით აღნიშნულ საგანთა კარევორიის მნიშვნელობას. ყოველ შემთხვევაში მოწოდებული ცნების მნიშვნელობას ბავშვი კერ ინარჩუნებს.

5. შეცეკც საცეკცური. დასაწყისში მოზარდი და გარკვეულად გებულობს მიწოდებული ცნების აზრს, მაგრამ გონიერივი რპერაციები ბის შესრულებისას მას უჭირს „კანკრებული“ აზრის ფქძეს ცირა, იგი კერ ეცულება იდეურ ობიექტს, თეალსაჩინო კონკრეტი მასალის გარეშე მიღებულს, და ცდილობს მოასდინოს მიღებული ცოდნის კონკრეტიზაცია, გათვალისწინება და „ცნების“ თოთქოს საილუსტრაციაცია კონკრეტ საგანთა წარმოიდგენს. ამის შემდეგ ცნება უკვე ამ საგნის, როგორც მისი რპერაციულ ცნების, სახით არის წარმოდგვნილი. ხოლო ცნების რეპრეზენტაცია მისი ნიშნის სახით ჯერ კიდევ ღვემიტება ბავშვის ძალებს. ამ საცეკცურს ბავშვს უჭირს ახალი ცნების კონკრეტ საგნებზე გადატანა, ე. ი. საგანთა მიკუთხება ახალი ცნებისათვის. მირიგად, ამ საცეკცურზე მხოლოდ ვერბის სიბრტყეში ბავშვი კერ წევდება იმას, რაც მისთვის უკვე ადგილი მისაწვდომია კონკრეტი მასალის კონტექსტში. კონკრეტი მასალიდან შემუშავებულ „იდეურ ობიექტს“ ბავშვი უკვე (სხვისი დამარტებით) უფლება, ხოლო კერძალური გნით (დეფინიციით) მოწოდებულს კერ უუფლება.

6. შეცეკც საცეკცური. შემდეგ ეტაპს, რომელიც პირველად შე-4 კლასის—11 წ. ასაკის საცეკცურზე მიღებულია, ხოლო საყიდელთო ვერცხლუბას 7 კლასში აღწევს, ბავშვი უკვე უშულება დეფინიციის გზით მოწოდებულს „იდეურ ობიექტს“ (არსებით ნიშნებს). ცნებას ახლა იგი სწორად გმეტლობს არა მარტო დეფინიციის მიღებისთვის, არამედ საბოლოოდ ინარჩუნებს მის გვევბას. იგი აღარ სტროებს არსებითი ნიშნის თეალსაჩინისა თვით კონკრეტი საგნების წარმოდგენისას. ბავშვი უკვე თავისუფლად იძღვნს ყოველგვარ აპერაციებს ამ კერძალური გნით მიღებული ცნებებით.

ეს საცეკცური უფრო აური მიღებულია ამ კონკრეტ ცნებათა მიმართ, რომლის საგნის წარმოდგენა ცნების ნიშნიდან უფრო ადგილია, ხოლო უფრო გვიან იმ ცნებათა მიმართ, რომლის საგნის წარმოდგენა ნიშნიდან გამოსცლით უფრო ძნელია.

ამ საცეკცურის მიღწევის შემთხვევაში, მოზარდი მაღლ აღწევს კერძალური გნით მოწოდებულ ცნებათა დაუფლების იმ დონეს, რომელიც მიღებული იქნება ცნების კონკრეტი მასალიდან შემუშავებისას (გზა „ექვეიდან ზევით“), თუმცა უკეცელია, რომ კერძალური გნით მოწოდებულ ცნებათა აღნიშნულ დაუფლებას, ნებან ცდაში, ხელს უწყობს მოწოდებულ ცნებათა სპეციფიკურობას: ცნების კონკრეტი მასალა ბავშვებისათვის იმთავითე ნაცნობია უფერდლისტი განოცნილებიდან.

საჭართელოს სსრ მცნობერებათა აკადემია
უსამარტინის სტანდარტი
თხოვთ

(შემოვდა რედაქტორი 6.6.1941)



Р. Г. НАТАДЗЕ

К РАЗВИТИЮ ВЕРБАЛЬНОГО ПУТИ ОВЛАДЕНИЯ ПОНЯТИЕМ

Образование понятия «сверху вниз»

Резюме

При помощи распространенных экспериментальных методов исследования образования понятия изучается лишь один путь образования понятия: путь «снизу вверх», от конкретного материала, через его обобщение, к понятию и дальше от узких, видовых понятий, через их обобщение, к родовому, общему понятию. Вербальный же путь образования понятия — путь «сверху вниз» — от общего понятия к более узкому, видовому понятию, остается вне исследования.

Междуд тем в жизни и школе большинство понятий ребенок приобретает именно этим вербальным путем, а не путем обобщения конкретного, наглядного материала.

Мы пытались экспериментально изучить на протяжении всего школьного возраста (от т. наз. «попытка» до X класса включительно) именно этот вербальный путь образования понятия.

Испытуемым дается миниатюрная «система» экспериментальных понятий видов транспорта, заключающая в себе три яруса понятий: четыре узких понятия, затем два обобщающих их родовых понятия и, наконец, одно родовое понятие, обобщающее предыдущие два понятия. В другом методе лается аналогичная система относительных понятий — видов зависимости между людьми.

Обе системы понятий предлагаются испытуемым следующим, чисто вербальным путем: прежде всего дается пространное, исчерпывающее определение самого общего, родового понятия; затем, после неоднократного повторения определения испытуемым, ему дается такое же пространное определение двух видовых понятий «второго яруса», причем в этом определении в качестве генуса используется вышеуказанное родовое понятие. И, наконец, после неоднократного повторения испытуемым последних определений, ему даются определения 4-х видовых понятий «первого яруса».

На следующем этапе испытуемым дается целый ряд задач, вопросов и т. д., целью которых является выявление психологической природы приобретенных ребенком «понятий».

В другом исследовании [1] мы пытались изучить в тех же возрастных пределах процесс образования тех же понятий противоположным путем («снизу вверх»), т. е. путем обобщения конкретного материала и затем



видовых понятий. Таким образом, в нашем распоряжении имеется ~~один~~^{два} материальный материал относительно двух противоположных путей образования одних и тех же понятий.

В овладении понятиями, предъявленными виде конкретного материала, только путем дефиниции, по данным нашего эксперимента, надо различать следующие основные этапы.

1. Из полученного словесного определения ребенок совершенно не понимает значения нового понятия,—совершенно не представляет, к каким конкретным предметам может относиться это понятие, хотя каждое слово из данного определения в отдельности ребенку знакомо и понятно.

2. Смысл определяемого экспериментатором понятия с самого начала понимается лишь приблизительно правильно, и в форме настолько смутной, неясной, диффузной и лабильной идей, что фиксация ее в сознании ребенку не удается, он не может манипулировать ею в мыслительных операциях и очень скоро окончательно утрачивает ее,—полученное значение «теряется», так что ребенок уже не владеет значением нового понятия. Таким образом, это понимание носит характер как бы лишь мимолетного проблеска.

3. Непосредственно по получении определения нового понятия, ребенок спонтанно ищет «пример», т. е. конкретный предмет, чтобы уяснить себе значение этого определения—вернее, значение нового понятия. Это свидетельствует о сильной потребности конкретизации «отвлеченной» мысли: понять—для него значит представить конкретный предмет.

Но стоит только ребенку представить конкретный пример (все равно подходящий или не подходящий), чтобы новое «понятие» приобрело значение только этого конкретного предмета, и до конца осталось бы в сознании в этом искаженном понимании.

На этой ступени различаются два вида понимания содержания нового понятия:

а) Когда, непосредственно вслед за получением определения понятия, ребенок представляет соответствующий конкретный предмет (например, при определении понятия средства транспорта ребенок представляет автомобиль), тогда понятие приобретает узкое, одностороннее значение одного конкретного предмета из объема этого понятия.

б) Когда предмет, представленный в качестве «примера» или в качестве репрезентации понятия, не относится к предъявленному понятию, не входить в его объем (например, при определении понятия средства транспорта ребенок представляет фабричную машину), тогда значение понятия совершенно искажается.

4. Непосредственно вслед за получением определения ребенок, хотя и не вполне отчетливо, но приблизительно правильно понимает содержание нового понятия—в виде его существенных признаков, определение которых вначале воспроизводится правильно. Но оказывается, что признаки



ՀԱՅԱՍՏԱՆԻ
ՀԱՆՐԱՊԵՏՈՒԹՅՈՒՆ

понятия *вне представления конкретного предмета*, сще не может выражать роль *репрезентанта понятия*: хотя стоящий на этой ступени развития ребенок может (с посторонней помощью) выделить соответствующий признак из конкретного предмета и овладеть им (этим признаком) в качестве *репрезентанта понятия*, но овладеть признаком без конкретного предмета, признаком, предъявленным лишь *верbalным путем дефиниции*, манипулировать этим признаком в мыслительных операциях и представить конкретный предмет, исходя из этого признака, ребенку уже не по силам. Признак, выделенный из предмета, более понятен и определен, чем признак, данный без предмета.

Действительно, значение нового понятия на этой ступени настолько неустойчиво, настолько лабильно и неопределенно, что в процессе мыслительных операций оно постоянно претерпевает существенные изменения— и каждый данный момент ребенок в одном и том же понятии подразумевает разное значение, так что после ряда манипуляций (к концу эксперимента) происходит уже полное смешение значений этого понятия. Иногда смутная вначале «идея» понятия, к концу эксперимента приобретает более наглядное, конкретное, но не адекватное значение. Во всяком случае значение нового понятия ребенком не сохраняется.

5. Вначале, непосредственно вслед за получением определения нового понятия, ребенок понимает его смысл (смысл существенных признаков) правильно и достаточно определенно, но дальше, во время манипулирования этими понятиями при выполнении интеллектуальных операций, ребенок затрудняется фиксировать это «отвлеченное» (тишееное представления конкретного предмета) значение, он *не овладевает «идейным объектом» понятия, приобретенным вне наядного, конкретного материала*, и, пытаясь конкретизировать полученное «значение», как бы иллюстрируя его, старается представить конкретный предмет.

После этого понятие уже *репрезентировано в сознании ребенка этим конкретным предметом*, т. е. представление конкретного предмета является *репрезентантом* категорий предметов, подразумеваемых в понятии. *Репрезентация же этого, приобретенного верbalным путем, понятия при помощи сю признаков пока ребенку недоступна*, тогда как на этой же ступени развития ребенок овладевает (с чужой помощью) «идейным объектом» понятия, которое выработано из конкретного, наглядного материала: он и *репрезентирует* это понятие при помощи его признаков, если эти признаки, повторяю, израбатываются на конкретном, наглядном материале.

Таким образом, на рассматриваемой ступени развития ребенок овладевает (с чужой помощью) «идейным объектом» только выработанным на конкретном наглядном материале («снизу вверх»), но не овладевает «идейным объектом», предъявленным верbalным путем, путем дефиниции.



6. На следующей ступени развития, которая достигается некоторыми из учащихся в IV кл. (11 л.), а всеобщее распространение находит в VII кл., ребенок овладевает «идейным объектом» понятия, его признаками уже и при вербальном представлении этого понятия путем дефиниции и до конца сохраняет правильное понимание значения этого понятия, он не оставляет точек зрения существенного признака и при представлении конкретных предметов. Ребенок свободно совершает всякие интеллектуальные операции с этими понятиями, которые он приобрел верbalным путем.

Эта ступень ранне достигается в отношении тех конкретных понятий, предмет которых легче представляется из признака понятия, и позже в отношении тех понятий, предмет которых труднее представить, исходя из признака понятия.

После достижения этой ступени, подросток скоро достигает в овладении понятием, предъявленным вербальным путем, того уровня, который характерен для понятия, вырабатываемого из конкретного материала («снизу вверх»), хотя несомненно, что высокому уровню овладения понятием, предъявленным вербальным путем, способствует специфичность наших экспериментальных понятий: конкретные предметы, носители значения новых понятий (автомобиль, арба и т. д.), хорошо знакомы ребенку из повседневной жизни.

Академия Наук Грузинской ССР

Сектор психологии

Тбилиси

0060606770 ՀԱՅԱՍՏԱՆԻ—ЦИТИРОВАННАЯ ЛИТЕРАТУРА

1. რ. ն ա թ ա մ բ. ց ե զ օ ն ս թ յ ո ւ թ ա յ ե լ ս ի լ ա յ ա շ ա տ ա յ ա լ ս . և ր ա լ ո ն ի ս ա հ ա յ ա լ ս . տ ն ո լ ո ւ ս ա հ ա յ ա լ ո ւ գ ր ո ւ թ ա յ ե լ ս ի լ ա յ ա շ ա տ ա յ ա լ ս . № 12, 1940.

ФИЛОЛОГИЯ

И. В. АБУЛАДЗЕ и Х. Г. ШАРАШИДЗЕ
К ВОПРОСУ ОБ ИМЕНИ И РОДИНЕ РУСТАВЕЛИ

(Преларитарное сообщение)

Памятники древней грузинской культуры дошли до нас далеко не во всей своей полноте и многообразии. Работа над первоисточниками древнегрузинской литературы выявляет все новые и новые материалы в этой области. Можно назвать хотя бы замечательное произведение грузинского писателя X века Георгия Меркурии «Житие Григория Хандзийского», извлеченное акад. Н. Я. Марром из патриаршей библиотеки в Иерусалиме [1]. Чрезвычайно важно для науки также и открытое академиком И. А. Джавахишвили сочинение т. и. второго историка царицы Тамары, дошедшее до нас в отрывках [2]. Об этом литературном и историческом документе имелось упоминание у известного грузинского деятеля XVIII века Антония I, который полагал, что «Житие царицы Тамары» принадлежит перу Шота Руставели [3].

Многие памятники грузинской письменности не дошли до нас потому, что они подвергались уничтожению, главным образом, во время пражских вторжений. Вследствие этого монгольский период (XIII—XV вв.) сохранил нам весьма мало памятников грузинской письменности. А то, что сохранилось, дошло большей частью в фрагментах. Между прочим, за этот период мы не имеем ни одного списка гениальной поэмы «Венкис-Ткаосани» (Витязь в тигровой шкуре), произведения XII в. Хорошо известно, что автор этой поэмы—Руставели, как это засвидетельствовано в прологе и эпилоге поэмы. Но как звали его? Откуда он был родом? К какой социальной среде принадлежал он? Ответов на эти вопросы не дают ни сама поэма, ни документы эпохи, близкой к Руставели. По этой причине некоторые из руставелистов дошли даже до утверждения, будто все, что наше известно о великом поэте, не уходит дальше традиционных взглядов, зафиксированных в XVII в. [4]. Но развернувшиеся в последние годы углубленные разыскания опровергают подобные утверждения. Открываются новые факты и документы, которые проливают свет на некоторые стороны руставелистики, в частности, намечают новые пути для разрешения вопросов биографического характера, происхождения и родины великого грузинского поэта.

Один из этих документов—«Ода Садгерскому Георгию», открыт нами в марте 1940 года. В палеографическом отделении Музея Грузии в Тбилиси хранится уникальная рукопись (Н 1572), переписанная в последней четверти XV века. В ней имеется поэтическое произведение духовного со-



держания: «Восхваление Георгия Победоносца», приложенное в записи («айдердзи») к «Житию» этого святого. Само «Житие»—переводного происхождения, возникшее гораздо раньше написания «Восхваления». «Ода» не дошла до нас полностью: в конце, повидимому, нехватает нескольких строф. Сохранилось всего $2\frac{1}{3}$ четверостишия. «Ода», как и все «Житие», писана почерком «пусхури». Дата возникновения означенной оды (конец XV в.) выясняется благодаря упоминанию в ней ряда исторических лиц. Место написания памятника—с. Садгери (близ Боржоми), входившее тогда в Южную Грузию, именовавшуюся Месхетией.

Ода в честь Садгерского Георгия писана шестнадцатистрочным стихом шапри и—размером руставелевской поэмы. Подражание автору «Венхис-Ткаосания» сказывается не только в складе стиха, но и во всем творчестве нашего автора. Походятя строфы, сходные с отдельными стихами Руставели. Известно, что руставелевский шапри в последующие века становятся господствующей формой грузинской светской поэзии. Но наш памятник любопытен и тем, что он является первым известным нам опытом внедрения этого размера в духовную поэзию.

Имя автора оды—Симеон, как об этом не раз заявляет он в своем произведении. Он—церковный служитель, «деканоз» Садгерской церкви. По словам автора, он много потрудился для церкви Садгерского Георгия Победоносца: вместе со своим братом он пристроил к церкви придел, реставрировал древнюю икону Георгия Победоносца и оковал серебром крест его же имени, причем над окладом этого креста мастера работали в продолжение трех лет. Олонисец получил материальную помощь от владельца Месхетии «патрона» Каракваре и другого крупного феодала, иконочного Спиридона (Сифрилена).

Симеон—не случайный служитель культа Садгерского Георгия. Неразлучное сопутствие кресту и мощам этого святого лежало, как заявляет Симеон, на обязанности его предков и составляло почетную должность целого рода. В «Оде» несколько раз подчеркивается: «мы именуемся деканозами» („ჩენებ მოთანა მის დარბა ვიტო დეკანოზი მობილი“), «на нас лежит долг службы Ваша» („ჩენებ გუარჩამთ მოთანა გუარჩივებია თქუები ხელი“), «мы охраняем врата церкви» („ჩენებ მოთანა გვიტებ, მი თქუებთა დართა მცველომ“) и т. п. Но автор выдвигает не только это потомственное служение кресту Георгия Победоносца, но и свою генеалогию: «по происхождению мы—Шотаславе» („ჩენებ ძირია მათა გვლებებებ, გუარჩამთი მოთანა მეფეომ“). Последнее обстоятельство подчеркивается автором с исключительной силой.—? Так, как среди крупной феодальной знати XIV—XV вв. фамилия Шотаславе нам неизвестна [5], невольно напрашивается мысль: чем же кичится наш поэт? Почему род Шотаславе внушиает ему фамильную гордость? На этот вопрос, по нашему мнению, дает ответ четверостишие, на котором



обрывается ода: „დანაბაშით გ ბერებივართ, ქვით ვართ მოუდისტებითი იუ [С самого начала сопутствуем тебе (Георгию Победоносцу), мы, слагающие восхваления]. Из этого можно заключить, что одописец XV в. свой род возводит к великому творцу бессмертной поэмы «Венхис-Ткаосани»: Шотасдзе—потомок Шота.

Потомки рода Шотасдзе (Шоталзе) известны и по сие время, но живут они не в Садгери (в Мескетии), а в Западной Грузии, именно в м. Чхари и его районе. Этот род по всем данным здесь является пришлым. После открытия нашего памятника естественно встает вопрос об отношении чхарских Шотасдзе к мескетским. Сопоставление фактов выясняет весьма тесную связь между ними. Связь эта устанавливается благодаря тому же кресту, в честь которого слагал стихи наш Симеон и над окладом которого работали три года. Крест этот до 1924 г. находился в м. Чхари, иные же хранится в Тбилиси, в Музее Искусств «Метехи»¹. Надпись креста повествует, что серебряный его оклад был сделан Симеоном и братом его Василием Шотасвили во времена владычества («патронства») аatabека Кваркваре и Спиридона. Нет сомнения, что одописец Симеон Шотасдзе—то же самое лицо, что и Симеон Шотасвили в надписи (окончания «-ձ» и «-շինլի» обычно чередуются в среднегрузинских фамилиях).

Самое раннее свидетельство о нахождении упомянутого креста в Чхари имеется в книге «О посольстве столичника Толочанова и дьяка Иевлева» (1650—1652 гг.). При описании чхарской церкви здесь говорится: «в церкви у царских дверей крест, архиана в два вышинно, обложен серебром, позолочен. А в том кресте моши в Ковчеге в золотом великомученика Георгия, кость главный череп...» [6]. Это описание относится к 1650—52 гг. и свидетельствует, что род Шотасдзе сидел в Чхари уже в первой половине XVII в. Он, повидимому, выселился сюда еще во второй половине XVI в., ибо известно, что в связи с вторжениями турок в пределы Южной Грузии, волна переселенцев хлынула из Мескетии в Западную Грузию именно во второй половине XVI века.

Шотасдзе (Шотасвили) жили в древности не только в одном пункте Мескетии, Садгери, но обитали и в центральных районах этой области. Об этом свидетельствует одна ларственная грамота (ок. 1575 г.), из которой видно, что Тамара Амилахвари жертвует Месхетской кафедрой в Аххури деревню Цилиси с ее жителями по фамилии «Шотасвили», со всем их имуществом, движимым и недвижимым [7]. Таким образом, этот месхетский род до 1575 г. находился еще в своем родном kraе, а после 1575 г. был выселен в Западную Грузию.

Известный ученый XVIII в. царевич Вахушти сообщает, что Чхарский крест (т. е. предмет, воспетый Симеоном Шотасдзе) «спачала

¹ На существование этого памятника указал изн. проф. III. Я. Амирзанашвили



находится в Коранта, затем в Самцхе (Месхетии), потом в Атоши, ~~Закавказье~~^{Закавказье} находится здесь (и Чхари)» [8]. Если это сообщение верно, то ~~здесь~~^{здесь} что крест этот не месхетского происхождения, а доставлен в Самцхе из Коранта, которая находится недалеко от нынешнего Люксембурга, севернее Болинси, на левом берегу р. Машавера. Следовательно, саадгеро-чхарский крест, эта родовая святыня Шотасадзе, раньше чем попасть в Месхетию, находилась в Коранте. Поэтому, становится понятным упоминание одописца о том, что род Шотасадзе постоянно «следовал» за крестом и охранял его. В надписи упоминается также о тех мытарствах, которые пришлось перенести этому роду, вследу следовавшему за своей святыней. Выясняется, таким образом, что предки одописца Симеона — выходцы из восточного района Грузии (Картлии) и, обосновавшись в соседней Месхетии, жили там до второй половины XVI в.

Итак, наша ода, вместе с другими упомянутыми историческими документами, дает основание для следующих выводов:

1. Одописец XV в. Симеон Шотасадзе (или, что то же, Шотасашвили), представитель одного из месхетских родов, не принадлежавших к высшей знати, считает себя потомком великого грузинского поэта XII—XIII вв. Тем самым,

2. Первое упоминание имени великого поэта — Шота — мы имеем уже в XV в.

Эти выводы выдвигают новые вопросы о личности творца «Вепхис-Ткаосани», а) был ли жеском также сам Шота Руставели? б) к какой социальной среде принадлежал поэт? и др. Пока нет достаточных данных для того, чтобы категорически утверждать что-либо в этом отношении. Но наш памятник, хронологически самый близкий к эпохе Руставели, во многом подтверждает сведения авторов XVII—XVIII вв. и поддерживает традиционный взгляд об имени и родине Руставели. Выясняется, что имя Шота не случайно связано с великим мастером грузинского художественного слова; также не случайно то, что традиция считает его жеском. Кроме того, новооткрытый литературный памятник намечает также те пути, по которым следует продолжать поиски материалов, касающихся личности великого поэта.

Это — одна сторона значения, нашего памятника. С другой стороны, он важен и тем, что происходит из той ярчайшей эпохи, от которой почти ничего не сохранилось в области литературного творчества. С этой точки зрения «Ода» месхетского поэта XV в., которую полностью приводим ниже, является живым свидетельством того, что тяжесть эпохи монгольского ига и неизгоды последующих веков не смогли целиком сломить творческую энергию грузинского народа. Есть полная надежда, что дальнейшие разыскания в этой области откроют новые памятники как духовной, так и светской литературы.

1. ვიწყოთ კრთხება,—წმიდან(ა)გორგელის მეობებანი,
 მოდევით ბრძენი, რიტორი[ი] (1), ფაცერენი, დაქერინენ ებანი,
 პირელად ღმერთი გაუსწონ (2), მაღლიოდან ზე გამცებანი,
 და შემო კოქერათ სასულიძა, წმიდან გორგელის ქვებანი.

2. ვაკოთ, ვალიდოთ მაღლი, ქალწულისაგან შობილი,
 ანგლოსხაგან კმობილი, წინეტულებაგან ჟებული.
 დაიდა ბრწყინვალე (3) ვიორე მის მიერ არს შემკობილი,
 და ჩენ შოთა ს ძრ ნი მის კარი ვართ დავიანობად კომილი.

3. კრელა მოცისმერდეთ ქებასა წმიდანისა გორგელისასა,
 ვინ ქმენა ურიცემ (4) კურნება ქალაქის დამკისასა.
 აწ, მორწმუნები, ვაკედეთ სახლსა სამებისასა,
 და შევამცოდეთ გორგელის უბრწყინვალესა (5) მშისას.

4. აწ, წმიდან მოწამეო, როგორს კორეცით იქცევთდი,
 ქრისტო მომინინ შენ დამუკენ (6) და ვარეკა შეძებობდი,
 შენ წარმარინი მოაკერძო, სამებასა ქებით ჰემინდი,
 და აქ მოსტენდა თხემი შენი და ტაძარისა მოაწერაბდი.

5. მე, ს დ მ ი ღ ი ნ დეკრიტისან ვიწყო შენი ბრწყინვალება (7),
 კოქტა, თუ მომცემს გორგებასა, ანუ შემწევს-რე ვამცება,
 გოვლითა თემთა ცის კოდეტის პეტაზის შენი მეობება,
 და ჩენ გ რ ა რ ჩ ა რ მ ი შ ი ნ თ ა ს ძ რ თ ა ს გ რ ე ბ ე ბ ა დ ა ვ ა რ ე ბ ე ნ დ ა .

6. აწ, წმიდან, ეს სადგრერი შენ ირჩიო წილად შენდა,
 თუთ ბრწყინვალე (8) გამამი შენი განალლა და აქ დაწერდა;
 შენ მოსტენდ ძლევა შენი, მის ეს თემი და-ცა-შეუნდა (9),
 და ჭაველა თემის უხაროდა, ვარე ამას მოასმენდა.

7. აქ აღმართ, მერიანალო, სადგურად ეს ტაძარია,
 ყოვლითა თემთა გამოტენა შენ სასწაულთა ზარია,
 ცის კოდეტისმენს (10) აქ მოვლენ, სადაც (11) არს კოცული სამშეღებარია,
 და თურქთა, სპარსთა და ორბათა გამართებ აქ ბაზარია.

8. კრა გამასა. მოწამეო, შენი იმი ყოვლებით ჭერა (12),
 ყოვლინით ისმის ქება შენი ცის რიცხვების სლესა (13) პირსა,
 აქეთ მოვლენ კოდეტისმენი, სენი მოსტო რაცა სეირისა,
 და მისირულად წავლენ შენი, შენ გამცერებ ჭაველასა ჭირსა.

9. ყოველი სჯელი (14) აქ მოვლენ სპარსთა და არაბებისა,
 ლუკამისატად მურობილი, შენისა კარხედა ვებისა.
 კოველთა მისრელის (15) წავლისა, შენიანე განკურინებისა,
 და მათ თემსა მოვლენ, სახელი შენი მენ იღოვებისა.

10. ჩენ რიტავ ძმითა (კვლხარენ) გ რ ა რ ჩ ა მ ი თ შ ი თ ა ს ძ კ [თ ა ღ].
 შენ განანალე ქეცუნა, ქეც (16) მინდორი და ზე მითა.
 კულევართა ება ტაძარისა (17) ამ შემთა კარის ბეჭთა,
 და თავიცა სული, მერწნალ დუდა-მამათა ჩენწოთა (18).

В рукописи: 1) რიტორი; 2) ვასტონი; 3) ბრწყინვალე; 4) ურიცემი; 5) უბრწყინვალესა;
 6) დამცენ; 7) ახრწყინვალება; 8) და-ცა-შეუნდა; 9) ცის კოდეტისმენი; 10) სადაც; 11) პირსა;
 12) სლესა; 13) სლეს; 14) მისრელისა; 15) ქუმ; 16) ტაზრისა; 17) ჩანთანი;



11. იმ წელ აგან, მოქსეა კედლი, გავათავეთ კარის ბპეთ,
შეცტეური¹¹ ძაღლი შეინი, შეცნე იყალ ჩერქეზი ბპეთი,
მცირე ძლიერი¹² შეცტეური, რომელი ხარ შალლის შეცნე,
და მოცტეაშირი, მოწყვლია, უფლერულის სიცოტერეთ.

12. უცცც კლდეა მე, სკორონი, და მოცცელი სამოსტეცელი¹³,
ძაღლი შეცტეური შეცტეისა, აფელისა გერი საქმე ძნელი,
ხალასითა გავაშემარტ, ახლად შეცცენ ხატი ძრელი¹⁴,
[და] ამილა ყაფელნით შეცტეური¹⁵, შაღალომცა მათთ მცცდი.

13. მე მოცცელი ჯტარი მცნელი, დაცარენე¹⁶ და-ცა-ცნერები,
მცირედ საღლონით შეცმოშტირტ, ამა ზედა რა წავად-
თ რამ აქა მოცცელი, საფულოს დაცაბრეგი¹⁷,
და წურუ სუღა მე ცაფელი მუნ ცეცხლითა არ დაცაგე!

14. მოცცელი და გა-ცა-ბრეშტიკინდა¹⁸ უძლეველი მცნელი ჯტარი,
რომელია მოცმეშეცემა და მცნელია წანისძლებრი.
საცხოვერმან ჯოფებებით წარმოსტყობისა, განვა წარი,
და ამით იქმნა, ბრცლილაზენ გამოიკინ¹⁹ მცნელმან ჯტარი.

15. ჯტარი, ქრისტიანი მაღალი, შეცნ, ყაფელთა მცემთა,
ყველისა²⁰ სლულეთა, ჩამეცელი სამირეშტელთა,
საპერელელი და მცარელი ყაფელთა შორიშტელთა,
და ჩემ შოთა ას და გვობენ, ამ თემენთა კართა მცველთა.

16. ყოვლად წილდათ მარიამ, ტარისა და ემსაცხოვო, -
თარტეცელია იქმნოთ, იქმნ ნალითა სასკო,
ზეცესა გუნდოთა მითავარა მცემით ბარ შენ მოდასეთ,
და აწ გაფლრებით, საკილი უშრეტი შენ დაცვესო.

17. მე, სკორონი დაცანისმან, აწ უფრონი სტრა გადადე,
ზრით მოცელია გავაშემარტ, წურუ სუღა არ დაცაბრეგი!
ჩემილა ყაფელნით შეცტეისა, საქონიელი მოებიანები,
და გონც მოხალეთ²¹ შეცმობით, აღამცენით²² ჩემინან ბაკე.

18. აწ წილდას ფორეგით მე მოცცდა დაცაბრეგ,
ყოფელნით წაველ, მოცაბოუე, თავი სემი გავაგზირტ,
რაცა აქონდა მოცცელი, არა თავი ლაგამტრ,
და შალასითა გადაშემარტ, არ სპილენზი გავატცვ.

19. მოცაცხენ²³ და პატრიომნი ჟერაცტერეცა დამრთო ნება,
მან შემოსტირა, მთარისეთა იქმნა მოცცდა და გაფლება.
[პატრიმ] მისკა მტერითა ზედა ძლევა, ღოდად გამარჯვება²⁴, -
და კოცელია გამითა შეცცენს მისკა მისკა მცობება.

20. მაშინ გადიდა და ახლა ჩაუდიო საუფლერულია,
მან შემოსტირა, მთარისეთა იქმნა და გურებელი ძლიერისა²⁵
მითა შეცმაროვ აღფალად, საქმე ვერ მეტად მცდინა,
და მაღალმან ღმერთომ დაცერეს ინიშვნით მარი ტენი.

В рукоописи: 11 შეცტეური; 12 ძლიერი; 13 სამოსტეცელი; 14 ძრელი; 15 შეცცენი; 16 დაცა-ცნერები; 17 გა-ცა-ბრეშტიკინდა; 18 გამოისმა; 19 გუნდოსა; 20 მოსკოდეთ; 21 აღამცენით; 22 აღამცენით; 23 მო-ფაცხენი; 24 გამარჯვება; 25 ძლებინა.



21. სიურიანონა შეტარა, ჩაღალამიტა მასდაც შეცვლად,
შემოსწირა უძლევარი აუწონდად და უკერდად.
შე, სებიონი, კვლევანი სამს წელია მცენს ბაზნ დაშეცვლად,
და განბრუნვად და გავათავა უძლევლი საძლეცვლად.

22. მოცელება წმიდა გიორგი, მაღალი, თავ-აზატია,
კუკულენით ანათობს მეტრიალდ, კითა ნოთლისა სტეტია,
საცულო ქისიტებს ღვითისან ჩრდისა მას ზედა ბატია;
და ხავება, მოა, ალფონს, კუკული ათორმეტინა.

23. შე, ს კ მ ი თ ნ დ ე კ ა ნ თ შ ა ნ, გავათავა დანაპირი,
და დამიტ გამონებირ, არა შეონდას ღამით მიღი,
ან ტარისა სამიაზურად არა მეტონდ გული ტერი],
და რასენს აღიასეს[და] იფ, [გამინა-თლად ნათლად ჩიდილი.

24. ქალწელი, შემხედ მოფიცა ღმერთი მაღალი ნებისა,
მისი მისამართ გვისერით მ მისითა განკაცებითა,
ხდულ ხარ ქრისტულებითა, ამისთქმ გაქმით ქმბისა,
და შეც შემწევალ ს კ მ ი თ ნ გიორგის შეოცებითა.

25. დასაბამითან გ გმელებიერი, ქებით ემით მოყამარენი,
ჩემ გაუმეტინან [კლატენი], კუკულ

Академия Наук Грузинской ССР
Институт языка им. акад. Н. Я. Марра

(Поступило в редакцию 10.9.1941)

ЗАДАЧИ ПО ГРАММАТИКЕ

1. და აბაზუაძე და ა. შერემელი

აუსირავილი სახილისა და საღარისეათის

რეზენტი

საქართველოს მუსეუმის პალეონოლოგიული განუ—ბის II ფონდის ხელნა-
წერებზე მუშაობისას 1940 წლის მარტში აღმოჩნდა ზემორე მოყვანილი დო-
კუმენტი, რომელიც რუსთაველის სახელისა და სიღაურობისათვის ჩვენი
შეხელულებით გარკვეულ ჩერენებს გვაწვდის.

ისტორიული ხასიათის სხვა დოკუმენტთან ერთად ჩვენი ძეგლი იძლევა
მტკაც საფუძველს დაესკენათ:

1. XV ს-ის მესხი მებორტე სიმეონ შოთასძე (ანუ შოთასშეილი), წარმო-
მადგენელი ერთ-ერთი მესხთა მესტრი საგვარეულოსი, რომელიც დადგეართ-
ანებს ან პეტონებია, თავის თავს XII—XIII ს. დიდი ქართველი პოეტის
ჩამომავლად აცხადებს. ამდროდ,

2. დადა ქართველი პოეტის სახელის (შოთას) უძველესი ხსენება დამო-
წმებული ჩანს XV ს-ის ლიტერატურულ დოკუმენტში.

В рукописи: ¹ განბრუნვად; ² მისითა; ³ დასამობითად; ⁴ გუცემებიან.



რამდენადაც რუსთაველის ხახულის მიმართ ჩენი ძეგლი მხარს უჭირავთ ტრადიციულ შეზღულებას, რომელსაც XVII—XVIII სა-ის აეტორებინ ვხვდებით, იძრინად შოთამიწოდების მესტობის გამო შესაძლოა ვივარიაციოთ. რომ სრულიად შემთხვევითი არ უნდა იყოს ის ტრადიცია, რომელიც რუსთაველს შესხად სთვლის.

ჩენის ძეგლს ქართული ლიტერატურის ისტორიისათვის, ვარდა იმისა, რომ პირველ ფრას წარმოადგენს ოსმალების შეირის დაწერებისას სასულიერო პორხვაში, ის მნიშვნელობაც აქვს, რომ ის მომდინარეობს ისეთი წესები შეკლიადით მოცული ხანდან, რომლიდანაც ჩენიმდის თითქმის არაეთიან ლიტერატურულ შემოქმედებას არ მოუღწევია. ეს კი ნათლიდ მოწმობს იმას, რომ ქართველი ხალხის შემოქმედებითი ენერგია არ ყოფილი დაშრეტილი არც მონვოლების საგრძისა და მათ მომდევნო ხანის გამთა სიაუკის დროს.

საქართველოს სრუსებრივი აკადემია
ავტ. ნ. მარია სამ. ენის ისტორიული

ЦИТИРОВАННАЯ ЛИТЕРАТУРА—ЦИТАЦИИ ИЗ АВТОРСКОГО СОСТАВА

- Георгий Мерчул Житие св. Григория Ханлавийского, груз. текст, введение, издание, перевод Н. Марра. СПБ, 1911.
- «З. ჯ. ვაბაზ უ და ა. აზავ აღმოქმედი ქართლის ცხოვრება» და თამარ მეფის მფრიდ, აქმევ უწმობი, სტორიოსის თბევება (ტფ. უნივერსიტეტის მთაბეჭ შ., 1923 წ., 186—216. 6. ავტოგრ. В. Дондук, Басили, историк нации Тамари, 33—76 (Памятники эпохи Руставели, Госуд. Эрмитаж, Ленинград, 1938 г.).
- Илья Абуладзе. К вопросу об историческом произведении Шота Руставели. «Сборник Руставели», изд. Груз. Филиала АН СССР, Тбилиси, 1938, стр. 161—169.
- К. С. Кекеладзе. Конспективный курс истории древне-грузинской литературы. Изд. Тбилис. Гос. Университета им. Сталина, Тбилиси, 1939, стр. 61. Сравн. также В. Гольцман. Шота Руставели и его поэма, Москва, 1940, стр. 46—56.
- Ш. ჯ. ვაბაზ ა. კვლევა-მიტმა ხანტევების ისტორიისა და თახების შესახებ: მე-XIV—XVI საუკუნეს მქონეთას თვალების სახის, გვ. 7—11, თბილისი, 1929.
- М. А. Полянектов. Посольство Толочанова в Имеретию 1650—1652 гг. Изд. Тбилисского Гос. Университета, Тбилиси, 1926, стр. 81.
- Ш. ჯ. ვაბაზ კ. სტორიოსის საბუთები, წერტ II, თბილისი, 1913, გვ. 47—48.
- Description géographique de la Géorgie, par le Tsarévitch Wakhoucht, publiée d'après l'original autographe, par M. Brossat, SPB, 1842, p. 362.



ზოთა მიმღები

ცხობა სინონიშვნი პარალიზმისა

რომ შევადაროთ ერთმანეთს ენები, თუნდაც კულტურული და თანაბარ-ლიტებულიანი, ცნებათა და სიტყვითა მარავის მიხედვით, მათ შორის განსხვავება აღმოჩნდება: ამ შესადარებელ ერთოვლითავინ შესაძლოა ერთს არ გააჩნდეს რომელიმ ჯ ცნების აღმოჩნდები სიტყვა, ხოლო მეორეს ეს მეორებს; მაგრამ მეორე მხრივ ამ მეორე ენას შესაძლოა რომელიმე უ ცნების სიტყვითი გამოსახულება მოვალეობიდას, და პირველის ენობრივი სინამდვილისათვის იგი უცხო იყოს. მაშინადამ, ამსოდეუტურად სრულყოფილი ენა, რომელსაც ყოველი ცნებისათვის ყოველი ცალკეული საკუთარი სიტყვა გააჩნდეს, არ არსებობს საერთოდ. აქ, რა თქმა უნდა, ზედმეტიცა იმის აღნიშვნა, რომ ამ მხრივ მეტ-ნაკელებობა პირდაპირის დამოუკიდებულებაში იწება ამ თუ იმ ენის კულტურულ პრესტიჟთან... ამიტომ, ბუნებრივა, არსებობს რაღაც შინაგანი უცილებლობა ურთიერთსესხებისა.

ყოველი ენა ს ა ჭიროებს უცხოური ლექსიკური შასალის გამოყენებას. ეს საჭიროება გამოწვეულია შემდეგი პირობების დასაქმაყოფილებლად: ა) შინაგანი ლექსიკური ხარევნის შესავასხვად. როგორც ითქვა, ყოველი ენის ხელია ეს უცმარობა, მაგრამ ამ შერიც ენათა შორის უდიდეს განსხვავებაა: კულტურულ ენობრივ სამყაროს ივი ნაელებად შევხება, უკულტური ენას— მაგსიმალურად. საამისო ფაქტების დიდი ნაწილი აბსტრაქტულ ცნებებზე მოდის, რითაც მდიდარია ციფრიზებული ენობრივი კოლექტივი, ხოლო ღარიბი— კულტურულად დაბალ საფუძულო მდგრამი ენა. იქნე უნდა აღინიშვნას, რომ განკუნებულ (და არა მარტო იდენტურ განკუნებულ) ცნებათა შეკრისათვის მიზნენლოვანი ფაქტორია ტერმინის გამოშესვება უცხოური ენის სემისიური გავლენით. ამის შედეგად ვდებული ტერმინს, რომელიც მასალობრივიად კი არა ნაესხები, არამედ ცნების ავების პრინციპთან უცხო. მეორე შერიც ბ) უცხოური ენობრივი კოლექტივიდან ცნების resp. სივნის შემოსელას მოპყება სახელწოდებაც, სიტყვიერი გაფორმებაც: rem verba sequuntur! (სიტყვები მიმკება საენებს!). ეს პროცესი მიმღინარეობს ერთი ხალხის მეორე ხალხს კულტურულ-ისტორიული ზემოქმედების ნიშნის ქვეშ. ე. წ. კულტურული სიტყვების სესხება ამის ნაყოფია უწინარებად.

სიტყვის სესხება არ განისაზღვრება მარტო იდენტურ საჭიროებით, ცნების სესხების შედეგად. შესაძლოა საგანი ან ცნება ნაცნობი იყოს, სათანადო

* წაკითხულა მოსახლეებად საქ. სრ მეცნიერებათა აკადემიის საზოგადოებრივ მეცნიერებათა განც. სამეცნიერო სკოლას 13.VI.41.

ენები, მათი განვითარების დონის გათვალისწინებით, არ წარმოადგინებოდა. დეპულების ტოლის ლიტებულებების თავისი ლინგვისტური შესაძლებლობით. დეპულების ხაზებისა შემდეგი დეპულების წიმოსაყენებლად გვჰქოლება: ენათა პოტენციური ლიტებულების სხვადასხვაობა საფუძველი სესხების ხარისხის სხვადასხვაობისა, სესხებისადმი სხვადასხვაგვარ დამოკიდებულებისა. მაგ., არაბული ლექსიკონის სიმღიდრე, მისი სინონიმიების აურაცხელობა შეიჩინა ნიადაგს ქვემის უცხოური ფორმების შეკრისათვის. ბერძნები და აღმართებული არიან აღმისაცლეთისაგან, მაგ. სემიტუბისაგან, კულტურის სფეროში, მაგრამ მათვან, ა. მიულერის გამოინგარიშებით, მხოლოდ ამა სიტყვა ისესხს. წამოკენებული დეპულების მეორე შეარეა: სესხების ხარისხი თავის მხრით გამოიცემულია მოცემული ენის შენავანი ღირებულებისა. აქედან დასკვნა: სესხები და ენის ბუნები კორელაციური ცნებებია.

ციელიშებული ენა თავის განვითარების სხვადასხვა საცემურზე სხვადასხვაგვარ აღმადობას იქნებს უცხოური სიტყვების მიმართ. სხვანაირად რომ ვთქვათ, სალიტერატურო ენა თავისი განვითარების შენიშვნები არ ვდებს გარეშე ლექსიტური სინამდვილიდან მომდინარე მასალის თანაბარ ამოვისებლობის უნარს. რამდენადაც უფრო ძლიერია და ტრადიციული სალიტერატურო ენა, იმდენად იგი მანიშნებელია საფრანგო ლექსიკონის მაღალი დონისა და ამდენადეთ მტკიცებარის შემნის უცხოური სიტყვათა ღინების საწინააღმდეგოდ. სალიტერატურო ენის გაძლიერება ხელსაყრელ პირობებს იმუშავებს უცხოური ფორმების დამრგვის მიმართ გარეუცდი ფსიქოლოგიური წინააღმდეგობის გამოსამუშავებლად. შაშისადამე, მიმწოდებული სალიტერატურო ენი ენერგიული იცავს თავის პრესტიჟს და ადგილად არ ჩატებს კარებს უცხოურ სიტყვებს შემობლიურ ლექსიტური, ხოლო აღლადუებადგმული ან ჯერ კიდევ წელაგუმართავი სალიტერატურო ენა ხარისხ შთანთქმეს სხვა ენობრივი სამართლის ლექსიტურ საქონიერებებს; ჩიმოყალიბებული და შედარებით სარულოფილი ლიტერატურული ენა ამას ერჩევის სათანადო საწინააღმდეგო საშეაღებების გამომშემაცებით, მაქსიმალურად ივიწროებს რეალს ნასესხები სიტყვებისა. გამოსახულება: ჭარბი სესხებისაფში ფართოფით დამიკურებულების ერთ გროვის მიხედავ ხომ არ უნდა მიენინომ მიყენებული ენის სესხების თვალსაზრისით სტრუქტურული თავისებულება და შეტყველების ფსიქოლოგიური თვალსაზრისი ნიშან და და ა, საქონიერ სიტყვები ამ ენის სელის —იმ ერთხოვი იურიდიკური შემთხვევებით, საფარაც შესაძლოა შემოტკიცებულ ლექსიტური ფორმება. ამ კუთხით უნდა იქნეს შესაცმელადანმდე, რაგ, არაბერის ამ ბერძნების შეტკიცებით ნაკლებად უცხოური დაქვემდებრი შეადარს. ცალკე, აქ ანგარიშებაუცემა სესხების თვალსაზრისით არ და ა, გრძელება, და ეს იმას არ მიშავს, რომ აქ ამისადალია ტრადიციული თვალსაზრისი სესხებისა ენებისა საკრითოფ; წამოყალიბებული თვისის გარეუცდის უცხოური გმიბრივი კლიტენტების ათვისების შეზრი სესხებისგანმას ენბისა, რის მასხუც ამიმასულია განთა თავისებულებაში, მოტევდება მთა სისტემაზებით დაფუძნებულიერის. ხომ არ არსებობს სესხების თვალსაზრისით ნაკლებამინისა და მატაზომინის უნდა ამ თვალსაზრისის წამოვნება შეიძლება ა ცისტ და საკონიაროსი კუნძულისა დალურული ქვების საუდებლად.

გილერ მომდევნო კიონგას გადადავთ, უნდა გერმანულ დათვალისწინებული ერთი ძირითადი მინიჭებულის გარემონტიდან, უნდა გერმანულ დათვალისწინებული ერთი ძირითადი მინიჭებულის



უნაბეჭდ შხარულინი დიდებით, და დაკარგა-მძრავდად" [4, 796]; [არაბ.] თათ ბირი და გამორჩეოთ [4, 544]; ბრძოლა და ომი [4] (ისამ ვერ განამიტოდა ბრძოლა და ომი სხვასწავი ძალებით მისცამ გამორთ ფას) [5]; არ მი ი და ბრძოლა არ ი („ომი და ბრძოლა და ფას გამომყვავლინ") [6]; ქვენება და მისურარალ [არაბ.]; [არაბ.] („ორ ჩემი ქვენება და მისურარა არ მისამისი...") [6, გვ. 252]; [სს.]. ნიშანი და მისურარა და სისახლისა უკრძალა უდიდესობისთვის" [6, გვ. 241]; სისახლისა და ნიშანი [სს.]; („სისახლისა და ნიშანი სისახლისა უკრძალა და ნიშანი ჩემი რეზისი" [6, გვ. 191]; „სისახლისა და ნიშანი მისამის აპხარ იქმნა") [6, გვ. 302]; [სს.]; შენარი და ფიცა („...სკონარისა და ფიცისა გამოკისა") [6, გვ. 244]; ჭირი და ხელა-არი [სს.]; („ფიცა და ზენარი გამოკისა") [6, გვ. 233]; სიკვერცე და ჭაბურება [სს.]; („ვარ ჩემი სიკვერცე და ჭაბურება") [6, გვ. 240]; ყრმა და ჭაბურება [სს.]; („და მინტა ჭაბურებისა ამისებე მასტისა მიგვანად ღისისა და ჭაბურება კურიტმის თუნ ყოველი..." თარგმ. 6. მარით: ჩ თმ, რა ნა ა ითხოვ, თავსი რა ითხოვ ჩ თმი ა დასთხომი ითხოვ ეფრემი [1, გვ. 23]; დრო და უკამი [სს.-სომ.]; დრო და მარით [სს.]; ბერი და იღა ი იღა ა დრო [არაბ.]; [სს.-სომ.]; ერი და დრო („და, მეტა საუცარისა აღარ მოკვემდე გამო და დრო") [4, 859].

B. უკავშირი ციცონიერი პარალელიზმი

a) ტერიტორიალური ციცონიერი პარალელიზმი

— სა ხ ლ ი, შენ ი ირაბ. („ვითა ვეფხსა წაგარნა და ქებით აქესო სახლდო, მერად") [4, 700]; რეგა, ჯ თვ ი [სს.]; („ამილაბარი, მიასინ ოქმა, ჯოვი და ცეკვია") [4, 54]; [სს.] ვა ხი, ერ წაგადა („რ აქ მათ თანა ლაში: და ვანი ვერ და ვარ და ირბი იგა") [7]; [სს.] ერ ნა არ ი, ფაცი („შენ არ გარება კარგი გერის შენარისა ფიცისა") [4, 706].

b) კავკასიონური ციცონიერი პარალელიზმი

დრო-გა-დი ([სს.-სომ.]; ხევურნა-მუდარა [არაბ.]; ა ლა-ლ-მართა ლი [სს.]; ტა-ნჯ-ვა-შა-შები; ხე-ა-ბა-ას-ი [არაბ.]; ი-კა-ა-რა-კი [სომ.]; [სს.]; სრ-ა-ხა-ხა-ხ ლ ი; ბ ჟ-დ-ლ ბ ა-ლ ი [არაბ.]; ა შ ბ ა-ე-გ-ა-ბ ა-რ ი [არაბ.]; ს რ ი შ ა-ე-გ-ა-ბ ა-რ ი [არაბ.])

ამავე რაიგონისა დიალექტურაზე გამოკლებული ნიტკა-და-ფი, გვით ნ დ ი-ლ უ რ ს შ ა-ნ დ ა ფის მისამარი, ოლომდე აქ ისა ალარიშენე, რომ დამატებითი მოქმედრა ასახული: ნიტკა-და-ფი ფაბრიკული წარმოშობის ძალია (კურატული წარმოშობის საპარისისით), გვით ნ დ ი-ლ უ რ ს შ ა ტ ა-ე-კ-ე-რენტული წარმოშობის ლექსისამარ.

კულტურული შემომოყვანილ პარალელურ შექმნივში ერთი სიტყვა უცხოურია, მეორე ქართულია. მაგრამ სინონიმური პარალელურიშის ცნება გულისხმობს ისეთ რიგბასაც, რომელთა შემაცევენლი შევერება ა) მხოლოდ უცხოურია, ან ბ) მხოლოდ საკუთარი სალექტიკონო ფონიდის კუთხითილებაა. კოტევი ისტის: რა გამართლება, იქნეს ერთი სიტყვის ახსნას მეორეთი, როცა ორთავე სიტყვა საკუთარია, ხოლო მეორე მხრივ ასე ნიშნავს უცხოურ სიტყვის პარალელიზმი? როცა ორთავე სიტყვა უცხოურია (სინონიმურ წაკილში), ეს იმის ნიშნავს, რომ ერთ-ერთი აღრენა შეთვისებული და, მისმაღამე, იგი გამოიდის განმშორებლის როლში. ეს გარემოება უცხოურ სიტყვათა შემოსელის დახმარებითი დათარიღებისათვის მინიჭებულობანია. მაგ., ა ლ ა მ ი დ ა დ რ ი შ ი („შენი ალ-მი და დროშა ცად ა იწია") [6, გვ. 270]; დ ე რ ლ დ ი დ ა მ ე რ ა ყ ი (დიალექტურაზე) [და] და მრ. სხ. ხოლო როცა ორთავე სიტყვა საკუთარია, აქ უნდა გვითოვალისწინოთ შემიღევე გარემოება: სინონიმთა წარმოშვნის ერთ-ერთი შემთხვევა სხვადასხეა დიალექტური შრის შასალის თავმოყრა ერთ ენობრივ



სინონიმური პარალელურიშის მთელური გამაცემისას გაერთიანდება იქნება სინონიმური, როგორც მცირებული ნარჩენის წარმომადგენერი, ამ მოვალე შემცირებულის სინონიმური ენის მონაცემები: ხაშუალ-ინგლისის ტექსტებში ნორმან ულ-ფრან ჩრდ სიტუაცის პრიორად გვიჩვინება და კონკრეტი მოსდევს [10]. ესაფრთხო, აქ ძალაშის სინონიმიტრი პარალელურიშის პრიორება.

სინონიმური წყველში გამამარტივი სიტუაცის დაფარი გამასხლებული არ არის: წყველები ერთობაზევე უცხოური სიტუაცია სან გამამარტივების წინაა, სან შემცირებული იბი და მომდევ ა-და ი მომდევ ა-და ი და მუტრი იბი და ი და შემცარი ი და შემცარი და ი და ი და ი და ...

დასასრულ, აღვინეთ, რომ პარტიკული ას ლექსიულობის ლიტერატურული სიტუაციაში სიტუაცია პარალელური რიცხვი გაეცემა, როგორც სტალინის უკიდურესი ხერხი, ერთგარი პოტენტური უკიდურეს. ას გამოცემა გამოიტანება აქეს ვარკულური შემთხვევებისთვის, მაგრამ ჩვენ მიზერ აღნიშვნელ მოვლენას უს ტრანსფორმაციას ვეზ ხსნის გრის განვითარების რაც უცხო ტერმ საფუძველის ფოთვალისწინებით, იმდრენა სინონიმიტრი წყველებს „რაც იმანალური ასწერი“ აქეთ: უცხომის სიტუაციის ნაცემობად ქვეყნის საშუალებაა,—მოლო საცა თანამდებრეულ ენაში, ახრის გაძლიერების მანივა, სტილისტური სხვაობის ჩატარებული სინონიმების პარალელური გამოყენება, ერთა ს ტ ი დ ი ს ს ა კ ი რ თ ე ბ ი თ გამოწვევები ტაცერიალიზაცია და მეორე—უ ნ თ ბ რ ი ე ი ა უ ც ი ლ ე ბ ლ თ ბ ი თ გამამარტივებული სინონიმიტრი წყველება.

საკითხის ისკონინალური აღმანიშვნელა 6. პარის რეგია ამ ნიმუშთაულებით, ეფუძნება სინონიმური რაც იმანალური მაცევითი ჩემინის, მცენარეული კურთხულებას ამავეალებს ქრისტიანული ლექსიური მასალის პარალელურება, მაგრამ ამ მთელენას იფ ე ვო სიბრტყეს ათავსებს სტილისტური ხსნითის გამოტევნებითან; პარალელიში არა აქეთ გაეცემა, როგორც უცხომის ფოთვის დამტკიცის ხერხი, ეს არის,—ამის მარი, —შეცნობებული ტაცერიალიზაცია ანუ შეცნობელი რიტორიკული ფოფურა [11].

საქართველოს სსრ მეცნიერებათა აკადემიია

ნ. მარიას სახ. ენის იმპტატერი
თბილისი

(შემოვიდა რედაქციაში 19.8.1941)

ЯЗЫКОВЕДЕНИЕ

ШОТА ДЗИДЗИГУРИ

ПОНЯТИЕ О СИНОНИМИЧЕСКОМ ПАРАЛЛЕЛИЗМЕ

Резюме

1. Одним из частных случаев заимствования слов является распространение иноязычного лексического элемента в то время, как эквивалент соответствующего понятия в языке имеется. В таком случае один из способов внедрения иностранного слова определяется естественно выработанной в языке внутреннею необходимостью—употреблять параллельно эти синонимы, покамест слово не укорениится на новой языковой почве. Это явление условию можно назвать «синонимическим параллелизмом».

2. В языке встречаются и такие синонимические пары, которые состоят из слов, принадлежащих к собственному лексическому фонду. Прин-



ции синонимического параллелизма и здесь остается в силе. Основным методом при существенных случаях созидания синонимов надо считать встречу разных диалектальных лексических типов на одной площади, а в таком случае одно слово объясняет другое, являющееся чуждым и непонятным для данного языкового участка. Есть случаи, когда параллельно употребляющиеся слова содержат архаическое слово, требующее объяснения.

Синонимический параллелизм являлся необходимым методом при создании специальной терминологии на разных этапах развития литературного языка. Автор иллюстрирует положение на материалах создателя древнегрузинской философской терминологии Иоанна Петриши.

3. В грузинском языке имеется двоякое сочетание синонимического параллелизма: 1) союзный синонимический параллелизм и 2) бессоюзный синонимический параллелизм, который в свою очередь имеет две подгруппы: а) тавтологический синонимический параллелизм, б) композитивный синонимический параллелизм.

4. Естественно ставится вопрос: не нужно ли искать в древнейших наслойениях языка корни, которые на данной стадии развития языка воспринимаются как монолитные единицы, но исторически являются результатом слияния синонимов по принципу понятия синонимического параллелизма?

5. В поэтической и лексикологической литературе параллельные ряды объясняются как стилистический прием, своего рода риторическая фигура. Для определенных случаев такое понимание не исключено, но в основном эта традиционная точка зрения не в силах раскрыть сущность данного явления.

Академия Наук Грузинской ССР
Институт языка имени акад. Н. Я. Марра
Тбилиси

ОБОЗРЕШЕНО 2000-05-05—ЦИТИРОВАННАЯ ЛИТЕРАТУРА

1. Г. Меркул. Жит. Гр. Ханнатийского. Изд. Н. Марра: ТР, VI, 1911.
2. ითა ბ ჟ ტ რ ი უ ხ მ შ ი ე ბ რ ი . I. გ ა მ. ს ი მ. გ უ შ ი ნ ე ლ ი ძ ს , შ ე ს ა ლ ი ს ტ ი კ ი — ბ ე ს ი გ ა ვ ე ბ ე ბ ი ძ ი ს . 1940, გ 3. 75.
3. ითა ბ ჟ ტ რ ი უ ხ მ შ ი ე ბ რ ი . II. გ ა მ. შ ე ს ა ლ ი ძ ი ს ფ ა ს . გ უ შ ი ნ ე ლ ი ძ ი ს , 1937, გ 3. 97.
4. შ ე ს ა მ ა ვ დ ლ ი ვ ე ბ ი ვ ე ბ ი ს ტ ი ს ა ბ ი . ს ა მ. უ ნ ი ფ . ვ ა მ თ ა . 1937, 1077.
5. ა დ გ უ ლ ტ ე ბ ი : Н. М а р р , Древнегрузинские одонимы (ХII в.). ТР, IV, 1902.
6. ვ ა ხ ე ბ ა ვ ა ბ ი . ვ ა მ. ა დ გ უ ლ ტ ე ბ ი , პ. ი ნ ი მ ბ ი ტ ე ბ ი ვ ა დ გ უ ლ ტ ე ბ ი . 1938, გ 3. 239.
7. Ипполит. Толкование Песни песней... Изд. Н. Марра: ТР, III, 1901, II, 8.
8. Н. Марр. Агиографические материалы... II, ЗВО, XIII, вып. II—III, 1901, გ 3. 71.
9. ს ა ვ ა ხ ე ბ ა ვ ა ბ ი . გ ა ვ ა რ ტ ი ჭ ი ლ ი ჭ ი მ ტ . თ ა რ გ ა მ ბ ი . რ ტ . უ ნ ი ფ . მ ა მ ბ ი . VI, გ 3. 32.
10. М. А. Соловьева. Английская лексикология, 1934, გ 3. 145.
11. Н. Марр. Витязь в бархатной шкуре Шоты из Рустави, 1917, გ 3. 485.



3064700000—ПЕТРОГРАФИЯ—PETROGRAPHIE

Н. Ф. Татриашвили. Неогигантская Верхняя Раги	646
*Б. Г. Ашоташвили. Тектоника и геология Кахетии	640
Г. М. Заридзе. Кислые юрские породы района селений Рикметури и Нишланаки (верхнее течение реки Цхенис-цкала) в Нижней Сванетии	641
*В. Чачадзе. Тектоника и геология Кахетии	642
М. Г. Гомиашвили. Геология Кахетии	648

30733000—БОТАНИКА—BOTANIK

Д. И. Сосновский. Некоторые новинки кавказской флоры	649
*Ф. სოსებიაშვილი. ზოგ ანალიტურ ჩანა კაცების ფრთხოები	656

30747000—ЗООЛОГИЯ—ZOOLOGIE

Д. М. Кобахидзе. Основные типы биоценозов центральной части Кавказской платформы	657
*Ф. კობაძე. კოლმინიური ცენტრალური ფაბრიკის ბიოცენოსების ძირისაფი ტიპები	660

30801000—ФИЗИОЛОГИЯ—PHYSIOLOGIE

И. Бериташвили (Беритов). Об автоматической ритмической деятельности центральной нервной системы	663
*Р. ბერიძე. ცენტრალური ნერვული სისტემის აღმოჩეული ჩათმული მოქ. მუდგინ შესახებ	671

30804000—ПСИХОЛОГИЯ—PHSICHOLOGIE

რ. ბათაშვილი. განვითარების ცენტრ და განვითარების განვითარება ანტოგონიზმი	673
*Р. Г. Натализе. К развитию вербального пути овладения понятиями	677

30810000—ФИЛОЛОГИЯ—PHILOLOGIE

И. В. Абузакадзе и Х. Г. Шарашиладзе. К вопросу об имени и родимце Ру- ставели	681
*ილია აბაშიძე და ქრ. შარაშიძე. მესოთევრული სახელის და საფარისო ნათებობები	687

06300036004080—ЯЗЫКОВЕДЕНИЕ—SPRACHWISSENSCHAFT

შ. თავაძე. ენობრ ენი. ცენტრალური სინონიმური პარალელიზმი	689
*Шота Дзиндзяцуря. Понятие о синонимическом параллелизме	693

8/12/18

7 Н.Б.
КЕЦКОВЕЛИ 5
ГОС. ПУБЛИЧН. БИБ., КС
5 6 12 .

ЦАБ 3 806.
ЦЕНА 3 РУБ.



დარჩენილი სატელიკო მინიჭებულის
საქ. სარ. შეც. ავთ. პრეზიდიუმის მიერ
8.4.1941

თემულია „სამართვლის სას გაცემისათვა აკადემის მოახდის“ უცხავის

1. „მოამბერში“ ინტერესის საქართველოს სარ მეცნიერებათა აკადემიის მეცნიერ მიწამუ-
ბისა და მხედ მეცნიერის მოყვავე წერილები, რომელიც შეიცავს მათი გამოკლეულის მოვარ
შეცვლას.

2. „მოამბერ“ ხელმძღვანელობს სარედაქციო კოლექტი, რომელსაც ინტერეს საქართველოს
სარ მეცნიერებათა აკადემიის საერთო კრება.

3. „მოამბერ“ გამოისახ ყოველთვიურად (ავის ბოლოს), გარდა იჯილის-ავაგისტრის ფიქს—
ცალკე ნაცენტობად დაგამლითებით 5 ბეჭდური თაბაზის მოცულობით ივითველი. ერთი წლის
გვითა ნაცენტი (შედ 10 ნაცენტი) შეიცვლება ქრისტი.

4. წერილები იძებელება ერთობის შემცვევ ენაზ: ქართველად, რუსულად, გერმანულად,
ფრანგულად, ინგლისულად. ფრენა წერილებს, გარდა წერილებისა ქართველ ენაზ. იურიდიკ-
ურთა დატოსის არაზე ქართველ ენაზ. ქართველ წერილებს უცილესულად უწდა დატოსის
რეზერვ რესტრ ენაზ. წერილებს შეიძლება დატოსის აგრძელე რეზერვ რომელიც ზემოთ-
დასახლებულ ქანქ, ატრიბუტის სტრიქის შემცველი.

5. წერილების მოცულობა, რეზერვი და იურისტულაციების ჩათვლით, არ უწდა აღმატე-
ბოდეს ნაცენტის საავტორო თაბაზი (20 ათასი ბეჭდური წარსინი). ძირითადი ტექსტისა და
რეზერვის მოცულობის შემატებას განსაზღვრის ივითა ავტორის კრძალა, რეზერვ შეიძლება
შეცვლილი იყოს მოვარი თარგმანი, თუ კი წერილის და თარგმანის საერთო ზომა არ
აღმატება ზემოთაღმაშელ მოწმის.

6. „მოამბერ“ დასაბეჭდი წერილების უწდა გადატეცე რეფაქტორის ის აეტორებისათვის,
რომელიც სამეცნიერო აკადემიის ნამდებლი წევების არიან, რედაქტორი გამაზრებას
შეობით დაბეჭდების მორიგეობას. დანარჩენი აეტორების წერილები კი, როგორც წერი,
გადატეცე რედაქტორის მიერ სარეცეპტოდ აკადემიის რომელიმე ნამდებლი წერის ან სათ-
ნადო დარგას რომელიმ სხვა სტრუქტურის, რომ შემცველ დაბეჭდების სკონს გადამზეცმის
რეგულირება.

7. წერილები თავისი რეზერვითა და იურისტულაციებით წარმოდგენილი უწდა იქნება
აღმატების შეზ. საექსპონო გამოსახული დასაბეჭდად. ფარმაცეტის მეცნიერი ან
იურისტი საწერილი ხდით. წერილის დასაბეჭდი მიღებას შემცველ ტექსტში არავითარი
შესწორებისა და ფამატების შეტანის არ დაიშვება.

8. ცატრატეგიული ლიტერატურის შესახებ მორაცემები უწდა იყოს შეძლებისაგარეთ
სრული: საკიროა აღმატებო კრიტიკული სახელწიფოება, ნომერი სერიის, ტარისა, ნაცენტის,
გამაცემის წელი, წერილის სრულ სათარგო; თუ ცატრატეგიულია წერი, საელექტრულა
ცენტრა წერის სრული სახელწიფოებისა, გამოსახულის წელისა და ავგილის.

9. ცენტრატეგიული ცატრატეგიული დასაბეჭდება ერთის წერილს ბოლოში სის საბოლოო
ლიტერატურას მითითებისა ტექსტში ან შეიცნების ნამცენები უწდა იქნება მოწმის სის
შეცვლილი, ჩამოტკილი კოდექტურული ფორმის.

10. წერილის ტექსტში და რეზერვის შეღაბულობა ავტორის უწდა აღნიშვნის სათანადო
ერებს დასაბეჭდება და აფიციულიზაციის დაწესებულებისა, რომელშიც შესრულებულა
ნაშრომი. წერილი თარგმანება რედაქტორის შემოსილის დღით.

11. აეტორის ვალეთა ერთი კორეტურა ვალეთებად შეერტო მეცნიერ გამაზრებული
ვადით (შეცვლებრივად, არა უცვეტეს ტრი დღისა). დაბეჭდი ვადისათვის კრიტიკულის წარმო-
დგენტობის შემთხვევაში რედაქტორს უფლება ატა წერილი დაბეჭდის აეტორის კის გარეშე.

12. აეტორის უფლება ერთი მისი წერილის 50 ამონაბეჭდი და ერთი ცატრა მიაშ-
ძის. ნაცენტისა, რომელშიც მისი წერილია მოთავსებული.